



อินเวอร์เตอร์ 1 เฟส

Single Phase Inverter

นายธนพล	สันธิวัฒนาตระกูล	รหัส 46363222
นายภาณุพันธุ์	อินกะสุรัส	รหัส 46363370
นายมนู	เกตุกรุฑ	รหัส 46363396

ห้องสมุดคณะวิศวกรรมศาสตร์
วันที่รับ..... 25 พ.ค. 2553
เลขทะเบียน..... 15010226
เลขเรียกหนังสือ..... ๑๑๖๒๐
มหาวิทยาลัยนเรศวร

ปริญญาในพันธ์นี้เป็นส่วนหนึ่งของการศึกษาหลักสูตรปริญญาวิศวกรรมศาสตรบัณฑิต
สาขาวิชาช่างไฟฟ้า ภาควิชาช่างไฟฟ้าและคอมพิวเตอร์
คณะวิศวกรรมศาสตร์ มหาวิทยาลัยนเรศวร
ปีการศึกษา 2549



ใบรับรองโครงการวิศวกรรม

หัวข้อโครงการ	อินเวอร์เตอร์ 1 เฟส	
ผู้ดำเนินโครงการ	นายธนพล สนธิวัฒน์ตระกูล	รหัส 46363222
	นายภาณุพันธุ์ อินทะสุราร	รหัส 46363370
	นายมนู แก้วครุฑ	รหัส 46363396
อาจารย์ที่ปรึกษา	อาจารย์สมยศ เกียรติวนิชวิไล	
สาขาวิชา	วิศวกรรมไฟฟ้า	
ภาควิชา	วิศวกรรมไฟฟ้าและคอมพิวเตอร์	
ปีการศึกษา	2549	

คณะกรรมการค่าสตางค์ มหาวิทยาลัยเรศวร อนุมัติให้โครงการฉบับนี้เป็นส่วนหนึ่งของการศึกษา
ตามหลักสูตรวิศวกรรมค่าสตางค์บัณฑิต สาขาวิชาวิศวกรรมไฟฟ้า

คณะกรรมการสอบโครงการวิศวกรรม

ประธานกรรมการ
(อาจารย์สมยศ เกียรติวนิชวิไล)

กรรมการ
(อาจารย์สมพร เรืองสินชัยวนิช)

กรรมการ
(อาจารย์ชัยรัตน์ พินทอง)

หัวข้อโครงการ	อินเวอร์เตอร์ 1 เฟส		
ผู้ดำเนินโครงการ	นายธนพลด นายภาณุพันธุ์ นายมูรุ	สนธิวัฒน์ตระกูล อินทะสุรະ เกคุกรุฑ	รหัส 46363222 รหัส 46363370 รหัส 46363396
อาจารย์ที่ปรึกษา	ดร.สมยศ วิศวกรรมไฟฟ้า		
สาขาวิชา	วิศวกรรมไฟฟ้าและคอมพิวเตอร์		
ภาควิชา			
ปีการศึกษา	2549		

บทคัดย่อ

โครงการนี้เป็นการนำเสนอการวิเคราะห์การทำงานและการออกแบบวงจรสำหรับการใช้งานอินเวอร์เตอร์ 1 เฟส ซึ่งสามารถควบคุมโดยใช้เทคนิคการสวิตช์แบบไชน์นูชอยดอลพัลส์วิช มองคูเลชัน โดยเทคนิคการสวิตช์รูปแบบนี้ทำได้โดยการนำรูปคลื่นสัญญาณควบคุมรูปไชน์มาเปรียบเทียบกับสัญญาณแครเรียร์ (รูปคลื่นสามเหลี่ยม) สัญญาณจากการควบคุมจะต้องผ่านวงจรเดดไทม์เพื่อป้องกันความผิดพลาดที่อาจเกิดขึ้นในกรณีที่สวิตช์ในกί่งเดียวกันทำงานพร้อมกัน สัญญาณควบคุมจะถูกส่งไปยังวงจรขับเกตและเข้าสู่อุปกรณ์สวิตช์ของอินเวอร์เตอร์ ผลจากการจำลองการทำงานและการทดลองจริงของอินเวอร์เตอร์จะถูกแสดงในรูปของดัชนีคุณภาพตัวอย่างเช่น ไฟหลอดสาร์มอนิกสิสทอชั่น รูปคลื่นสัญญาณและการวิเคราะห์ชาร์มอนิกสเปคตราของแรงดันไฟฟ้าและกระแสไฟฟ้า เป็นต้น

ผลจากการเปรียบเทียบการจำลองการทำงานกับการทดลองจริงแสดงให้เห็นถึงความสอดคล้องกันและตรงตามทฤษฎี จากผลการจำลองการทำงานและการทดลองจริง พบร่วมจาก การเปลี่ยนแปลงรูปแบบการสวิตช์โดยการเปลี่ยนค่ามอคูเลชันอินเดคซ์สามารถแนะนำในการเลือกใช้รูปแบบที่เหมาะสมสำหรับการออกแบบวงจรอินเวอร์เตอร์ 1 เฟส

Project Title	Single Phase Inverter	
Name	Mr. Thanapon Sonthiwattrakul	ID. 46363222
	Mr. Panupun Inthasura	ID. 46363370
	Mr. Manu Ketkrut	ID. 46363396

Project Advisor	Dr. Somyot Kaitwanidvilai
Major	Electrical Engineering.
Department	Electrical and Computer Engineering.
Academic Year	2006

ABSTRACT

This project presents the analysis and design for single phase inverter controlled by pulse width modulation (PWM). This switching technique uses comparison between the sine wave and triangle wave. The signal from the control circuit is transmitted to the dead time circuit, to ensure that both switches which are in the same branch, do not operate in the same time. The control signal is sent into driver circuit and then pass to switching device of inverter. The results of simulation and experiment of single phase inverter are shown in the form of quality index such as total harmonic distortion, current and voltage wave form and spectra.

The comparison between the simulation and experimental results are shown in good agreement with theory support. As the simulated and experimented results, the advantage and disadvantage of various switching patterns in various modulation index ranges are shown and guided. In addition, the selection of optimized patterns for higher performance single phase inverter design

กิตติกรรมประกาศ

โครงการนี้สำเร็จลุล่วงได้ด้วยดี ด้วยการให้คำแนะนำและคำปรึกษาเกี่ยวกับหลักการทำงาน และการออกแบบของอินโนเวอร์เตอร์ ตลอดจนการวิเคราะห์ผลการทำงาน และการแก้ไขปัญหาต่างๆที่เกิดขึ้นจากท่านอาจารย์สมยศ เกียรติวนิชวิไล ซึ่งเป็นอาจารย์ที่ปรึกษาโครงการนี้ ขอกราบขอบพระคุณบิความะมารดาที่เคยให้กำลังใจในการทำงาน และเป็นแรงบันดาลใจให้เข้าพเจ้าได้ก้าวผ่านปัญหาต่างๆมาจนถึงจุดนี้

ขอขอบคุณครูช่างและบุคลากรทุกท่านในภาควิชาที่เคยดูแลให้โครงการเสร็จลุล่วงไปได้ด้วยดี และสุดท้ายขอบคุณเพื่อนๆทุกคนที่เคยช่วยเหลือในการแก้ปัญหา และเคยเป็นเพื่อนในยามที่เราเหนื่อยล้า ขอบคุณครับ



คณะผู้จัดทำ

นายชนพล สนธิวัฒน์ตระกูล

นายภาณุพันธุ์ อินทะสุระ

นายมน เกตุครุฑ

สารบัญ

หน้า

บทคัดย่อภาษาไทย.....	ก
บทคัดย่อภาษาอังกฤษ.....	ข
กิตติกรรมประกาศ.....	ค
สารบัญ.....	ง
สารบัญตราจักร.....	ง
สารบัญรูป.....	ช

บทที่ 1 บทนำ

1.1 ที่มาและความสำคัญของโครงการ.....	1
1.2 วัตถุประสงค์ของโครงการ	1
1.3 ขอบข่ายของโครงการ.....	2
1.4 ขั้นตอนการดำเนินงาน.....	2
1.5 ตารางการปฏิบัติงาน	2
1.6 ผลที่คาดว่าจะได้รับ	3
1.7 งบประมาณที่ใช้.....	3

บทที่ 2 ทฤษฎีเบื้องต้นและหลักการทำงาน

2.1 หลักการทำงานของอินเวอร์เตอร์หนึ่งเฟส (Principles of Single Phase Inverter)	4
2.2 เทคนิกพิศบบเบิลฟูลอิมแบน ไชน์นูชอยดอล (SPWM).....	6
2.3 อินเวอร์เตอร์แบบรูปคลื่นสี่เหลี่ยม (Square – Wave Inverter)	13
2.4 อินเวอร์เตอร์ไฟฟ้าเดียว	16
2.5 การสวิตซ์แรงดันไฟฟ้าแบบใบโพลาร์.....	17
2.6 การสวิตซ์แรงดันไฟฟ้าแบบญูนิโพลาร์	19
2.7 ผลของเคดไทม์ต่อแรงดันไฟฟ้าເອົາເຕີພຸທຂອງອินເວອຣີເຕອຣ໌	24
2.8 ນອສເຟກຳລັງ (Metal – Oxide Semiconductor Field – Effect Transistor).....	29

บทที่ 3 ขั้นตอนการออกแบบและวิเคราะห์สัญญาณ	
3.1 ขั้นตอนในการคำนวณออกแบบวงจร	32
3.2 บล็อกไซโอดแกรมและการทำงานของวงจรควบคุม.....	32
3.3 การวิเคราะห์ประสิทธิภาพและความถี่ความดันคลื่นสัญญาณ	33
3.4 ค่า Total Harmonic Distortion (THD).....	36
3.5 ค่า r.m.s. ขององค์ประกอบของความถี่หลักมูล.....	36
3.6 ค่า Distortion Factor (DF).....	36
บทที่ 4 ผลการทดลองและการวิเคราะห์สัญญาณ	
4.1 ผลการทดลอง	43
4.2 วิเคราะห์ผลการทดลอง	67
บทที่ 5 สรุปและวิจารณ์ผลการทดลอง	
5.1 สรุปผลการทดลอง	78
5.2 ปัญหาที่เกิดขึ้นในระหว่างการทำโครงการ.....	78
5.3 แนวทางในการพัฒนาโครงการต่อไป	78
เอกสารอ้างอิง	79
ประวัติผู้จัดทำโครงการ	80

สารบัญตาราง

ตารางที่

หน้า

2.1 เสื่อนในการสวิตชิ่งแรงดันไฟฟ้าเอกสารพุทธของอินเวอร์เตอร์แบบยูนิโพลาร์.....	20
2.2 การเปรียบเทียบข้อดี – ข้อเสียของการสวิตชิ่งแรงดันไฟฟ้าแบบไขว์โพลาร์กับยูนิโพลาร์.....	22
3.1 นิยามดัชนีและค่าปริมาณที่กำหนดคุณสมบัติและคุณภาพของรูปคลื่นสัญญาณเอกสารพุทธ.....	35
4.1 ค่าดัชนีคุณภาพของรูปคลื่นสัญญาณแรงดันไฟฟ้าเอกสารพุทธจากการจำลองการทำงาน.....	74
4.2 ค่าดัชนีคุณภาพของรูปคลื่นสัญญาณกระแสไฟฟ้าเอกสารพุทธจากการจำลองการทำงาน	75



สารบัญ

หัวข้อ	หน้า
รูปที่	
2.1 อินเวอร์เตอร์หนึ่งเฟส.....	5
2.2 แสดงคำอธิบายการสวิตช์.....	5
2.3 ลักษณะทิศทางการไหลของกระแส เมื่อ S1 และ S4 Turn On	5
2.4 ลักษณะทิศทางการไหลของกระแส เมื่อ S2 และ S3 Turn On	6
2.5 แสดงตัวอย่างการสวิตช์แบบขยายน้ำซุยโดยคอลฟีดับเบิลยูเอ็ม ที่ค่ามอคูเลชันอินเดกซ์เท่ากับ 0.8 , ความถี่ของสัญญาณอ้างอิง = 50 Hz และความถี่ของสัญญาณเครียร์ = 1 kHz.....	8
2.6 แสดงมนิคสเปคตราของ การสวิตช์แบบขยายน้ำซุยโดยคอลฟีดับเบิลยูเอ็ม.....	9
2.7 แสดงรูปคลื่นฟีดับเบิลยูเอ็มแบบโอลาร์มอคูเลชัน.....	10
2.8 แสดงchart มนิคสเปคตราของรูปคลื่นฟีดับเบิลยูเอ็มแบบโอลาร์มอคูเลชัน.....	11
2.9 การควบคุมแรงดันไฟฟ้าเอาต์พุทของอินเวอร์เตอร์ฟีดับเบิลยูเอ็ม โดยการปรับค่า m_a	14
2.10 รูปคลื่นฟีดับเบิลยูเอ็มแบบรูปคลื่นสี่เหลี่ยม	14
2.11 chart มนิคสเปคตราของฟีดับเบิลยูเอ็มแบบรูปคลื่นสี่เหลี่ยม.....	15
2.12 อินเวอร์เฟสเดียวแบบชาล์ฟบริดจ์และแบบฟูลบริดจ์	17
2.13 การสวิตช์ซิงแร้งดันแบบไบโพลาร์	19
2.14 การสวิตช์ซิงแร้งดันไฟฟ้าแบบบูนิโพลาร์	21
2.15 ชาร์มนิคสเปคตราของ การสวิตช์ซิงแร้งดันไฟฟ้าแบบบูนิโพลาร์	21
2.16 ค่าประกอบคลื่นแรงดันไฟฟ้าและกระแสไฟฟ้าเอาต์พุทของอินเวอร์เตอร์เฟสเดียว	
(ก) การสวิตช์แบบรูปคลื่นสี่เหลี่ยม	23
(ข) การสวิตช์แบบไบโพลาร์	24
2.17 ผลของเคด ไทน์ที่มีต่อแรงดันไฟฟ้าเอาต์พุทของอินเวอร์เตอร์	27
2.18 ผลของเคด ไทน์ที่ต่อแรงดันไฟฟ้าเอาต์พุทรูปไข่น	28
2.19 ค่าแรงดันไฟฟ้าผิดเพี้ยนเฉลี่ยจากผลของเคด ไทน์	29
2.20 มอเตอร์กำลัง	
(ก) สัญลักษณ์.....	30
(ข) คุณลักษณะของกระแสไฟฟ้าและแรงดันไฟฟ้าขณะยกตัว	30
(ค) คุณลักษณะของกระแสไฟฟ้าและแรงดันไฟฟ้าในอุตสาหกรรม	31
2.21 ภาพสัญลักษณ์ของ MOSFET แบบ N – Channel	31
3.1 บล็อก ไดอะแอมการทำงานของวงจรอินเวอร์เตอร์	32
3.2 วงจรที่ใช้ในการสร้างรูปคลื่นสามเหลี่ยม.....	37

3.3	วิจารณ์ที่ใช้ในการสร้างรูปคลื่น ไอน์	37
3.4	วิจารณ์ที่ใช้ในการสร้างสัญญาณ PWM	38
3.5	วิจารณ์ที่ใช้ในการสร้างสัญญาณเดค ไทน์.....	39
3.6	วิจารณ์ที่ใช้ในการแยกการวัดด้านส่วนของวงจรควบคุมและวงจรกำลัง.....	39
3.7	วิจารณ์ที่ใช้ในขั้นตอนสเปด	40
3.8	วิจารณ์กำลัง.....	40
3.9	วิจารณ์กำลังจากการออกแบบจริง	41
3.10	วิจารณ์ขั้นเกตจากการออกแบบจริง	41
3.11	วิจารณ์รวมขณะทำการทดสอบ	42
4.1	แสดงรูปคลื่นสัญญาณสามเหลี่ยม	43
4.2	แสดงรูปคลื่นสัญญาณไอน์	44
4.3	แสดงการเปรียบเทียบสัญญาณรูปคลื่น ไอน์ กับ สัญญาณคลื่นสามเหลี่ยม	44
4.4	แสดงสัญญาณแรงดันไฟฟ้า Pulse Width Modulation ที่ได้จากการ Compare	45
4.5	แสดงสัญญาณแรงดันไฟฟ้า Pulse Width Modulation.....	45
4.6	แสดงสัญญาณ Dead Time ก่อนเข้าสู่วงจร Driver	46
4.7	แสดงสัญญาณ Dead Time ก่อนเข้าสู่วงจร Driver	46
4.8	แสดงสัญญาณแรงดันไฟฟ้าอาจต์พุทที่ออกจาก Driver	47
4.9	แสดงสัญญาณแรงดันไฟฟ้าอาจต์พุท	47
4.10	วิจารณ์ขณะขับ โหลดแสงสว่างที่แรงดัน 24 โวลต์	48
4.11	แสดงรูปคลื่นในกระแสจากการขับ โหลดแสงสว่าง	48
4.12	แสดงสัญญาณแรงดันไฟฟ้าอาจต์พุทเมื่อ $m_a = 0.2$	49
4.13	แสดงสัญญาณแรงดันไฟฟ้าอาจต์พุทเมื่อ $m_a = 0.2$ โดยใช้การวิเคราะห์จากโปรแกรม PSIM	49
4.14	แสดงชาร์มนิคสเปคตราของสัญญาณแรงดันไฟฟ้าอาจต์พุทเมื่อ $m_a = 0.2$ เมื่อพิจารณาชาร์มนิคถึงลำดับที่ 200 โดยใช้การวิเคราะห์จากโปรแกรม PSIM	50
4.15	แสดงสัญญาณกระแสไฟฟ้าอาจต์พุทเมื่อ $-m_a = 0.2$ โดยใช้การวิเคราะห์จากโปรแกรม PSIM	50
4.16	แสดงชาร์มนิคสเปคตราของสัญญาณกระแสดันไฟฟ้าอาจต์พุทเมื่อ $m_a = 0.2$ เมื่อพิจารณาชาร์มนิคถึงลำดับที่ 200 โดยใช้การวิเคราะห์จากโปรแกรม PSIM	51
4.17	แสดงสัญญาณแรงดันไฟฟ้าอาจต์พุทเมื่อ $m_a = 0.4$	52
4.18	แสดงสัญญาณแรงดันไฟฟ้าอาจต์พุทเมื่อ $m_a = 0.4$ โดยใช้การวิเคราะห์จากโปรแกรม PSIM	52

4.52 แสดงชาร์มนิคสเปกตรของสัญญาณกระแสไฟฟ้าเอาต์พุตเมื่อ $m_a = 1.0$ เมื่อพิจารณาชาร์มนิคถึงลำดับที่ 20 โดยใช้การวิเคราะห์จากโปรแกรม PSIM.....	73
4.53 แสดงชาร์มนิคสเปกตรของสัญญาณกระแสไฟฟ้าเอาต์พุตเมื่อ $m_a = 1.2$ เมื่อพิจารณาชาร์มนิคถึงลำดับที่ 20 โดยใช้การวิเคราะห์จากโปรแกรม PSIM.....	74
4.54 แสดงการเปรียบเทียบค่า V_{1rms} ที่ค่า m_a ตั้งแต่ 0.2 – 1.2.....	75
4.55 แสดงการเปรียบเทียบค่า THD_v ที่ค่า m_a ตั้งแต่ 0.2 – 1.2	76
4.56 การเปรียบเทียบค่า DF_1 ที่ค่า m_a ตั้งแต่ 0.2 – 1.2	76
4.57 แสดงการเปรียบเทียบค่า I_{1rms} ที่ค่า m_a ตั้งแต่ 0.2 – 1.2.....	77
4.58 แสดงการเปรียบเทียบค่า THD_i ที่ค่า m_a ตั้งแต่ 0.2 – 1.2	77



บทที่ 1

บทนำ

1.1 ที่มาและความสำคัญของโครงการ

ด้วยกำลังทางไฟฟ้าในภาคอุตสาหกรรม จะนิยมใช้แหล่งจ่ายไฟฟ้ากระแสสลับ เช่น อุตสาหกรรมการผลิต ซึ่งโดยส่วนใหญ่จะใช้ระบบขั้นเดื่อนมอเตอร์ไฟฟ้ากระแสสลับเป็นหลัก ในยุคปัจจุบันการควบคุมมอเตอร์ไฟฟ้า สามารถใช้อินเวอร์เตอร์ในการควบคุมให้ได้ความเร็วรอบ-แรงบิดตามต้องการ และมีประสิทธิภาพสูง มีสภาพการทำงานที่ไม่ก่อให้เกิดปัญหารบกวนแก่ระบบไฟฟ้าข้างเคียง อินเวอร์เตอร์ซึ่งมีบทบาทในภาคอุตสาหกรรมมากขึ้น

เครื่องแปลงไฟฟ้ากระแสตรงเป็นไฟฟ้ากระแสสลับหรือ “อินเวอร์เตอร์” ผู้นำเสนอด้วยงานมีความสนใจที่จะทำการศึกษาและค้นคว้าข้อมูล เพื่อที่จะนำมาพัฒนาประสิทธิภาพของอินเวอร์เตอร์แบบ 1 เฟส ให้มีประสิทธิภาพสูงขึ้น

อินเวอร์เตอร์สามารถจำแนกตามลักษณะของเอาท์พุตได้เป็น 2 ประเภท คือ อินเวอร์เตอร์ 1 เฟส และอินเวอร์เตอร์ 3 เฟส ซึ่งในโรงงานนี้จะจัดทำในลักษณะของอินเวอร์เตอร์ 1 เฟส โดยอาศัยเทคนิคการสวิตช์แบบพีดับเบลลูอิมชาญนูซอยดอล

1.2 วัตถุประสงค์ของการทำโครงการ

- เพื่อทำการศึกษาและออกแบบอินเวอร์เตอร์ 1 เฟส ที่สามารถควบคุมความถี่และแรงดันเอาท์พุตได้ตามต้องการ
- เพื่อศึกษาเทคนิคการสวิตช์ซึ่งอินเวอร์เตอร์แบบ SPWM
- เพื่อพัฒนาประสิทธิภาพของอินเวอร์เตอร์ให้สูงขึ้น
- เพื่อเป็นการเสริมสร้างประสบการณ์ ตลอดจนสามารถนำความรู้ที่ได้ไปประยุกต์ใช้ในชีวิตประจำวันได้
- เพื่อส่งเสริมและเผยแพร่ความรู้ความเข้าใจทางด้าน “อิเล็กทรอนิกส์” เพื่อนำไปใช้ในการพัฒนาอุปกรณ์ต่างๆได้

1.3 ข้อบ่งชี้ของการทำโครงการ

- เพื่อทำการออกแบบและพัฒนาอินเวอร์เตอร์ 1 เฟส ขนาด 24 Volt. ที่สามารถควบคุมความถี่และแรงดันเอาท์พุตได้ตามต้องการ
- ใช้โปรแกรมแม็คโครและโปรแกรม PSIM ในการวิเคราะห์และปรับปรุงเพิ่มผลการทำงาน

1.4 ขั้นตอนการดำเนินงาน

- ศึกษาทฤษฎีและหลักการทำงานของอินเวอร์เตอร์
- ศึกษาวิธีการเขียนโปรแกรม
- ทำการทดลองโดยสร้างวงจรต่างๆ
- วิเคราะห์และสรุปผลการดำเนินโครงการ

1.5 ตารางการปฏิบัติงาน

กิจกรรม	เดือน-ปี						
	พ.ย. 49	ธ.ค. 49	ม.ค. 50	ก.พ. 50	มี.ค. 50	เม.ย. 50	พ.ค. 50
1. ศึกษาทฤษฎีที่เกี่ยวข้อง	↔	↔					
2. ศึกษาการเขียนโปรแกรม			↔↔				
3. ออกแบบวงจรทดลอง				↔↔			
4. สร้างวงจรทดลอง					↔↔		
6. เก็บผลการทดลอง						↔↔	
7. วิเคราะห์ผลการทดลอง							↔↔

1.6 ผลที่คาดว่าจะได้รับ

สามารถวิเคราะห์ถึงผลกระทบของการสวิตซ์ชิ่งอินเวอร์เตอร์แบบ SPWM และสามารถพัฒนาอินเวอร์เตอร์ 1 เพส ให้มีประสิทธิภาพสูงขึ้น

1.7 งบประมาณที่ใช้

1. วัสดุทางไฟฟ้าและอิเล็กทรอนิกส์	เป็นเงิน	3,000	บาท
ที่ประกอบด้วย			
1.1 IC เบอร์ต่างๆ			
1.2 มอเตอร์			
1.3 หม้อแปลงไฟฟ้า			
1.4 อุปกรณ์อื่นๆ เช่น ตัวเก็บประจุ, ตัวต้านทาน, แผ่น PCB เป็นต้น			
2. ค่าใช้จ่ายอื่นๆ	เป็นเงิน	1,000	บาท
	รวมเป็นเงิน	4,000	บาท

บทที่ 2

ทฤษฎีเบื้องต้นและหลักการทำงาน

อินเวอร์เตอร์ คือ วงจรไฟฟ้าที่ทำหน้าที่ในการแปลงผันกำลังไฟฟ้าจากไฟฟ้ากระแสตรงเป็นไฟฟ้ากระแสสลับ ซึ่งสามารถแบ่งออกได้เป็น 2 ชนิดด้วยกัน คือ

1. อินเวอร์เตอร์ชนิดแหล่งจ่ายแรงดัน (Voltage Source Inverter: VSI) ซึ่งแบ่งออกได้เป็น 4 ดังนี้

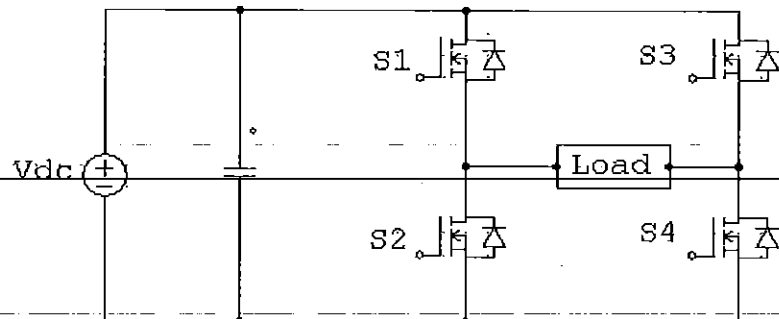
- 1.1 อินเวอร์เตอร์แบบมีอัตโนมัติความกว้างของพัลส์ (Pulse Width Modulation Inverter)
- 1.2 อินเวอร์เตอร์แบบรีไซแนนท์
- 1.3 อินเวอร์เตอร์แบบ McMurray
- 1.4 อินเวอร์เตอร์แบบ McMurray – Bedford

2. อินเวอร์เตอร์แบบป้อนกระแส (Current Source Inverter : CSI)

อินเวอร์เตอร์ชนิดแหล่งจ่ายแรงดัน มักจะเหมาะสมกับงานที่ต้องการกำลังไฟฟ้าไม่สูงมากนักแต่ อินเวอร์เตอร์ชนิดแหล่งจ่ายกระแสจะเหมาะสมกับงานที่ต้องการกำลังไฟฟ้าสูง อินเวอร์เตอร์ชนิด แหล่งจ่ายแรงดันที่นิยมนิยมนำไปใช้งานคือ อินเวอร์เตอร์แบบพีดับบลิวเอ็ม (Pulse Width Modulation Inverter : PWM Inverter) ส่วนอีกประเภทที่นิยมคือ อินเวอร์เตอร์แบบรูปคลื่นสี่เหลี่ยม (Square – Wave Inverter) ซึ่งมีโครงสร้างที่ไม่ซับซ้อน แต่มีข้อเสียคือ ขนาดของฮาร์มอนิกส์อันดับต่ำจะมีค่า สูง ดังจะกล่าวให้เห็นในรายละเอียดต่อไป

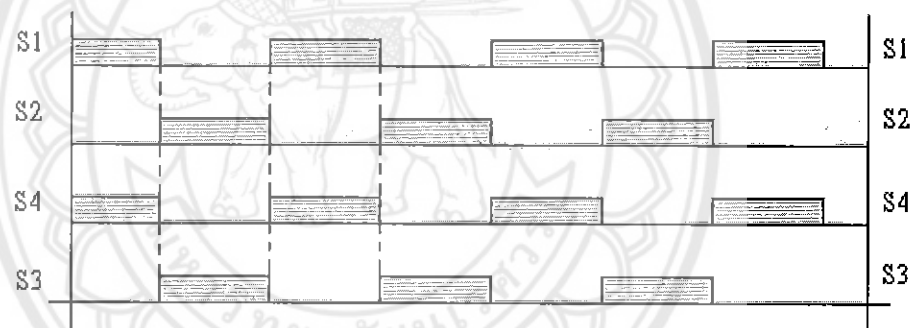
2.1 หลักการทำงานของอินเวอร์เตอร์หนึ่งเฟส (Principles of Single Phase Inverter)

จากรูปที่ 2.1 เป็นอินเวอร์เตอร์หนึ่งเฟสซึ่งเป็นวงจรพื้นฐานที่ใช้เปลี่ยนไฟฟ้ากระแสตรงให้ เป็นไฟฟ้ากระแสสลับ เอาหัวพุทธกระแสสลับนั้นได้จากการปิดและการเปิดสวิตช์ในลำดับที่เหมาะสมดัง รูปที่ 2.1 แสดงวงจรสวิตช์ซึ่งอาจเป็นทรานซิสเตอร์ ไทริสเตอร์หรืออย่างอื่นก็ได้ แต่สำหรับ โครงการนี้จะใช้พาวเวอร์มอสเฟตเป็นอุปกรณ์สวิตช์ซึ่งเพาะสามารถทำงานที่ความถี่สูงได้

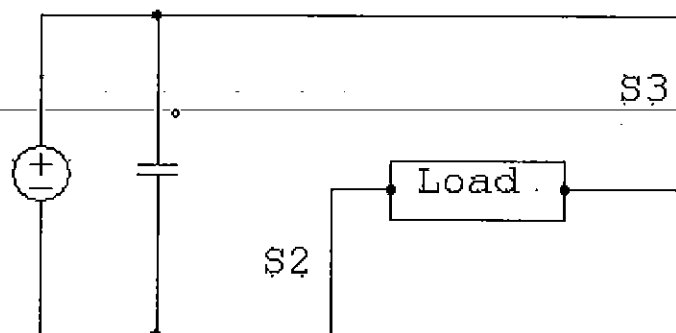


รูปที่ 2.1 อินเวอร์เตอร์หนึ่งเฟส

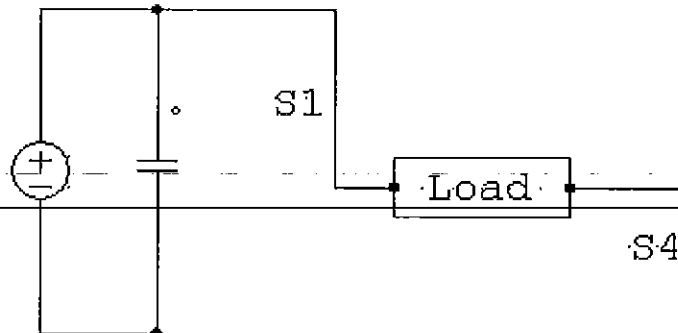
จากรูปเมื่อพิจารณาจะพบว่าสวิตช์ S1 กับ S2 จะต้องไม่ทำงานพร้อมกัน และ S3 กับ S4 ก็จะต้องไม่ทำงานพร้อมกัน เพราะหากทำงานพร้อมกันจะทำให้เกิดการตัดวงจรที่แหล่งจ่ายไฟดีซี ดังนั้นช่วงเวลาการทำงานของสวิตช์จะสลับกันทำงาน ดังรูปที่ 2.2



รูปที่ 2.2 แสดงลำดับการสวิตช์



รูปที่ 2.3 ลักษณะพิเศษของการไฟลของกระแส เมื่อ S1 และ S4 Turn On



รูปที่ 2.4 ลักษณะพิเศษของการไฟต์ของกระแส เมื่อ S2 และ S3 Turn On

ในความเป็นจริงสวิตซ์จะไม่เปิดหรือปิดในทันที ดังนั้นในการออกแบบจะต้องออกแบบช่วงเวลาที่เรียกว่า “เดดไทม์” เข้าไปด้วยเพื่อความปลอดภัยซึ่งจะกล่าวต่อไป

จากรูปที่ 2.1 และรูปที่ 2.2 สวิตซ์ทุกตัวสามารถควบคุมได้ด้วยสัญญาณที่สร้างขึ้นมาจากการเปรียบเทียบกันระหว่างสัญญาณอ้างอิงรูปคลื่นขาyan กับสัญญาณสามเหลี่ยม (กรณีเทคนิคการสวิตซ์แบบไนน์นูซอยด์ดอลฟล์ส์วิชมอดูลาร์) โดยที่สัญญาณที่ได้จะนำไปควบคุมสวิตซ์โดยที่สวิตซ์ S1 และ S2 ต้องเป็นสัญญาณที่อินเวอร์สกันทำให้สวิตซ์หั่งสองไม่ทำงานพร้อมกัน

2.2 เทคนิคฟีดบัคเบลยูเอ็มแบบไนน์นูซอยด์ (SPWM)

เทคนิคนี้จะใช้หลักการ โดยการนำรูปคลื่นสัญญาณควบคุมรูปไนน์ ที่มีความถี่เท่ากับความถี่หลักมูลทางด้านเอาต์พุทของอินเวอร์ส์เตอร์มาเปรียบเทียบกับสัญญาณแครีเยอร์ (รูปคลื่นสามเหลี่ยม) ที่มีความถี่เท่ากับความถี่การสวิตซ์ที่ออกแบบไว้ โดยที่ค่าอัตราการหมุนอูเดตด้านแอมป์ลิจูดจะหมายถึงค่าอัตราส่วนของค่ายอดของสัญญาณควบคุมรูปไนน์เทียบกับค่ายอดของสัญญาณแครีเยอร์ (รูปคลื่นสามเหลี่ยม) ซึ่งสามารถเขียนเป็นสมการรูปคลื่นสัญญาณควบคุมได้ดังนี้

$$V_{control} = \hat{V}_{control} \sin(\omega t) \quad \text{เมื่อ } 0 \leq \omega t \leq 2\pi \quad (2.1)$$

$$\text{โดยที่} \quad m_a = \frac{\hat{V}_{control}}{\hat{V}_{tri}} \quad (2.2)$$

เมื่อ $\hat{V}_{control}$ คือ ค่ายอดของสัญญาณควบคุมรูปไนน์ และ
 \hat{V}_{tri} คือ ค่ายอดของสัญญาณแครีเยอร์ (รูปคลื่นสามเหลี่ยม)

โดยที่ค่าอัตราการมอคุเลตด้านความถี่ คือค่าอัตราส่วนระหว่างความถี่ของสัญญาณแครีบเบิร์กับความถี่ของสัญญาณควบคุมรูปไข่นี้ซึ่งในโครงงานนี้จะนิยามโดยใช้ตัวแปร m_f ซึ่งจะได้

$$m_f = \frac{f_{tri}}{f_{control}} \quad (2.3)$$

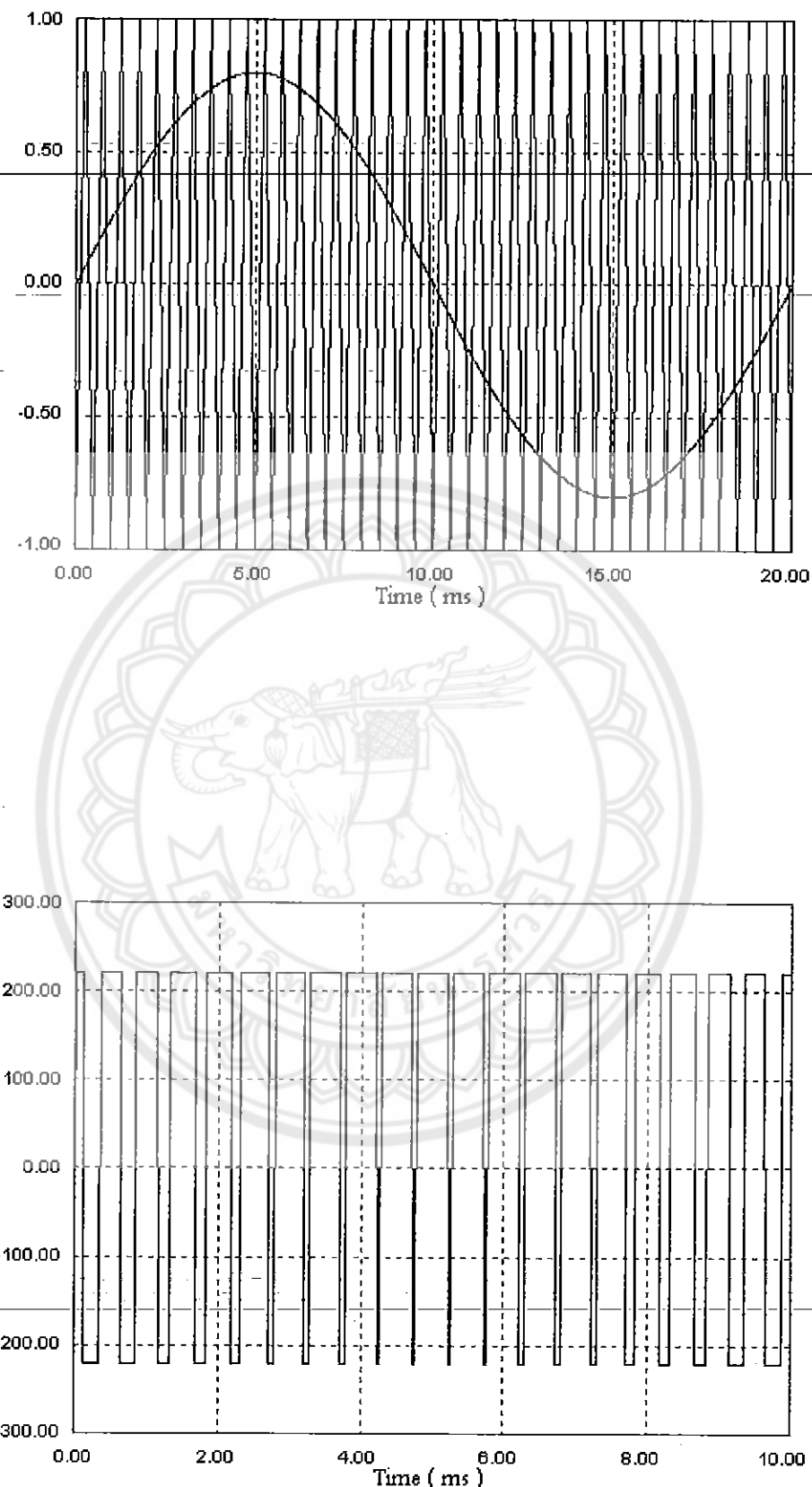
เมื่อ	$f_{control}$	คือ ความถี่ของรูปคลื่นสัญญาณควบคุมรูปไข่นี้ หรือ
	f_l	คือ ความถี่หลัก摹仿ด้านเอาต์พุทของอินเวอร์เตอร์ และ
	f_{tri}	คือ ความถี่ของรูปคลื่นสัญญาณแครีบเบิร์ (รูปคลื่นสามเหลี่ยม) หรือ
	f_s	คือ ความถี่ของการสวิตช์ของอินเวอร์เตอร์

ในการออกแบบทำได้โดยการเลือกค่า m_f ที่เหมาะสมซึ่งสามารถสรุปได้ดังนี้

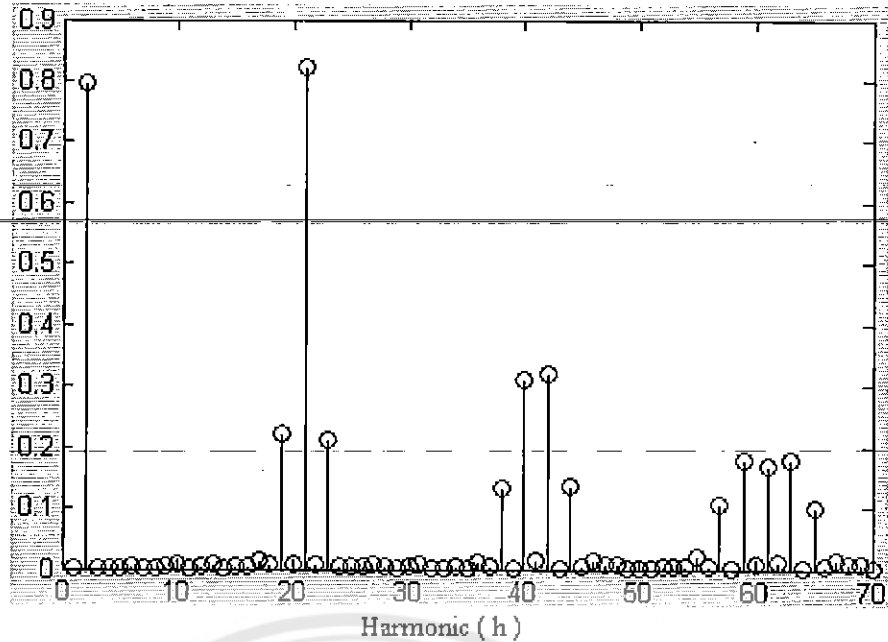
- กรณีที่ออกแบบโดยให้ค่า m_f ต่ำ ๆ ($m_f \leq 21$) จะต้องทำการเลือกค่า m_f เป็นเลขคี่ เพื่อป้องกันไม่ให้เกิดชำรุดอนิกัลดำเนินคู่ขั้น
- กรณีที่ m_f มีค่าสูง ($m_f > 21$) ผลจากการเลือกใช้ชิ้นโครงน้ำสพีดับเบิลยูอี็มจะมีน้อยจึงอาจใช้การสวิตช์แบบอะซิงโครงน้ำสพีดับเบิลยูอี็มแทนได้

ในการพิจารณาสัญญาณแรงดันเอาต์พุทที่เกิดจากรูปคลื่นนี้สามารถพิจารณาได้ 2 ช่วงการทำงานดังต่อไปนี้

- ช่วงการมอคุเลตเชิงเส้น ($0 \leq m_a \leq 1$) เป็นช่วงที่องค์ประกอบหลัก摹仿ของแรงดันไฟฟ้าด้านเอาต์พุท (fundamental – frequency component of the output voltage) แปรผันเชิงเส้นกับค่า m_a



รูปที่ 2.5 แสดงตัวอย่างการสวิตช์แบบซากน์บุชอยคอลพีดับเบิลยูเอ็ม ที่ค่ามอคูลชั้นอินเด็กซ์เท่ากับ 0.8 , ความถี่ของสัญญาณอ้างอิง = 50 Hz และความถี่ของสัญญาณแครี่ร์ = 1 kHz



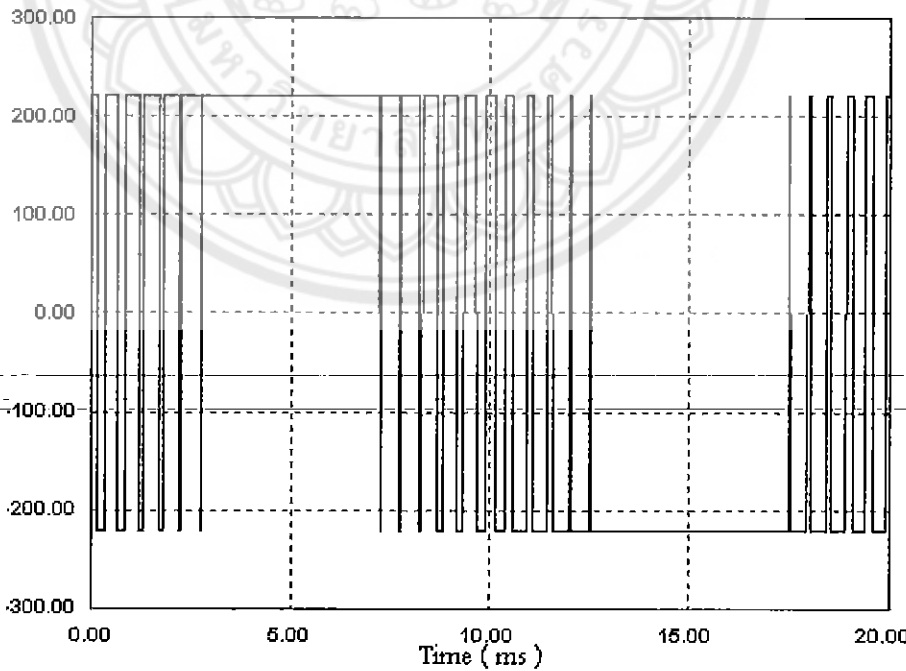
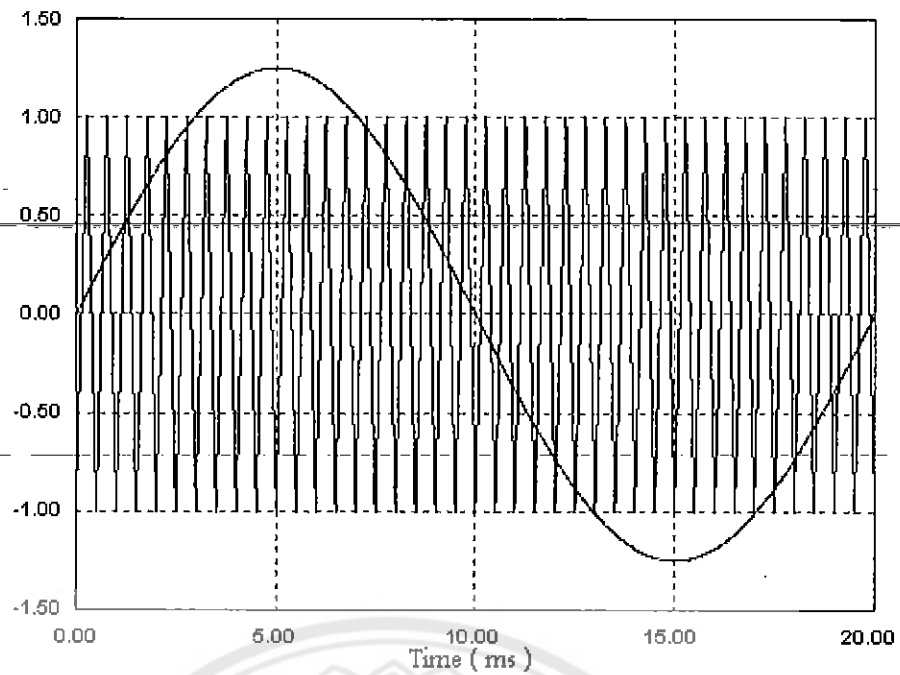
รูปที่ 2.6 แสดงขาร์มอนิคสเปกตรของสวิตช์แบบซายน์บุชอยดอลพีดับเบลยูเอ็ม

2. ช่วงการควบคุมแบบโอลเวอร์มอคุเลต ($m_a > 1$) เป็นช่วงที่แรงดันเอาต์พุทไม่แปรผันเชิงเส้นกับค่า m_a ซึ่งส่วนใหญ่มักไม่มีการนำเข้าหนี้ไปใช้งานเนื่องจากจะมีผลจากการป্রากอนของขาร์มอนิก กำดับตัว ๆ ที่อยู่ใกล้กับขาร์มอนิกกำดับที่หนึ่งหรือความถี่หลักมูล เช่น ขาร์มอนิกกำดับที่ 3, 5, 7,... เป็นต้น ซึ่งเป็นสาเหตุที่ทำให้เกิดผลเสียหากนำไปใช้งาน โดยเฉพาะอย่างยิ่งการนำไปขับมอเตอร์ เนื่องจากจะมีการนำเข้าหนี้ไปใช้งาน ทำให้เกิดกำลังไฟฟ้าสูญเสียและทำให้เกิดความเร็วหดหาย ความเร็ว

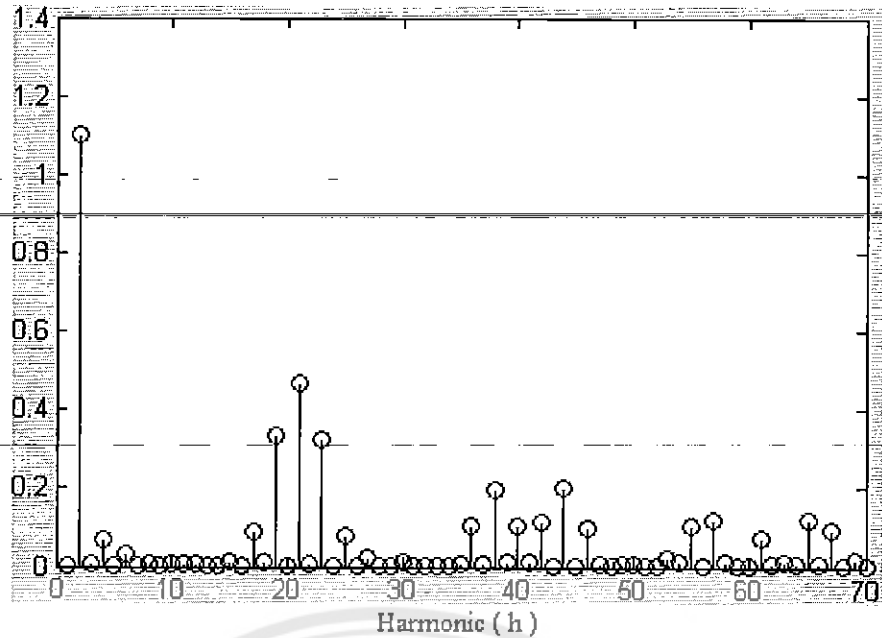
การเปรียบเทียบสัญญาณสองสัญญาณ ในเงื่อนไขหาก $v_{control} > v_{tri}$ จะได้สัญญาณพัลส์ เป็นวง ในทำนองเดียวกันหาก $v_{control} < v_{tri}$ จะได้พัลส์เป็นลบ กรณีโอลเวอร์มอคุเลชันในรูปที่ 2.7 ใช้เกลียวของ $v_{control}$ จะมีช่วงที่ยอดของ $v_{control}$ มากกว่า v_{tri} จนถึงว่าจะได้พัลส์เป็นบวกในช่วงระยะเวลาหนึ่งเสมือนว่าไม่มีการสวิตช์ เช่นเดียวกับการเกิดขึ้นที่ครึ่งใช้เกลียวของ $v_{control}$ ช่วง Peak-ล่างจะทำให้ค่าพัลส์เป็นลบหรือศูนย์-ซึ่งเป็นช่วงที่ไม่มีการสวิตช์ เช่นเดียวกับ

ผลเสียจากรูปที่ 2.8 คือเกิดขาร์มอนิกขึ้นที่บริเวณไกล์ ๆ กับความถี่หลักมูลหรือขาร์มอนิกกำดับที่หนึ่ง

ส่วนผลดีของการควบคุมแบบโอลเวอร์มอคุเลตนั้นคือ จะได้ขนาดของแรงดันไฟฟ้าของความถี่หลักมูลมากกว่ากรณีที่ช่วงการมอคุเลตเชิงเส้น



รูปที่ 2.7 แสดงรูปคลื่นพีดับเบิลฟรีเอนแบบโอลเวอร์มอคุเลชัน



รูปที่ 2.8 แสดง harmonic spectrum ของรูปคลื่นไฟฟ้าบิลจูเอ็มแบบโอลเวอร์นอคูลชัน

ตัวอย่างลักษณะของการสวิตช์แบบไอนีนูซอบดอลพีดับเบลจูเอ็มแสดงไว้ดังรูปที่ 2.3 ซึ่งข้อดีของการสวิตช์แบบนี้คือสามารถลดขนาดของยาร์มอนิกลำดับต่ำได้ทำให้ค่าความผิดเพี้ยนของรูปคลื่นลดลงอย่าง และมีข้อเสียคือค่าองค์ประกอบแรงดันเอ่าที่พุทธของความถี่มุกฐานน้อยลง

2.2.1 การควบคุมแรงดัน

SPWM สามารถที่จะปรับแรงดันกระแสสัลบทางค้านเอ่าที่พุทธได้ โดยอาศัยการปรับค่า Modulation Index ซึ่งเราสามารถที่จะปรับค่าค่าต่างๆ ได้แต่ที่สำคัญนั้นเราจะปรับค่าของ Amplitude ของสัญญาณเข้ามารูปคลื่น Sine และในการปรับความถี่สามารถทำได้เช่นกัน โดยการปรับค่าของ สัญญาณรูปคลื่นสามเหลี่ยม

ในการประยุกต์ใช้งานกับระบบต่างๆ สำคัญไม่ว่าจะเป็นการนำเอาอินเวอร์เตอร์ไปขับ Motor แรงดันของ Motor ที่จะเพิ่มขึ้นนั้นเกิดจากการเพิ่มขึ้นของความถี่ เมื่อเราต้องการที่จะปรับความเร็ว ของ Motor เพื่อที่จะทำการรักษาค่า Flux ในแกนเหล็กให้มีค่าคงที่

2.2.2 THE R.M.S. VALUE OF SPWM VOLTAGE

เราสามารถที่จะพิจารณาค่าเฉลี่ยแรงดันถ้าถ้าค่าเฉลี่ยของแรงดันที่ถูก Plotted ในเชิงมุม (θ) เราสามารถที่จะหาพื้นที่ได้กราฟของแต่ละพัลส์ได้ดังสมการ $V^2 \sin \theta d\theta$
 $\int V^2 \sin \theta d\theta$ เป็นค่าความกว้างของพัลส์
 ดังนั้นพื้นที่ได้กราฟในครึ่งวง稼จะได้เป็น

$$\int_0^\pi V^2 \sin \theta d\theta = 2V^2$$

ดังนั้นค่า MEAN SQUARE ของแรงดันรวมเป็น $\left(\frac{2}{\pi}\right)V^2$ และค่า R.M.S. ของแรงดันรวมจะได้เป็น

$$\left(\frac{2}{\pi}\right)V^2 = 0.7979$$

สำหรับ HALF BRIDGE ค่าแรงดัน R.M.S มีค่าดังนี้

$$= 0.7979 \frac{V}{2} = 0.3990V$$

2.2.3 FOUNDAMENTAL SINUSOIDAL COMPONENT

องค์ประกอบพื้นฐานของ SINUSOIDAL สามารถที่จะนำมาวิเคราะห์โดยใช้อุปกรณ์วัดกระแสไฟฟ้า แสดงค่าแอมป์ลิจูดได้โดยสมการของการวิเคราะห์ฟูเรียร์ท่านต์ฟอร์ม

$$= \frac{2}{\pi} \int_0^\pi V \sin \theta \sin \theta d\theta = V$$

$$= \frac{V}{\sqrt{2}} = 0.707V$$

ค่าแรงดันที่เป็นผลตอบสนองของ HALF BRIDGE จะเป็นครึ่งหนึ่งของสมการข้างต้น ดังนั้นมีค่า R.M.S. ของแรงดันพื้นฐาน $= \frac{V}{2\sqrt{2}}$

2.2.4 TOTAL HARMONIC VOLTAGE AND TOTAL HARMONIC DISTORTION

FACTOR (THD)

แรงดัน harmonic ไม่นิครวมสามารถเขียนพิจารณาได้จากค่า R.M.S. แรงดันรวมและค่า R.M.S. ของแรงดันฟื้นฟูงานสำหรับ HALF BRIDGE ได้ดังสมการ

$$=0.3990$$

$$= 0.3535V$$

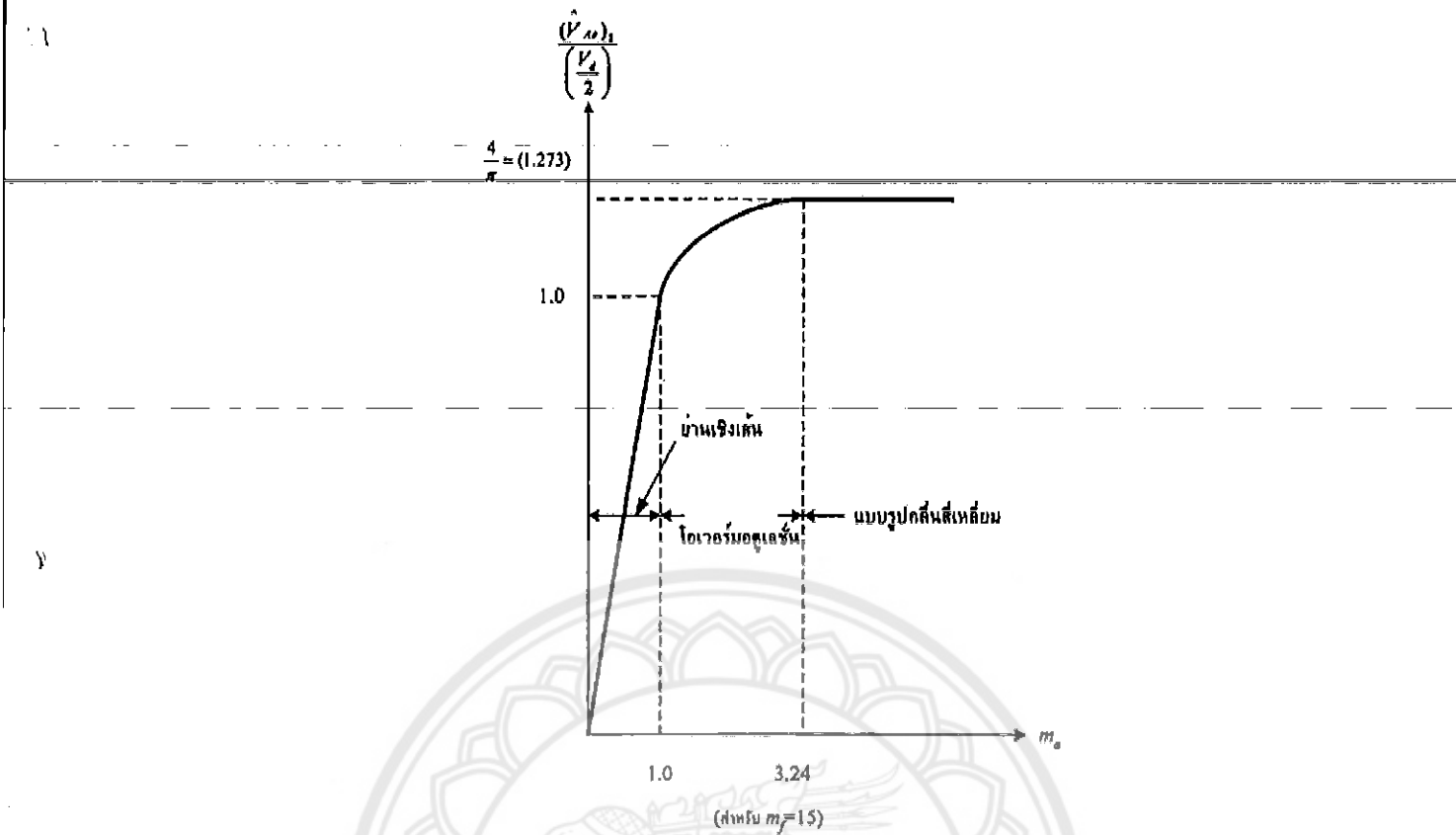
ซึ่งจากสมการดังกล่าวทำให้แรงดัน harmonic ไม่นิครวมเป็น

$$\begin{aligned} &= \sqrt{(0.3990V)^2 - (0.3535V)^2} = 0.1850V \\ &= \frac{0.1850}{0.3990} = 0.4637 = 46.37\% \end{aligned}$$

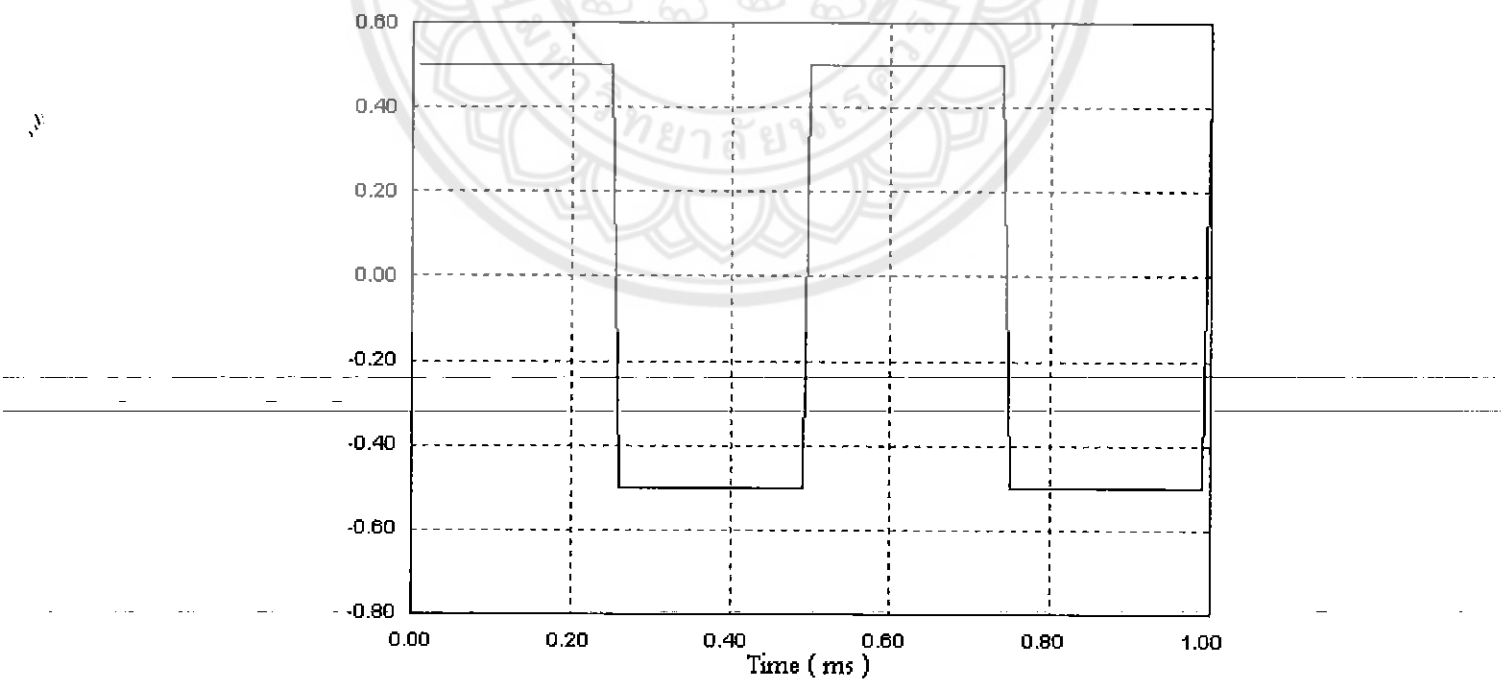
2.3 อินเวอร์เตอร์แบบรูปคลื่นสี่เหลี่ยม (Square – Wave Inverter)

เมื่อปรับเพิ่มค่า m_a จนกระทั่งถึงช่วงแรงดันไฟฟ้าเอาต์พุทโอลูเด้นซ์แรงดันไฟฟ้าเอาต์พุทจะมีการเพิ่มขึ้นแบบไม่เป็นเชิงเส้น จนกระทั่งถึงค่าคงที่ค่าหนึ่งซึ่งมีตัวประกอบเป็น $4/\pi$ สำหรับแนวโน้มของการเพิ่มขึ้นของแรงดันไฟฟ้าเอาต์พุทต่อค่า m_a จะมีแนวโน้มดังแสดงในรูปที่ 2.9 กล่าวคือเมื่อปรับเพิ่มค่า m_a จนกระทั่งแรงดันไฟฟ้าเอาต์พุทไม่สามารถเพิ่มขึ้นได้อีกต่อไป ดังแสดงในรูปที่ 2.9 ซึ่งจะเห็นได้ว่าค่า m_a ตั้งแต่ 3.24 ขึ้นไปจะจัดการทำงานอยู่ในโหมดการสวิตช์ แบบรูปคลื่นสี่เหลี่ยม ซึ่งจะได้ขนาดของแรงดันไฟฟ้าเอาต์พุทที่ความถี่หลักมูลค้างานที่ 2.4

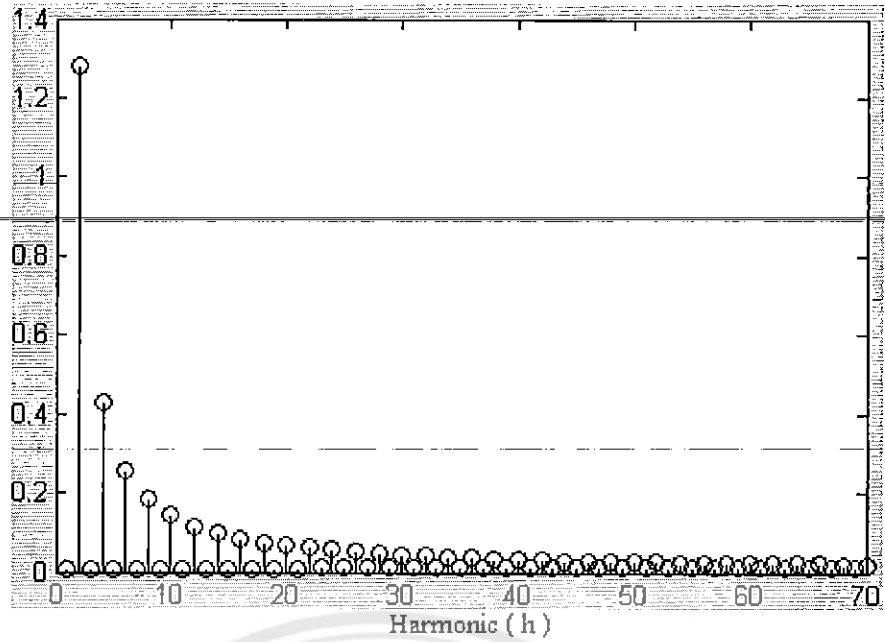
$$\left(\hat{V}_{A0} \right) = \frac{4}{\pi} \frac{V_d}{2} = 1.273 \left(\frac{V_d}{2} \right) \quad (2.4)$$



รูปที่ 2.9 การควบคุมแรงดันไนโตรเจนเข้าสู่ห้องอินเวอร์เตอร์พีดับเบิลยูเอ็ม โดยการปรับค่า m_a



รูปที่ 2.10 รูปคลื่นพีดับเบิลยูเอ็มแบบรูปคลื่นสี่เหลี่ยม



รูปที่ 2.11 ชาร์มอนิกสเปกตรายของพีดับเบิลยูอีมแบบรูปคลื่นสี่เหลี่ยม

$$\left(\hat{V}_{A0}\right)_h = \frac{\left(\hat{V}_{A0}\right)_1}{h} \quad (2.5)$$

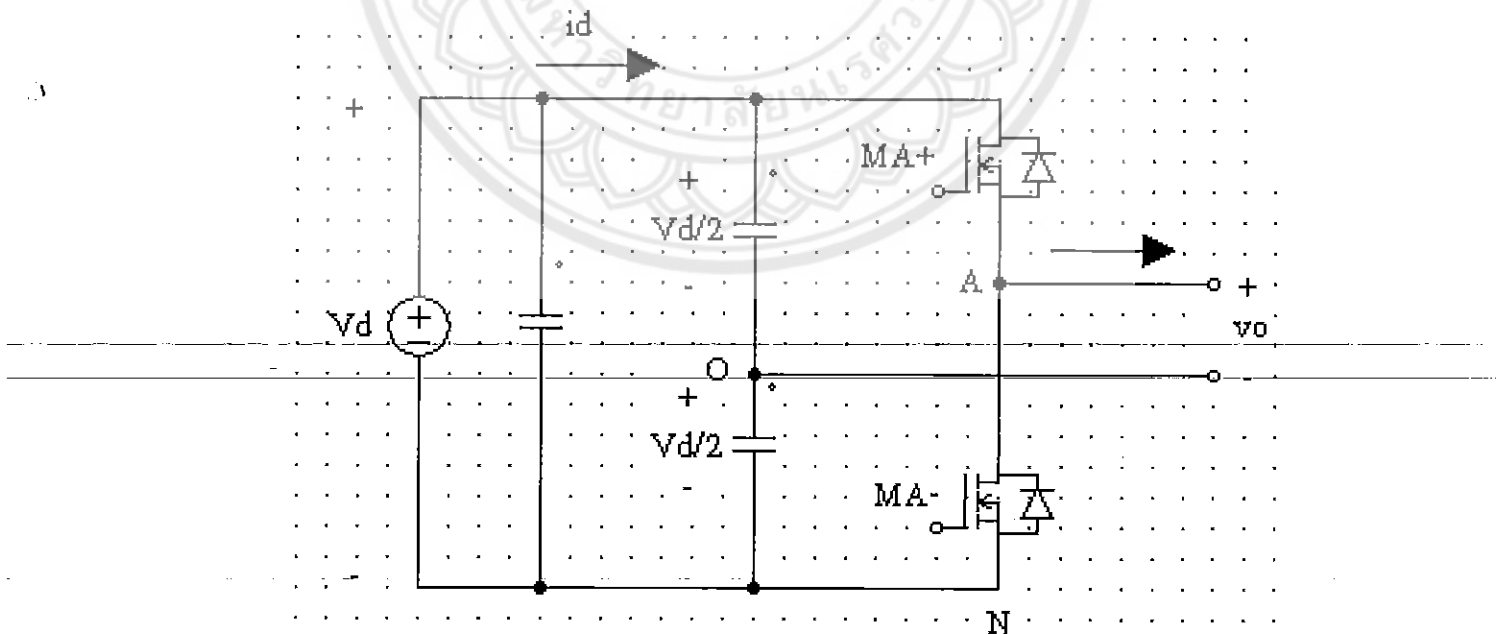
สมการที่ 2.5 แสดงให้เห็นว่าแรงดันไฟฟ้ายอดเยาต์พุทที่ชาร์มอนิกใด ๆ จะมีค่าเท่ากับแรงดันไฟฟ้ายอดเยาต์พุทของความถี่หลักมูลหารค่าวาบค่าอัตราจับของชาร์มอนิกนั้น ๆ

ข้อดีของการใช้งานในช่วงการสวิตชิ่งแบบรูปคลื่นสี่เหลี่ยม คือแรงดันไฟฟ้ายอดเยาต์พุทของความถี่หลักมูลจะมีค่าสูงเป็น 1.273 หรือมากกว่า $\frac{4}{\pi}$ เท่าของครึ่งหนึ่งของแรงดันไฟฟ้ากระแสตรงอินพุทและอุปกรณ์สวิตชิ่งจะทำงานที่ความถี่ต่ำ เช่น ความถี่ไฟตามสาย ทำให้สามารถเลือกใช้อุปกรณ์สวิตชิ่งที่ทำงานได้ที่ความถี่ต่ำได้ แต่มีข้อเสียคือจะไม่สามารถปรับค่าแรงดันไฟฟ้าเยาต์พุทจาก การปรับค่า m_a ดังนั้นหากต้องการปรับค่าแรงดันไฟฟ้าเยาต์พุทจะสามารถกระทำได้เพียงการปรับระดับแรงดันไฟฟ้ากระแสตรงอินพุท นอกจากนั้นการสวิตชิ่งแบบนี้ยังมีข้อเสียเช่นเดียวกับการทำงานในช่วงโอลเวอร์นอยด์เช่น คือจะมีชาร์มอนิกลำดับต่ำ ๆ ที่อยู่ใกล้กับชาร์มอนิกลำดับที่ 1 เช่น ชาร์มอนิกลำดับที่ 3, 5, 7, ... เกิดขึ้นดังแสดงในรูปที่ 2.11

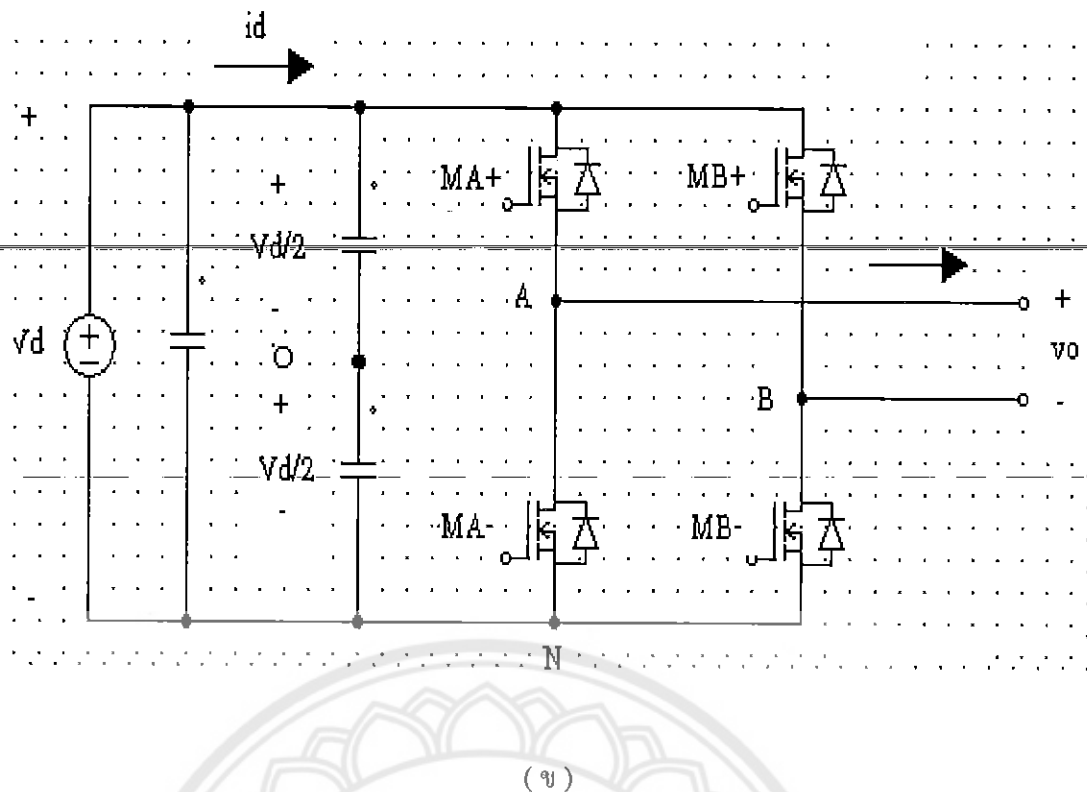
2.4 อินเวอร์เตอร์ไฟเดี่ยว

อินเวอร์เตอร์ไฟเดี่ยวสามารถแบ่งออกได้เป็น 2 ชนิด คือ แบบhalf-bridge และแบบfull-bridge ในแบบhalf-bridgeนั้นจะมีตัวเก็บประจุสองตัวต่อลำดับกันอยู่ระหว่างแหล่งจ่ายแรงดันไฟฟ้ากระแสตรงและถ้ากำหนดให้ค่าของตัวเก็บประจุทั้งสองตัวมีค่าเท่ากัน จะส่งผลให้แรงดันไฟฟ้าตกลงร่วมตัวเก็บประจุแต่ละตัวจะมีค่าเท่ากันคือ $V_d/2$ และจุดกึ่งกลางของแรงดันไฟฟ้า (จุด 0 ในรูปที่ 2.12 (ก)) จะมีค่าคงที่เมื่อเทียบกับบัสลบ (N) ดังแสดงในรูปที่ 2.12 (ก) ส่วนวงจรอินเวอร์เตอร์แบบfull-bridgeไฟเดี่ยวจะประกอบไปด้วยสองกิ่ง คือ กิ่ง A และ กิ่ง B ดังรูปที่ 2.12 (ข) โดยแบบfull-bridgeจะมีกำลังไฟฟ้าสูงกว่าแบบhalf-bridgeสองเท่า-ซึ่งหมายความว่า ที่จะเลือกใช้เมื่อต้องการขับกำลังไฟฟ้าเมื่อโหลดสูงขึ้น

เงื่อนไขสำคัญที่อินเวอร์เตอร์ไฟเดี่ยวแบบhalf-bridgeและแบบfull-bridge คือการทำงานของสวิตช์ T_{A+} และ T_{A-} ต้องไม่ทำงานพร้อมกันในทุกช่วงเวลา มิฉะนั้นแล้วจะทำให้เกิดการลัดวงจรระหว่างบัสลบ ในทางอุคณิตเวลาของการสวิตช์ของ T_{A+} และ T_{A-} จะตรงกันข้ามกัน แต่ในทางปฏิบัติจะต้องการช่วงเวลาที่สวิตช์ทั้งคู่ไม่นำกระแส ซึ่งเรียกว่าdead time (deadtime) โดยdead timeจะอยู่ในช่วงเวลา ก่อนจะเปลี่ยนสถานะการสวิตช์ จากนำกระแสเป็นไม่นำกระแสหรือจากไม่นำกระแส เป็นนำกระแส



(ก)



รูปที่ 2.12 อินเวอร์เฟสเดียวแบบขาล์ฟบริคจ์และแบบฟูลบริคจ์

2.5 การสวิตชิ่งแรงดันไฟฟ้าแบบไบโพลาร์

การสวิตชิ่งแรงดันแบบไบโพลาร์ (bipolar voltage switching) คือการควบคุมให้สวิตช์แบบบริคจ์ทำงานพร้อมกันเป็นคู่ เช่น ในรูปที่ 2.12 (ข) การทำงานของสวิตช์ M_{A+} และ M_{B-} จะถูกควบคุมให้ทำงานพร้อมกันในแต่ละช่วงเวลา อีกคู่หนึ่งคือการทำงานของสวิตช์ M_{A-} และ M_{B+} ดังนั้นแรงดันไฟฟ้าเอาต์พุทของจุด A จะเท่ากับ

$$v_{Ao} = \frac{1}{2}V_d \quad \text{เมื่อ } v_{control} > v_{tri}, \text{ สวิตช์ } M_{A+} \text{ และ } M_{B-} \text{ จะนำกระแส} \quad (2.6)$$

$$v_{Ao} = -\frac{1}{2}V_d \quad \text{เมื่อ } v_{control} < v_{tri}, \text{ สวิตช์ } M_{A-} \text{ และ } M_{B+} \text{ จะนำกระแส} \quad (2.7)$$

เมื่อคิดจากหนึ่งกิ่งของอินเวอร์เตอร์แบบบีดจ์ แรงดันไฟฟ้าเอาต์พุทของกิ่ง B จะเท่ากับบวกกับของแรงดันไฟฟ้าเอาต์พุทของกิ่ง A คือ $V_{Bo} = -V_{Ao}$ ดังนั้นแรงดันไฟฟ้าเอาต์พุทของอินเวอร์เตอร์ หรือแรงดันไฟฟ้าระหว่างกิ่ง A และกิ่ง B จะเท่ากับ

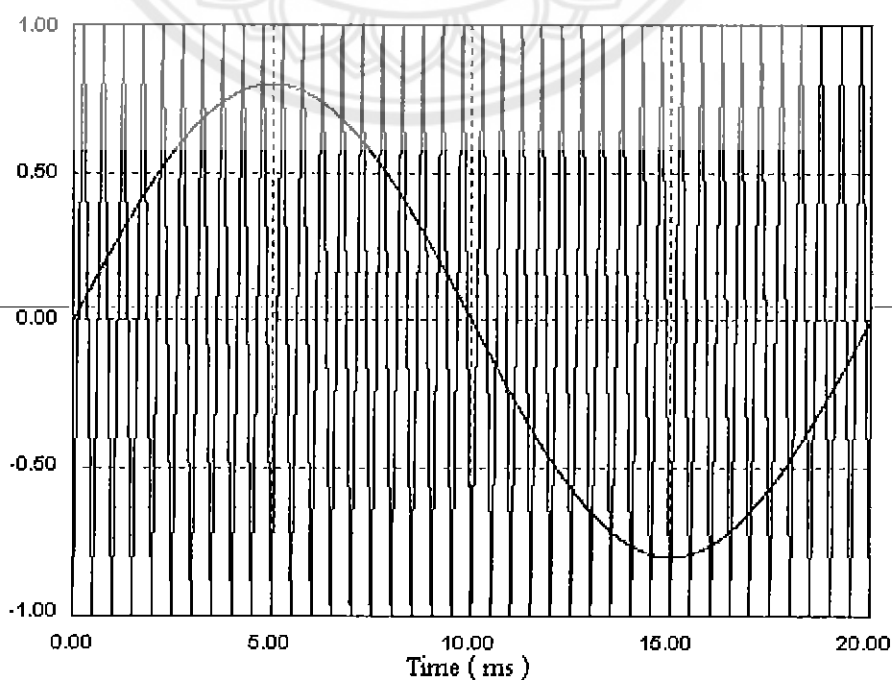
$$v_o = v_{Ao} - v_{Bo} = 2v_{Ao}$$

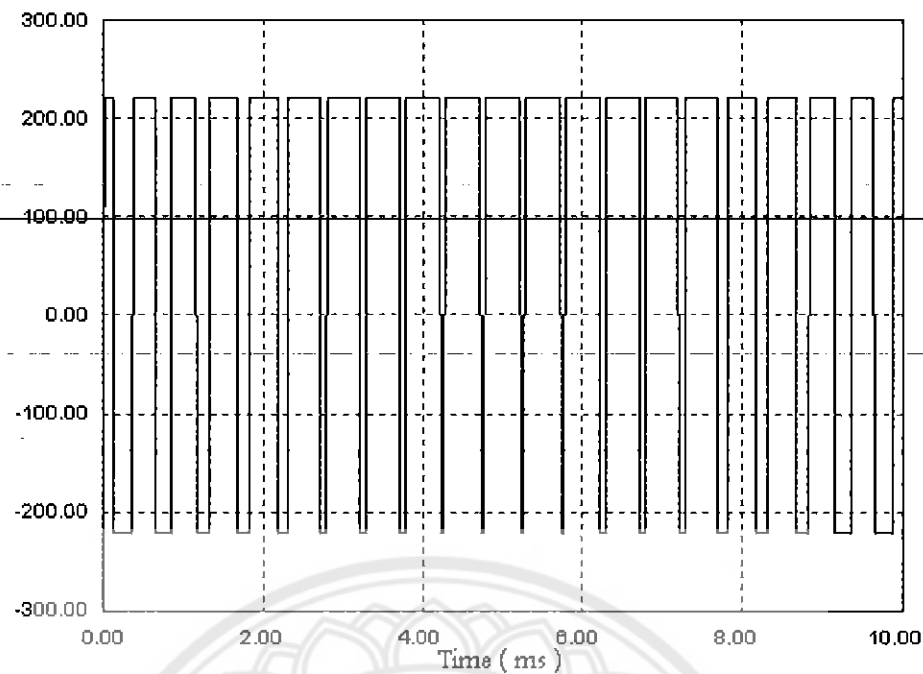
$$\hat{V}_{ol} = m_a V_d \quad \text{เมื่อ } m_a \leq 1.0 \quad (2.8)$$

$$V_d < \hat{V}_{ol} < \frac{4}{\pi} V_d \quad \text{เมื่อ } m_a > 1.0 \quad (2.9)$$

หรืออาจสรุปได้ว่าแรงดันไฟฟ้ายอดเอาต์พุทจะเท่ากับสมการที่ 2.8 เมื่อ m_a อยู่ในย่านเชิงเส้นและแรงดันไฟฟ้ายอดเอาต์พุทจะเท่ากับสมการที่ 2.9 เมื่อ m_a อยู่ในช่วงโอลาร์มอุดเลชัน

โดยที่แรงดันไฟฟ้าเอาต์พุทจะสวิตซ์อยู่ระหว่าง $+V_d$ และ $-V_d$ ดังแสดงในรูปที่ 2.13 ส่วนไซน์แบนชาร์มนอนิกจะเกิดขึ้นรอบ ๆ $m_f, 2m_f, 3m_f, \dots$ เช่น หากความถี่สวิตซ์จะเท่ากับ 20 kHz ไซน์แบนชาร์มนอนิกก็จะเกิดขึ้นที่ 20 kHz, 40 kHz และ 60 kHz เป็นต้น





รูปที่ 2.13 การสวิตชิ่งแรงดันแบบไบโพลาร์

สิ่งที่ระบุว่าเป็นการสวิตชิ่งแบบไบโพลาร์ ก็คือ

- มีการสวิตช์ของแรงดันระหว่างสาย (v_o หรือ v_{ab}) ระหว่างขั้วหรือระหว่างบัสบวกกับบลูบ-
- ความถี่ของพัลส์ที่โหลดจะเท่ากับความถี่ของ v_{tri}
- จะเกิดความถี่จากสเปกตรามีค่า เริ่มต้นที่รอบ ๆ f_s และจำนวนเท่าของ f_s

2.6 การสวิตชิ่งแรงดันไฟฟ้าแบบยูนิโพลาร์

ข้อแตกต่างระหว่างการสวิตชิ่งแรงดันไฟฟ้าแบบไบโพลาร์กับแบบยูนิโพลาร์ (unipolar voltage switching) ก็คือ ในแบบยูนิโพลาร์การควบคุมสวิตช์ในกิ่ง A กับกิ่ง B จะแยกสัญญาณควบคุมออกจากกัน กีอสวิตช์ในกิ่ง A จะถูกควบคุมจากสัญญาณ $v_{control}$ เทียบกับสัญญาณรูปสามเหลี่ยม (v_{tri}) ขณะที่สวิตช์ในกิ่ง B จะถูกควบคุมจากสัญญาณ $-v_{control}$ เทียบกับสัญญาณรูปสามเหลี่ยม (v_{tri}) ซึ่งมีส่วนในการสวิตช์ดังนี้

เมื่อ $v_{control} > v_{tri}$: สวิตช์ T_{A+} จะนำกระแส $v_{AN} = V_d$
เมื่อ $v_{control} < v_{tri}$: สวิตช์ T_{A-} จะนำกระแส $v_{AN} = 0$
เมื่อ $-(v_{control}) > v_{tri}$: สวิตช์ T_{B+} จะนำกระแส $v_{BN} = V_d$
เมื่อ $-(v_{control}) < v_{tri}$: สวิตช์ T_{B-} จะนำกระแส $v_{BN} = 0$

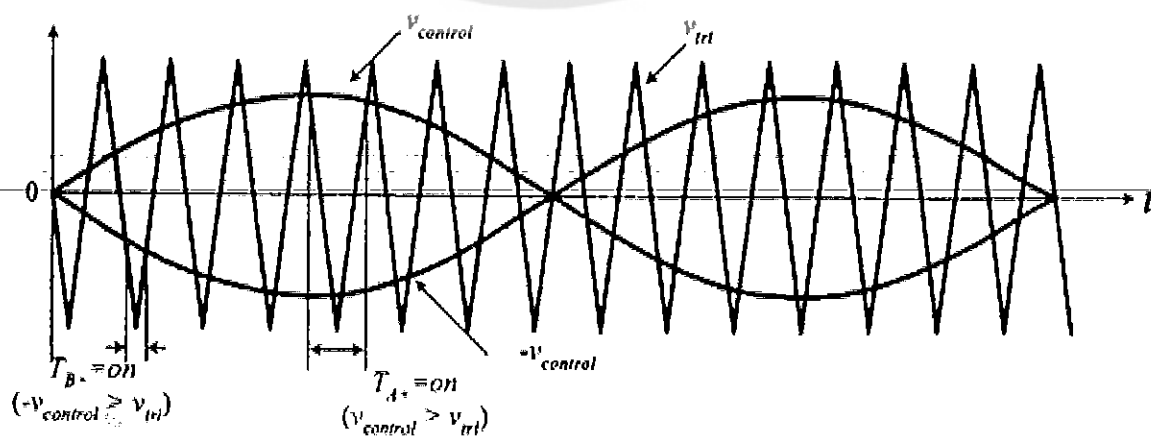
ตารางที่ 2.1 เมื่อนำในการสวิตชิ่งแรงดันไฟฟ้าเอาต์พุทของอินเวอร์เตอร์แบบบูนิโพลาร์

V

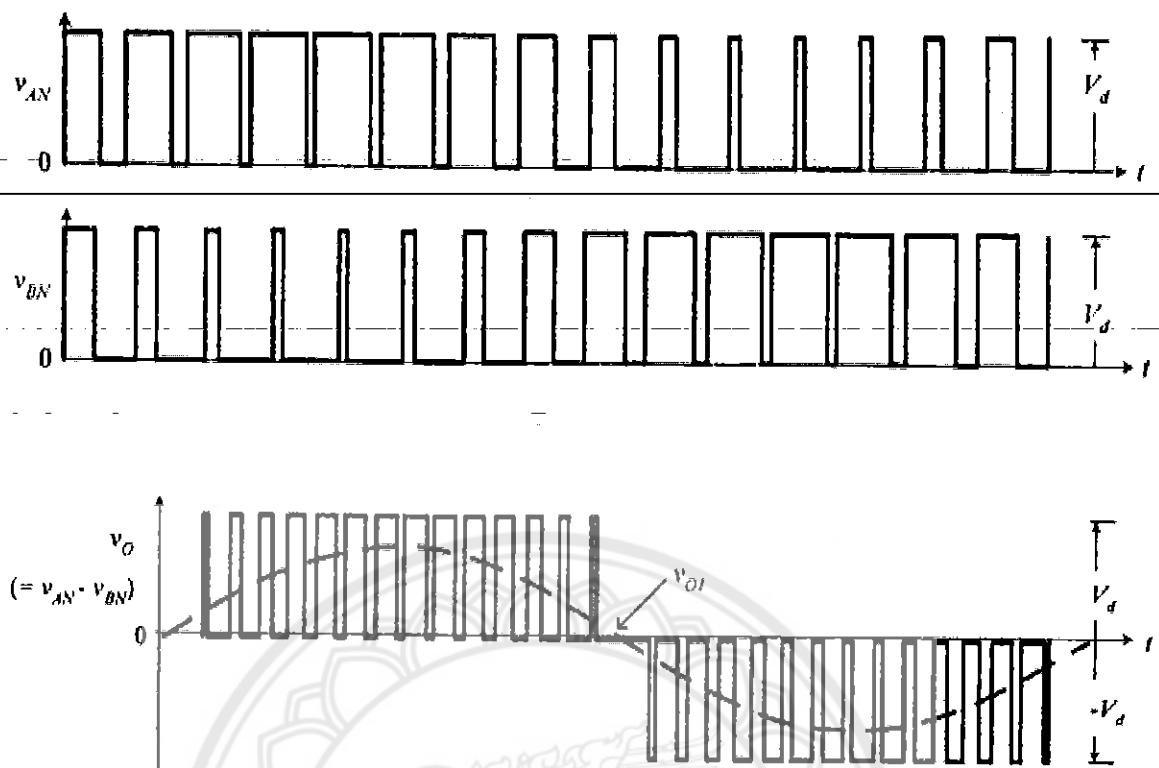
เงื่อนไข	สวิตช์นำกระแส	สวิตช์นำกระแส	v_{AN}	v_{BN}	v_o
1	T_{A+}	T_{B-}	V_d	0	V_d
2	T_{A-}	T_{B+}	0	V_d	$-V_d$
3	T_{A+}	T_{B+}	V_d	V_d	0
4	T_{A-}	T_{B-}	0	0	0

จากตารางที่ 2.1 การเปลี่ยนสถานะของแรงดันระหว่างสาย (v_o หรือ v_{ab}) จะเป็นการเปลี่ยนแปลงระดับแรงดันอยู่ระหว่างศูนย์ไปยังบวกหรือศูนย์ไปยังลบ จึงทำให้ไม่เกิดการเปลี่ยนแปลงระดับแรงดันจากการสวิตชิ่งสูง เช่น กรณีใบโพลาร์

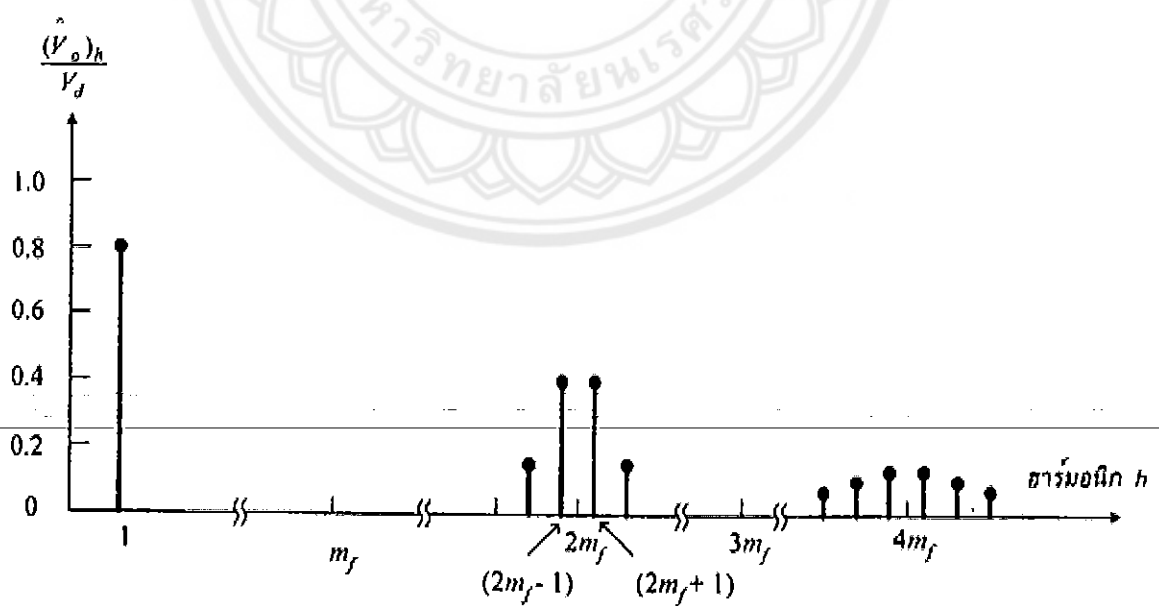
จุดเด่นของบูนิโพลาร์ ก็คือ การเกิดความถี่เอาต์พุทมีค่าเป็นสองเท่าของความถี่สวิตชิ่งของแต่ละเฟส เช่น ความถี่สวิตชิ่งของอุปกรณ์เป็น 10 kHz หากเป็นการทำงานแบบบูนิโพลาร์ ค่าแรงดันเอาต์พุทจะประกอบไปด้วยสัญญาณพื้นดับเบิลยูเอ็ม ที่มีความถี่หลักมูลและความถี่หาร์มนิคที่ 2 เท่าของแบบใบโพลาร์ที่ 20 kHz ซึ่งสอดคล้องกับหาร์มนิคスペกตรของรูปที่ 2.15 โดยเกิดความถี่ขึ้นรอบข้าง ผลของความถี่ที่โผล่คเพิ่มขึ้นเป็นสองเท่า ทำให้การออกแบบวงจรกรองความถี่ เล็ก ง่ายและประหยัด



))



รูปที่ 2.14 การสวิตชิ่งแรงดันไฟฟ้าแบบยูนิโพลาร์



รูปที่ 2.15 อาเร็มอนิคสเปกตรายของการสวิตชิ่งแรงดันไฟฟ้าแบบยูนิโพลาร์

เงื่อนไขในการสร้างแรงดันไฟฟ้าเอตพุทโดยรวม โดย (v_o) ดังแสดงในตารางที่ 2.1

ผลที่ได้จากเงื่อนไขการทำงานในตารางที่ 2.1 และรูปที่ 2.14 คือแรงดันไฟฟ้าเอตพุทมีการเปลี่ยนแปลงระหว่างแรงดันไฟฟ้าค่าบวกไปยังศูนย์และศูนย์ไปยังบวกในครึ่งคาน ส่วนอีกครึ่งคานจะมีแรงดันไฟฟ้าเอตพุทเปลี่ยนแปลงระหว่างแรงดันไฟฟ้าค่าลบไปยังศูนย์และจากศูนย์ไปยังลบ ซึ่งจากลักษณะการทำงานดังกล่าวจึงเรียกวิธีการสวิตชิ่งนี้ว่า ยูนิโพลาร์ ส่วนขนาดของแรงดันไฟฟ้าเอตพุทจะเท่ากันกับแบบในโพลาร์และเมื่อเปรียบเทียบข้อดี – ข้อเสียของการสวิตชิ่งทั้งสองแบบจะเป็นไปตามตารางที่ 2.2

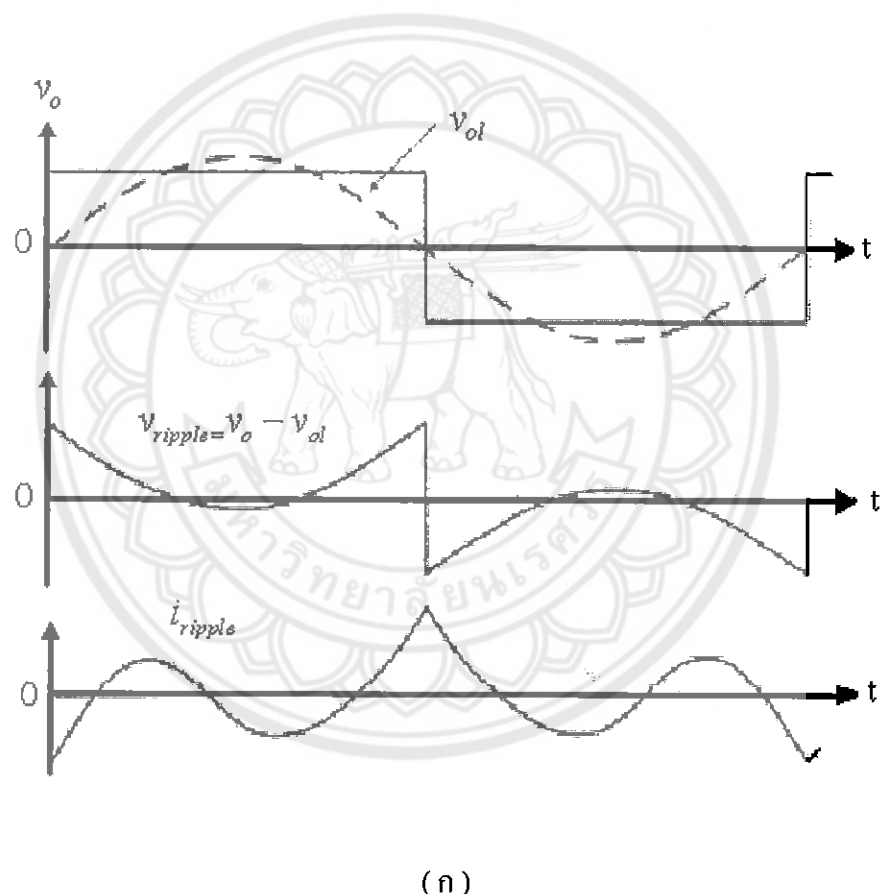
ตารางที่ 2.2 การเปรียบเทียบข้อดี – ข้อเสียของการสวิตชิ่งแรงดันไฟฟ้าแบบในโพลาร์กับยูนิโพลาร์

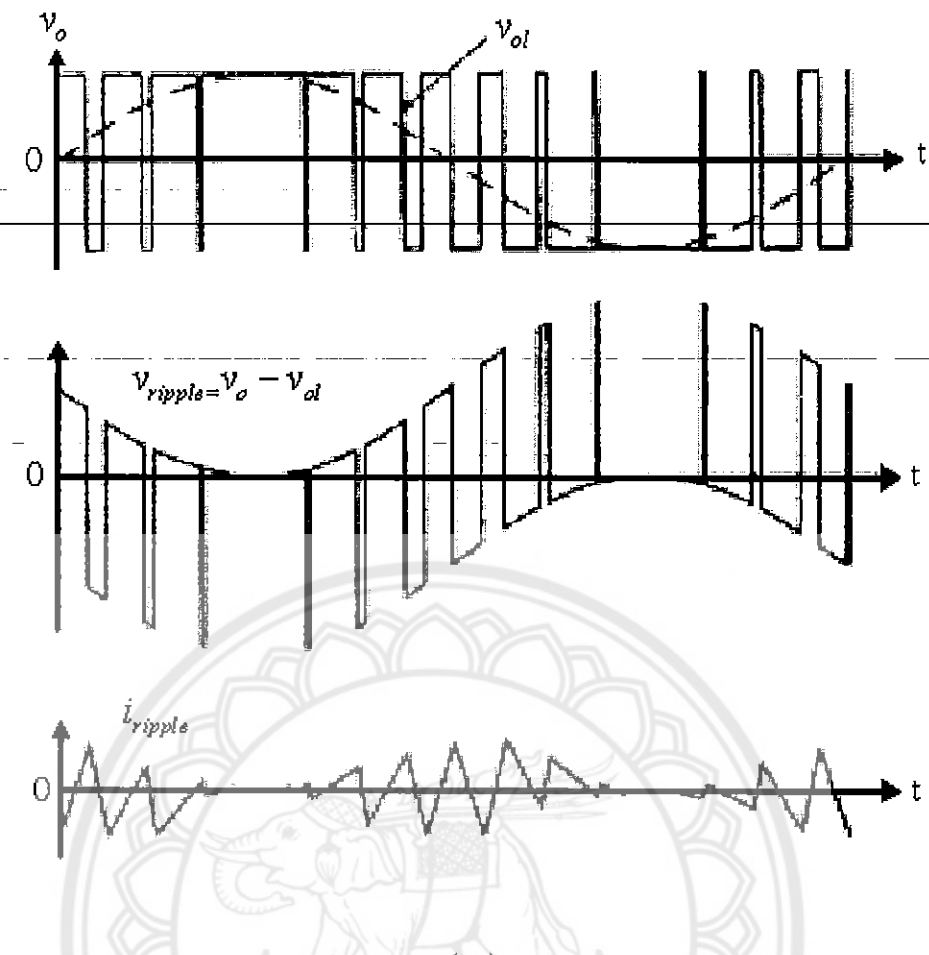
ประเด็น	ในโพลาร์	ยูนิโพลาร์
แรงดันไฟฟ้าเอตพุท (\hat{V}_{ol}), $m_a \leq 1.0$	$\hat{V}_{ol} = m_a V_d$	$\hat{V}_{ol} = m_a V_d$
แรงดันไฟฟ้าเอตพุท (\hat{V}_{ol}), $m_a > 1.0$	$V_d < \hat{V}_{ol} < \frac{4}{\pi} V_d$	$V_d < \hat{V}_{ol} < \frac{4}{\pi} V_d$
แรงดันไฟฟ้าเอตพุท (v_o)	$V_d \Leftrightarrow -(V_d)$	$V_d \Leftrightarrow 0$ $-(V_d) \Leftrightarrow 0$
ไซน์แบบชาร์มนิก	$m_f, 2m_f, 3m_f, \dots$	$m_f, 2m_f, 3m_f, \dots$
การกรองความถี่สูง	ดี	ดีมาก
การควบคุม	ง่าย	ซับซ้อน

ข้อเปรียบเทียบของทั้งสองเทคนิคนี้ คือ จะแตกต่างกันที่แรงดันไฟฟ้าเอตพุท ที่มีระดับการเปลี่ยนแปลงของยูนิโพลาร์จะมีแรงดันจากศูนย์ไปบวกหรือศูนย์ไปลบ และมีไซน์แบบที่ $2m_f, 4m_f, 6m_f, \dots$ ตามลำดับ ยูนิโพลาร์มีความถี่สวิตชิ่งสูงกว่าทำให้การกรองความถี่ทำได้ง่ายขึ้น เล็กและประยัดด

2.6.1 ค่าระลอกคลื่นของแรงดันไฟฟ้าเอาต์พุทของอินเวอร์เตอร์ไฟฟ้าเดี่ยว

จากรูปที่ 2.16 แสดงถึงตัวอย่างค่าระลอกคลื่นของแรงดันไฟฟ้าและกระแสไฟฟ้าเอาต์พุทของอินเวอร์เตอร์ที่มีการสวิตชิ่งแบบรูปรูปคลื่นสี่เหลี่ยมและแบบไบโพลาร์ โดยนิยามของค่าระลอกคลื่นของแรงดันไฟฟ้าคือแรงดันไฟฟ้าเอาต์พุทลงด้วยแรงดันไฟฟ้าเอาต์พุทของความถี่หลักนูด เช่น ในรูปที่ 2.16 จะสังเกตเห็นว่า ค่าระลอกคลื่นของกระแสไฟฟ้าเอาต์พุทของการสวิตชิ่งแบบรูปรูปคลื่นสี่เหลี่ยมจะมีค่ามากกว่าแบบไบโพลาร์ ซึ่งความต้องการในการออกแบบหรือการประยุกต์ใช้งานต้องการค่าระลอกคลื่นที่น้อยที่สุด





รูปที่ 2.16 ค่ากระแสคลื่นแรงดันไฟฟ้าและกระแสไฟฟ้าเอาต์พุทของอินเวอร์เตอร์เฟสเดียว (ก) การสวิตชิ่งแบบรูปคลื่นสี่เหลี่ยม (ข) การสวิตชิ่งแบบไบโพลาร์

2.7 ผลของเดดไทม์ต่อแรงดันไฟฟ้าเอาต์พุทของอินเวอร์เตอร์

ในทางปฏิบัติ ก็จะได้ ของอินเวอร์เตอร์ สวิตช์ตัวบนและสวิตช์ตัวล่างต้องไม่นำกระแสพร้อมกันดังนั้นจึงต้องการช่วงเวลาที่สวิตช์ทั้งคู่หยุดนำกระแสแลกก่อนที่สวิตช์จะเปลี่ยนสถานะ เพื่อป้องกันการถดถอยระหว่าง บัสบวกกับบัสลบ ซึ่งช่วงเวลานี้เรียกว่า **เดดไทม์** (dead time) หรือ blanking time) ซึ่งเวลาเดดไทม์ดังกล่าวจะต้องมีความเหมาะสม คือหากมีค่านานเกินไปอาจทำให้มีโอกาสในการเกิดการถดถอยได้ง่าย หรือถ้าหากมีค่ามากเกินไปก็อาจจะทำให้แรงดันไฟฟ้า เอาต์พุทของอินเวอร์เตอร์ผิดเพี้ยนไป

สวิตช์ที่มีความเร็วในการเปลี่ยนแปลงสถานะคือมีช่วงเวลาในการนำกระแสและเริ่มหยุดการนำกระแสสั้นๆ (เป็นหลักสิบของนาโนวินาที) เช่น สวิตช์ที่เป็นมอสเฟตจะมีค่าเดดไทม์น้อยๆ เช่น 1 – 2 นาโนวินาที ส่วนสวิตช์ที่เป็นไครสตอลจะต้องการค่าเดดไทม์ที่มากกว่าทั้งนี้เพราะช่วงเวลา

เริ่มน้ำกระแสและเริ่มหยุดนำกระแสที่มากกว่า ดังนั้นเดคไทร์จะขึ้นอยู่กับชนิดของสวิตช์สารกึ่งตัวนำที่เลือกใช้

ผลของเดคไทร์ต่อแรงดันไฟฟ้าอาจต่ำลงของอินเวอร์เตอร์ ดังที่แสดงอยู่ในรูปที่ 2.17 โดยรูปที่ 2.17 (ก) เป็นวงจรพูลบิริจ อินเวอร์เตอร์หนึ่งก่อนและรูปที่ 2.17 (ข) เป็นแรงดันความคุณภาพในอุบัติ รูปที่ 2.17 (ค) คือแรงดันความคุณภาพของสวิตช์ที่ขาดเชื่อมของเดคไทร์แล้ว ไม่มีหลักการง่าย ๆ คือ ควบคุมทุก ๆ ขาลงของแรงดันความคุณภาพให้คงที่และทุก ๆ ขาขึ้นให้หน่วงเวลาไปเท่ากับเดคไทร์ เพื่อไม่ให้สวิตช์ในกึ่งเดียวกันทำงานพร้อมกัน แรงดันไฟฟ้าที่เกิดขึ้นในช่วงเวลาเดคไทร์จะขึ้นอยู่กับทิศทางของกระแสโหลด กล่าวคือ

เมื่อกระแสโหลดไฟฟ้าที่โหลดเป็นบวก (i_A) มีทิศทางโหลดออกจากจุด A ในรูปที่ 2.17 (ง) หากโหลดเป็นโหลดความหนี้ยานำและตัวต้านทานร่วมกัน เมื่อ $i_A > 0$ ช่วงเวลาเดคไทร์ของแรงดันไฟฟ้าอาจต่ำลงจะมีค่าลดลง เพราะไดโอด D_{A-} จะนำกระแสทำให้ v_{AN} ลดลงเป็นศูนย์เฉพาะในช่วงเวลาเดคไทร์ ส่งผลให้ค่าแรงดันเฉลี่ยของ v_{AN} ลดลง

เมื่อกระแสไฟฟ้าที่โหลดเป็นลบ (i_A) มีทิศทางการโหลดเข้าหาจุด A ในรูป 2.17 (จ) เมื่อ $i_A < 0$ ช่วงเวลาเดคไทร์แรงดันไฟฟ้าอาจต่ำลงจะมีค่าเพิ่มขึ้น เพราะไดโอด D_{A+} จะนำกระแสทำให้ v_{AN} มีค่าเป็น $+v_d$ เกาะในช่วงเวลาเดคไทร์ ทำให้ค่าแรงดันไฟฟ้าเฉลี่ยของ v_{AN} มีค่าเพิ่มขึ้น

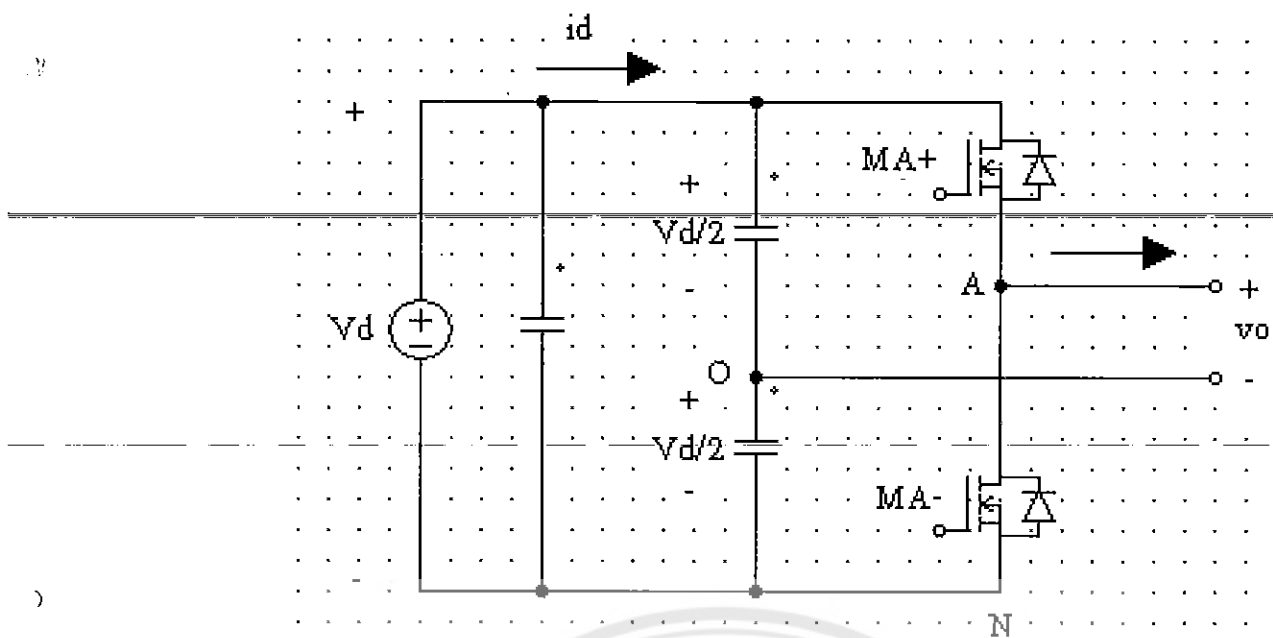
ค่าแรงดันไฟฟ้าผิดเพี้ยนจะเท่ากับแรงดันไฟฟ้าในอุบัติคิดด้วยแรงดันไฟฟ้าที่เกิดขึ้นจริง เช่นที่เกิดขึ้นในรูปที่ 2.18 และมีค่าดังสมการที่ 2.10 และ 2.11 ซึ่งสามารถสรุปได้ว่าถ้าค่าเดคไทร์มากมีผลทำให้แรงดันไฟฟ้าอาจต่ำลงของอินเวอร์เตอร์ผิดเพี้ยนไป

$$v_e = (v_{AO})_{ideal} - (v_{AO})_{actual} \quad (2.10)$$

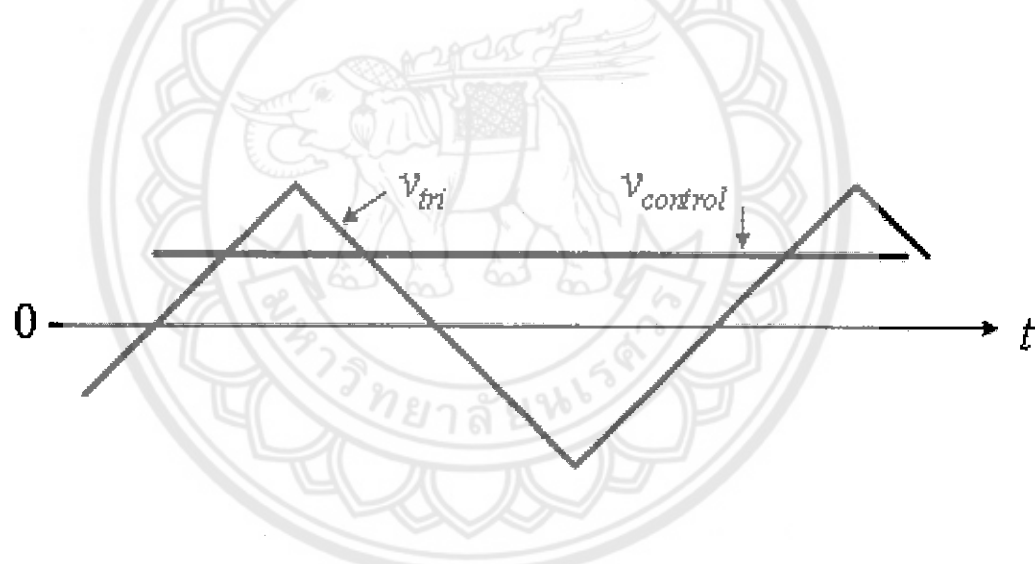
$$v_e = \pm \frac{2 \cdot (deadtime)}{T_s} \cdot V_d \quad (2.11)$$

ข้อดีของเดคไทร์คือการทำหน้าที่ป้องกันการลัดวงจรระหว่างบัสนาวิกับบัสลบ แต่หากมีค่าเดคไทร์มากเกินไป ก็จะมีผลต่อรูปคลื่นสัญญาณอาจต่ำลง โดยขึ้นอยู่กับทิศทางการโหลดของกระแสโหลด

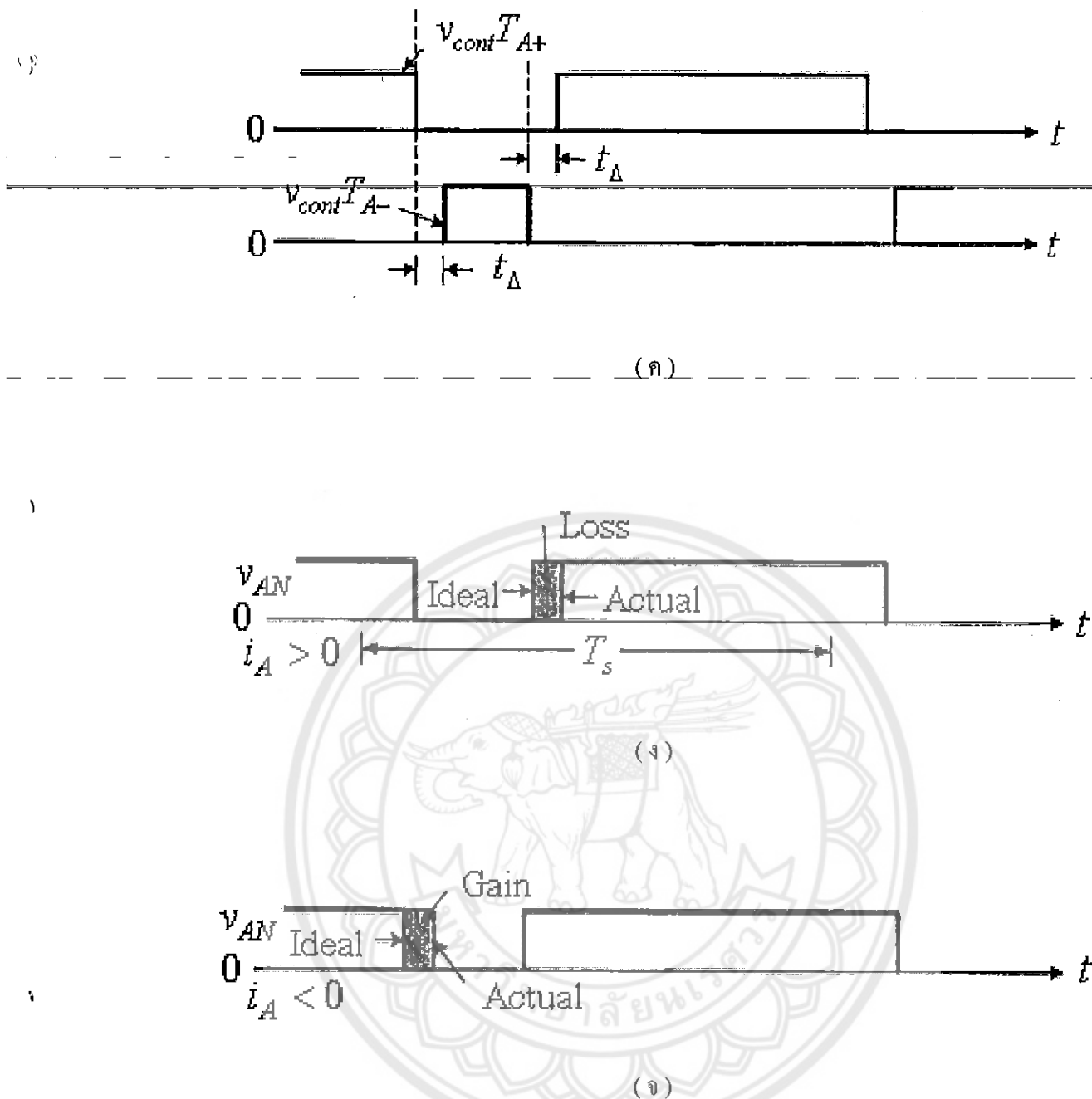
จึงสามารถสรุปข้อเสียของเดคไทร์ได้คือการเกิด harmonic อนิคที่ความถี่รอบข้างความถี่สวิตช์และเกต ความถี่หาร์มอนิคที่ความถี่ต่ำ ๆ อันจะเป็นผลเสียต่อสมรรถนะของอินเวอร์เตอร์



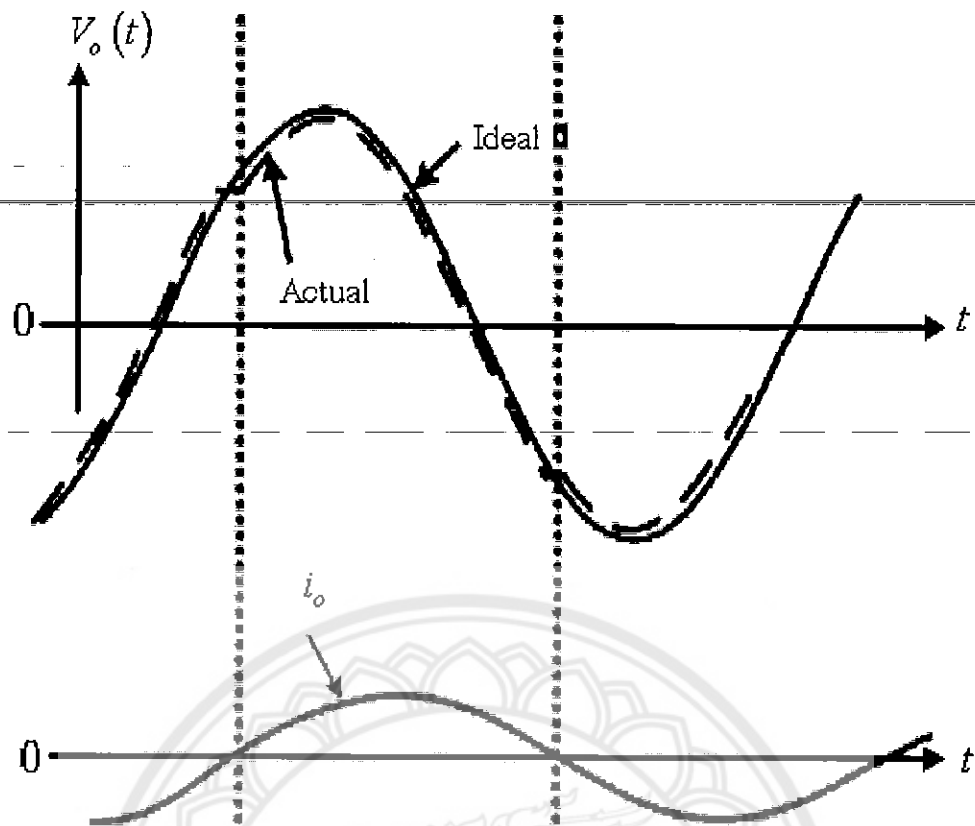
(n)

 $v_{control} T_{A+(ideal)}$  $v_{control} T_{A-(ideal)}$ 

(v)

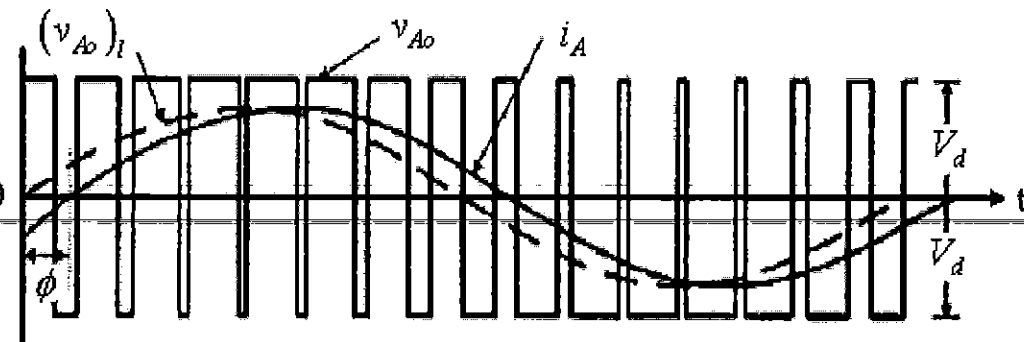


รูปที่ 2.17 ผลของเดคไทม์ที่มีต่อแรงดันไฟฟ้าเอาต์พุทของอินเวอร์เตอร์

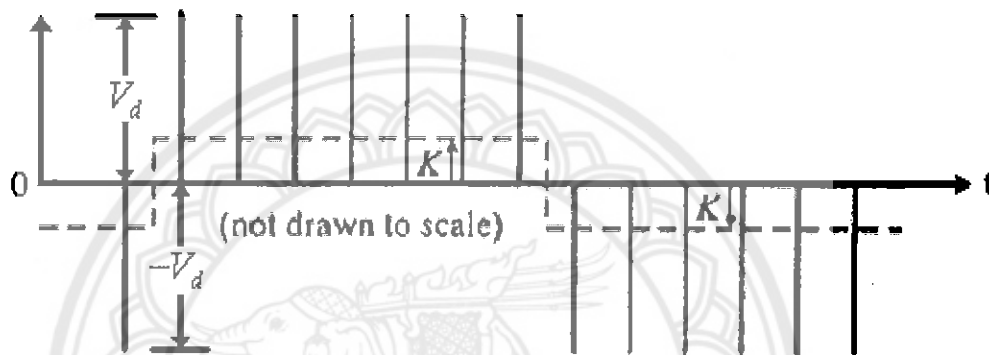


รูปที่ 2.18 ผลของเดดไทม์ต่อแรงดันไฟฟ้าเอาต์พุตรูปไซน์

เมื่อคลื่นรูปไซน์ในอุณหภูมิจะเป็นเส้นทึบและคลื่นรูปไซน์ในทางปฏิบัติจะเป็นเส้นประ ดังแสดงในรูปที่ 2.18 ซึ่งแสดงให้เห็นว่าช่วงเวลาที่กระแสเป็นบวกดังแสดงในรูปที่ 2.19 (ก) คลื่นรูปไซน์เส้นประจะลดลงจากเส้นทึบ ในขณะที่ช่วงเวลาที่กระแสเป็นลบ รูปคลื่นไซน์เส้นประมากกว่าเส้นทึบ เปรียบเหมือนการนำค่าเฉลี่ยรูปคลื่นสี่เหลี่ยมมาลบออกจากกรูปคลื่นในอุณหภูมิเมื่อกระแสเป็นบวก และเหมือนการนำค่าเฉลี่ยรูปคลื่นสี่เหลี่ยมมาบวกเพิ่มเข้าไปในรูปคลื่นในอุณหภูมิเมื่อกระแสเป็นลบ ค่าแรงดันไฟฟ้าคิดเพิ่นจะเท่ากับแรงดันไฟฟ้าในอุณหภูมิคงด้วยแรงดันไฟฟ้าที่เกิดขึ้นจริงดังที่เกิดขึ้นในรูปที่ 2.19 (ข)



(ก)



(ข)

รูปที่ 2.19 ค่าแรงดันไฟฟ้าผิดเพี้ยนเคลื่อนจากผลของเดค ไทน์

2.8 มอสเฟตกำลัง (Metal – Oxide Semiconductor Field – Effect Transistor)

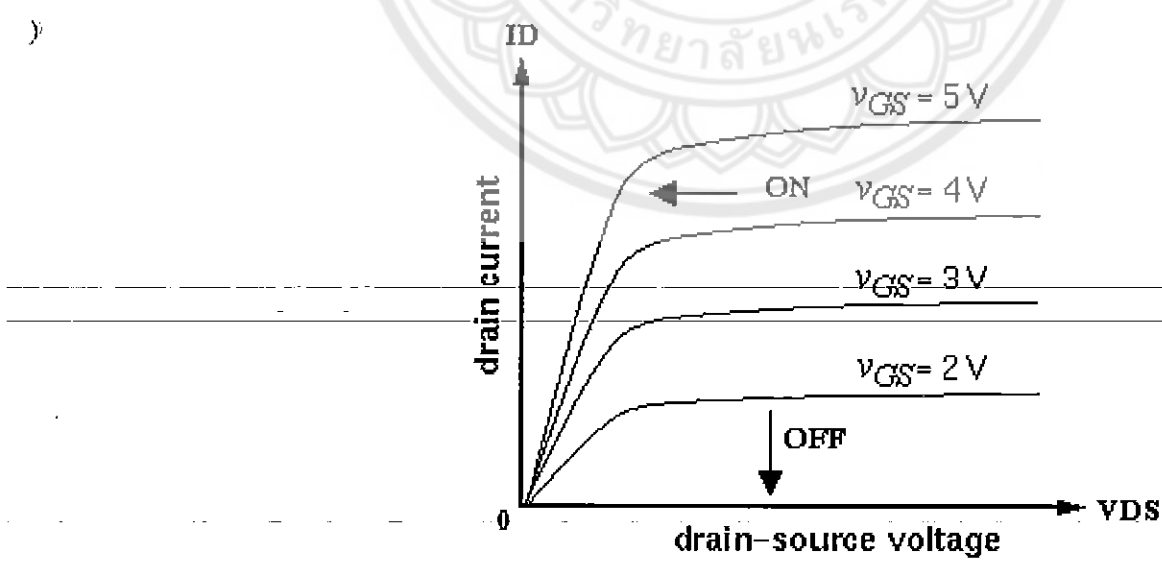
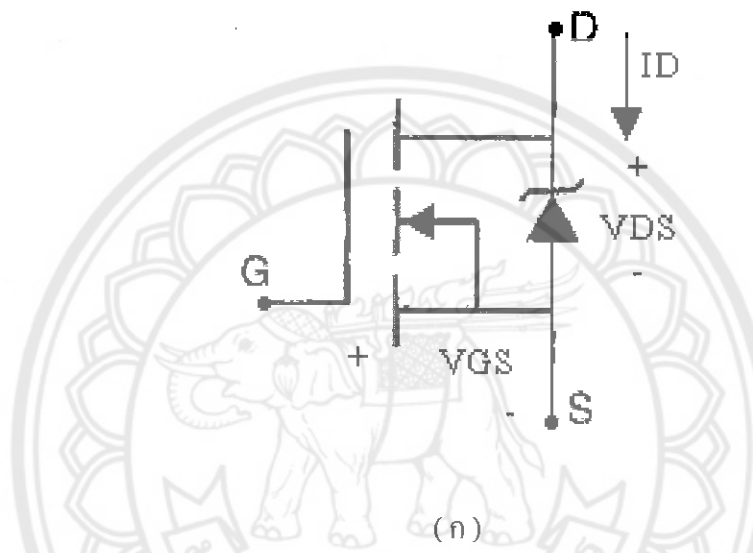
มอสเฟตกำลัง (Metal – Oxide Semiconductor Field – Effect Transistor : MOSFET) ที่ใช้กันในอิเล็กทรอนิกกำลัง กรณีมอสเฟตกำลังชนิดเอ็นชานแนล (N - channel) จากรูปที่ 2.20 ก – ค แสดงถึงสัญลักษณ์ของมอสเฟตกำลัง คุณลักษณะของกระแสไฟฟ้าและแรงดันไฟฟ้าจะสภาวะอยู่ด้วย และคุณลักษณะของกระแสไฟฟ้าและแรงดันไฟฟ้าในอุบัติความติดตามลำดับ

เมื่อต้องการให้มอสเฟตกำลังนำกระแสอย่างต่อเนื่อง จะต้องทำการป้อนแรงดันไฟฟ้าระหว่างขาเกตกับขาซอร์ส (v_{GS}) อย่างต่อเนื่อง ช่วงเวลาการสวิตช์ของมอสเฟตกำลังจะมีค่าอยู่ระหว่างหลักสิบของนาโนวินาทีถึงร้อยนาโนวินาทีซึ่งจะขึ้นอยู่กับชนิดและขนาดพิกัดของมอสเฟตกำลัง

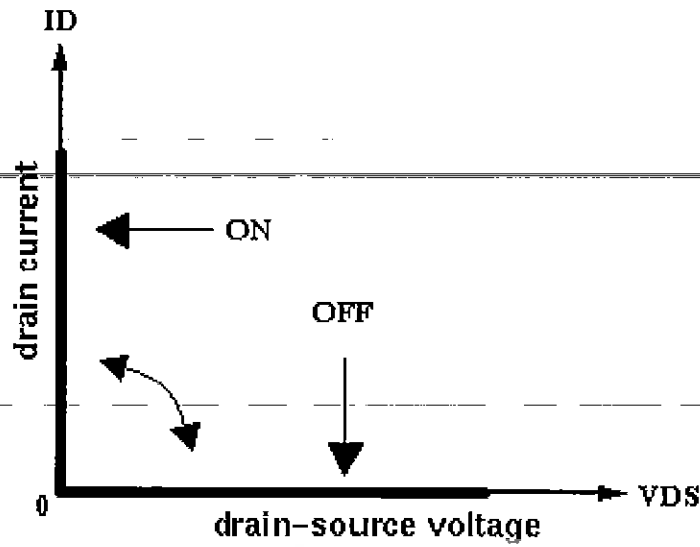
ความต้านทานระหว่างขาเดренกับขาซอร์ส $R_{DS(on)}$ จะขึ้นอยู่กับพิกัดการทำงานของแรงดันไฟฟ้าหากทันแรงดันไฟฟ้าໄດ้สูงก็ยิ่งทำให้ค่าความต้านทานระหว่างขาเดренกับขาซอร์สมีค่ามากขึ้น ซึ่งจะมีผลต่อกำลังไฟฟ้าสูญเสียจากการนำกระแส (condition losses) เช่น มอสเฟตกำลังมีค่า

พิกัดการทำงานของแรงดันไฟฟ้า 1,000 โวลต์ จะมีค่าความด้านทานระหว่างขาเดรนกับขาซอร์มากกว่า mosfet กำลัง มีค่าพิกัดการทำงานของแรงดันไฟฟ้า 200 โวลต์ ดังนั้นการสูญเสียจากการนำกระแสของ mosfet กำลังที่ทันแรงดันไฟฟ้าได้ 1,000 โวลต์ จะมีกำลังไฟฟ้าสูญเสียที่เกิดจากการนำกระแสมากกว่าของ mosfet กำลังที่ทันแรงดันไฟฟ้าได้ 200 โวลต์

ความด้านทานระหว่างขาเดรนกับขาซอร์ของ mosfet กำลัง จะมีค่าต่ำประสิทธิ์ของอุณหภูมิ เป็นบวก คือเมื่ออุณหภูมิเพิ่มขึ้นความด้านทานก็จะมากขึ้น mosfet กำลังสามารถนำมาต่อขนาดกันได้ จ่ายหากต้องการใช้งานที่ต้องการกระแสไฟฟ้าสูงขึ้น ทั้งนี้ mosfet กำลังจะต้องมีคุณสมบัติต่าง ๆ เหมือนกันมากที่สุดจึงจะสามารถนำมาต่อขนาดกันได้



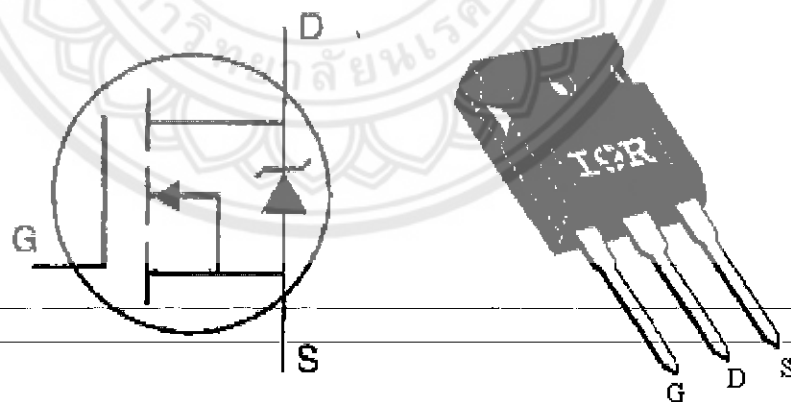
(ข)



(ก)

รูปที่ 2.20 นิยามสเปคกำลัง (ก) สัญลักษณ์ (ข) คุณลักษณะของกระแสไฟฟ้าและแรงดันไฟฟ้าขณะสภาวะอยู่ตัว (ค) คุณลักษณะของกระแสไฟฟ้าและแรงดันไฟฟ้าในอุณหภูมิ

ในปัจจุบันนิยามสเปคกำลังมีค่าพิเศษการทำงานของแรงดันไฟฟ้าได้มากกว่า 1,000 โวลต์ แต่มีพิกัดกระแสไฟฟ้าไม่เกิน 100 แอมป์ร์ แต่จุดเด่นของนิยามสเปคกำลังคือความถี่ของการสวิตช์มีค่ามากถึงหลักหลายร้อยกิโลเฮิรตซ์ สำหรับรูปร่างโดยทั่วไปของนิยามสเปคกำลังแสดงดังรูปที่ 2.21



รูปที่ 2.21 ภาพสัญลักษณ์ของ MOSFET แบบ N – Channel

บทที่ 3

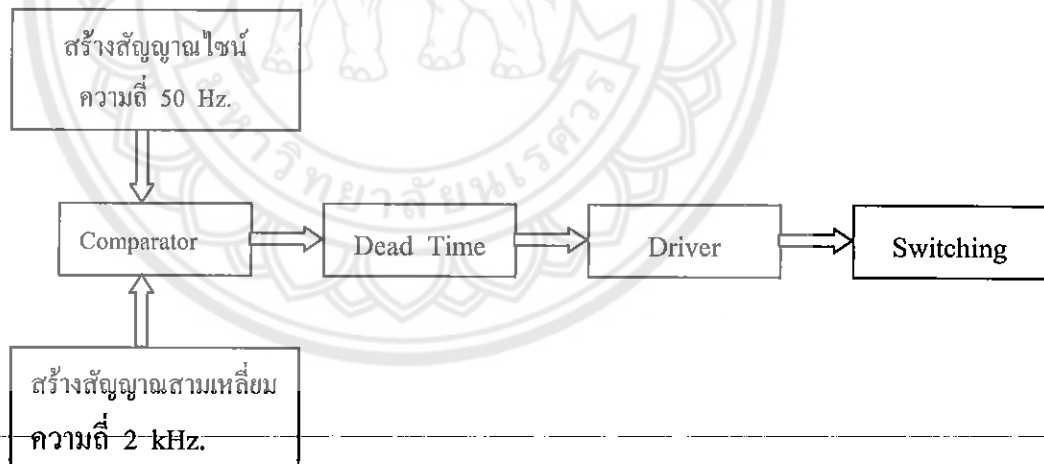
ขั้นตอนการออกแบบและวิเคราะห์สัญญาณ

ในการออกแบบวงจรนี้ เราได้ทำการทดลองในบอร์ดทดลองก่อนเพื่อคุณลักษณะของสัญญาณต่างๆ ก่อนที่จะนำอุปกรณ์ในส่วนต่างๆ มาทำประกอบลงบนแผ่น PCB เพื่อทำการทดลองจริง

3.1 ขั้นตอนในการดำเนินงานออกแบบวงจร

- ศึกษาและทำการออกแบบวงจรสร้างรูปคลื่นสามเหลี่ยม ที่สามารถปรับความถี่ได้ $20 \text{ Hz} - 20 \text{ kHz}$
- ศึกษาและทำการออกแบบวงจรสร้างรูปคลื่นไอน์ความถี่ 50 Hz สามารถปรับค่าแอมป์ริจูดได้
- ศึกษาและทำการออกแบบวงจร Comparator
- ศึกษาและทำการออกแบบวงจร Dead Time
- ศึกษาและทำการออกแบบวงจร Driver
- ศึกษาและทำการออกแบบแหล่งจ่ายไฟ

3.2 บล็อกไซด์แกรนและการทำงานของวงจรควบคุม



รูปที่ 3.1 บล็อกไซด์แกรนการทำงานของวงจรอิเล็กทรอนิกส์

จากบล็อกไซด์แกรนเราจะทำการสร้างสัญญาณควบคุม PWM โดยใช้สัญญาณรูปคลื่นไอน์ มาเปรียบเทียบกับรูปคลื่นสามเหลี่ยม โดยสัญญาณที่ได้สามารถปรับค่าความถี่และแอมป์ริจูดได้ หลังจากนั้นจะนำสัญญาณที่ได้ไปเข้าวงจรเดคไทม์เพื่อหน่วงเวลาการทำงานไม่ให้เกิดการซื้อขายของ

มอสเฟตในกิ่งเดียวกัน หลังจากนั้นจะนำสัญญาณไปเข้าวงจรขับเกต เพราะสัญญาณที่ออกจากระบบไม่สามารถที่จะขับมอสเฟตได้โดยตรง เราจึงต้องนำสัญญาณจากวงจรเดคไทม์ไปเข้าวงจรขับเกตก่อนที่จะนำสัญญาณควบคุมไปทำการสวิตช์มอสเฟต

3.3 การวิเคราะห์ประสาทชีวภาพและคุณภาพของรูปคลื่นสัญญาณ

การวิเคราะห์ในเรื่องของดัชนีที่ใช้วิเคราะห์ประสาทชีวภาพของรูปคลื่นสัญญาณເອົາຕີພູທັງແຮງດັນ และกระแสที่ใช้ในโครงงานนี้จะใช้ทฤษฎีของอนุกรมฟูเรียร์ซึ่งเป็นอนุกรมที่สามารถใช้วิเคราะห์รูปคลื่นสัญญาณที่ไม่ใช่รูปคลื่นสัญญาณไซน์ได้

ซึ่งจะสามารถเขียนให้อยู่ในอนุกรมฟูเรียร์ได้ดังนี้

โดยฟังก์ชัน $f(t)$ ที่ว่าไปสามารถเขียนอธิบายได้ในรูปการกระจายของความสัมพันธ์ของฟังก์ชันให้เข้าใจได้อย่างง่ายขึ้นดังนี้

$$f(t) = a_0 + \sum_{n=1}^{\infty} [a_n \cos(n\omega_0 t) + b_n \sin(n\omega_0 t)] \quad (3.1)$$

$$_0(t) = V_0(t+T)$$

$$\omega_0 = \frac{2\pi}{T} = 2\pi f$$

$$_0(\omega_0 t) = V_0(\omega_0 t + 2\pi)$$

$$_0(t) = \frac{a_0}{2} + \sum_{n=1,2,\dots}^{\infty} (a_n \cos n\omega_0 t + b_n \sin n\omega_0 t)$$

เมื่อ

$$a_0 = \frac{1}{T} \int_{-\frac{T}{2}}^{\frac{T}{2}} f(t) dt$$

หรือ

$$a_0 = \frac{1}{\pi} \int_0^{2\pi} V_0(\omega_0 t) d(\omega_0 t)$$

$$a_n = \frac{2}{T} \int_{-\frac{T}{2}}^{\frac{T}{2}} f(t) \cos(n\omega_0 t) d\omega_0 t$$

หรือ

$$a_n = \frac{2}{\pi} \int_0^{2\pi} V_0(\omega_0 t) \cos(n\omega_0 t) d\omega_0 t$$

หรือ

$$b_n = \frac{2}{T} \int_{-\frac{T}{2}}^{\frac{T}{2}} f(t) \sin(n\omega_0 t) dt$$

$$b_n = \frac{1}{\pi} \int_0^{2\pi} V_0(\omega_0 t) \sin(n\omega_0 t) d\omega_0 t$$

ในส่วนของค่า a_n และ b_n จะเป็นค่าสัมประสิทธิ์ขององค์ประกอบไนน์และโคลาโซน์ตามลำดับซึ่งจากการรวมสมการทางคณิตศาสตร์ จะสามารถเขียนเป็นสมการได้อีกรูปแบบหนึ่งดังสมการ

$$f(t) = a_0 + \sum_{n=1}^{\infty} [c_n \cos(n\omega_0 t + \theta_n)] \quad (3.3)$$

$$a_n \cos n\omega_0 t + b_n \sin n\omega_0 t = \sqrt{(a_n^2 + b_n^2)} \left[\frac{a_n}{\sqrt{(a_n^2 + b_n^2)}} \cos n\omega_0 t + \frac{b_n}{\sqrt{(a_n^2 + b_n^2)}} \sin n\omega_0 t \right]$$

$$a_n \cos n\omega_0 t + b_n \sin n\omega_0 t = \sqrt{(a_n^2 + b_n^2)} [\sin \phi_n \cos n\omega_0 t + \cos \phi_n \sin n\omega_0 t] = \sqrt{(a_n^2 + b_n^2)} \sin(n\omega_0 t + \phi_n)$$

$$C_n = \sqrt{(a_n^2 + b_n^2)} \quad (3.4)$$

$$\theta_n = \tan^{-1} \left(\frac{a_n}{b_n} \right)$$

เมื่อเรานำสมการข้างต้นไปวิเคราะห์รูปคลื่นสัญญาณจะได้ค่าดัชนีต่าง ๆ ซึ่งได้แสดงดังตารางที่ 3.1

ตารางที่ 3.1 นิยามดัชนีและค่าปริมาณที่กำหนดคุณสมบัติและคุณภาพของรูปคลื่นสัญญาณเอาต์พุท

ค่า	ดัชนี
THD_v	$100 \times \sqrt{\left(\sum_{n=1}^{\infty} V_n^2 \right)} / V_1$
THD_i	$100 \times \sqrt{\left(\sum_{n=1}^{\infty} I_n^2 \right)} / I_1$
V_{1rms}	$\frac{V_{peak}}{\sqrt{2}}$
V_{2rms}	$\sqrt{\left(\sum_{n=1}^{\infty} V_n^2 \right)}$
I_{1rms}	$\frac{I_{peak}}{\sqrt{2}}$
I_{2rms}	$\sqrt{\left(\sum_{n=1}^{\infty} I_n^2 \right)}$
DF_1	$100 \times \sqrt{\left(\sum_{n=1}^{\infty} \frac{V_n^2}{n^2} \right)} / V_1$
DF_2	$100 \times \sqrt{\left(\sum_{n=1}^{\infty} \frac{I_n^2}{n^4} \right)} / I_1$

เมื่อ V_n^2 คือ ขนาดของแรงดันไฟฟ้าที่มีลำดับหารอนิกลำดับที่ n (r.m.s.)

I_n^2 คือ ขนาดของกระแสไฟฟ้าที่มีลำดับหารอนิกลำดับที่ n (r.m.s.)

THD_v คือ ค่า Total Harmonic distortion ของแรงดันไฟฟ้า

THD_i คือ ค่า Total Harmonic distortion ของกระแสไฟฟ้า

DF_1 คือ ค่า Distortion Factor ด้านกระแสลับของฟิลเตอร์ลำดับที่ 1

DF_2 คือ ค่า Distortion Factor ด้านกระแสลับของฟิลเตอร์ลำดับที่ 2

3.4 ค่า Total Harmonic Distortion (THD)

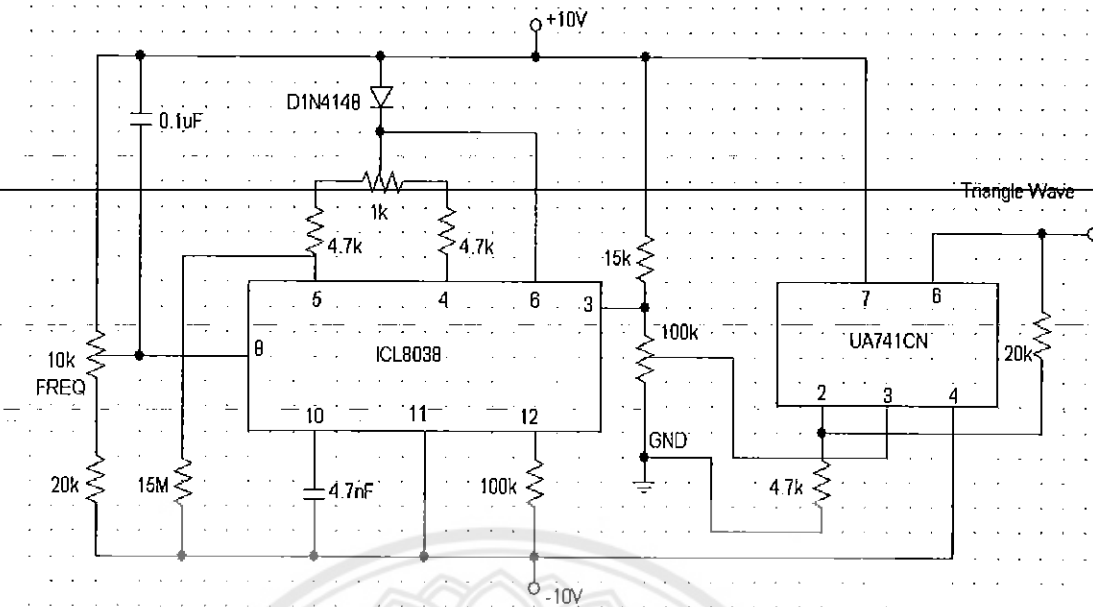
ค่า THD ของทั้งแรงดันไฟฟ้า (THD_v) และของกระแสไฟฟ้า (THD_i) เป็นค่านี้ที่ใช้ในการบ่งชี้คุณภาพของความผิดเพี้ยนของรูปคลื่นสัญญาณเอาต์พุทที่แตกต่างจากองค์ประกอบของแรงดันไฟฟ้าและกระแสไฟฟ้าที่ความถี่หลักมูลซึ่งในกราฟหาค่า THD นี้จะต้องอาศัยการวิเคราะห์โดยใช้ทฤษฎีฟูเรียร์ เพื่อวิเคราะห์หาองค์ประกอบของความถี่หลักมูลและหาร์มอนิกของรูปคลื่นสัญญาณเอาต์พุท จึงจะสามารถนำไปแทนค่าในสมการและคำนวณหาค่าอุกมาได้เป็นเบอร์เซ็นต์ THD ซึ่งหากค่าที่คำนวณอุกมาได้นี้มีค่านากแสดงว่ารูปคลื่นสัญญาณเอาต์พุทมีความผิดเพี้ยนมาก

3.5 ค่า r.m.s. ขององค์ประกอบของความถี่หลักมูล

ค่า r.m.s. ขององค์ประกอบของความถี่หลักมูลทั้งของแรงดันไฟฟ้า (V_{rms}) และของกระแสไฟฟ้า (I_{rms}) เป็นค่าระดับแรงดันไฟฟ้าและกระแสไฟฟ้า r.m.s. ที่ความถี่หลักมูลซึ่งเป็นความถี่ที่ใช้งานของอุปกรณ์ที่ต่อเข้ากับอินเวอร์เตอร์ ซึ่งองค์ประกอบนี้จะเป็นองค์ประกอบที่สร้างกำลังไฟฟ้าและเป็นองค์ประกอบที่ต้องการใช้งานโดยที่ค่า r.m.s. ของแรงดันไฟฟ้า (V_{rms}) และกระแสไฟฟ้า (I_{rms}) เอาต์พุทเป็นค่าระดับแรงดันไฟฟ้าและกระแสไฟฟ้า r.m.s. ของสัญญาณเอาต์พุท ซึ่งเป็นผลรวมขององค์ประกอบทุกตัวทั้งความถี่หลักมูลและหาร์มอนิก

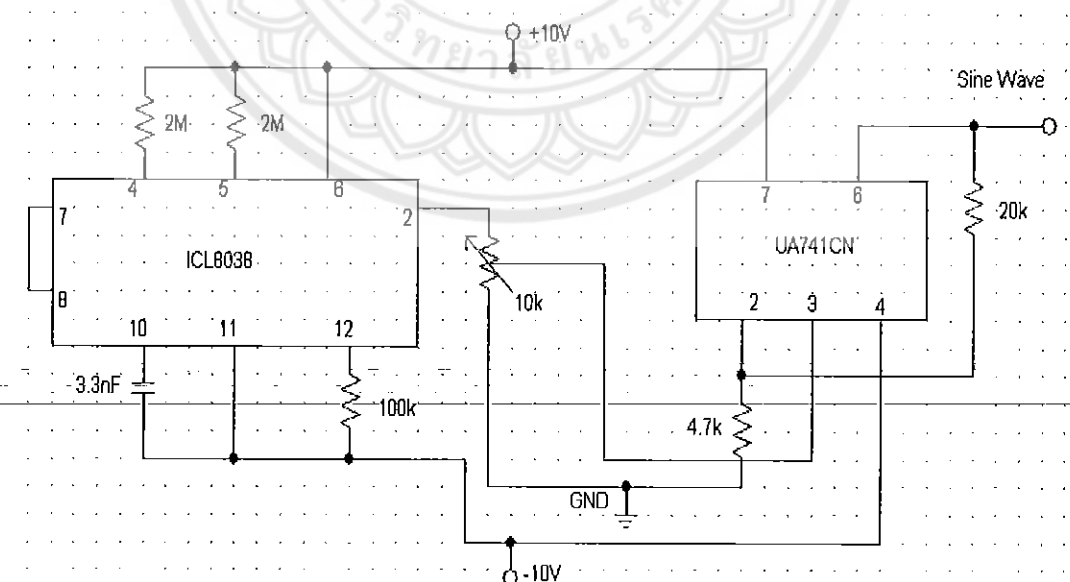
3.6 ค่า Distortion Factor (DF)

สำหรับค่า DF_2 ที่ได้บินามในโครงการนี้เป็นค่า Distortion Factor ที่มีตัวลดตอนสัญญาณขนาดเท่ากับ h^2 เมื่อ h เป็นลำดับของหาร์มอนิก โดยที่ค่านี้จะใช้ในการวิเคราะห์ความผิดเพี้ยนของรูปคลื่นสัญญาณเมื่อต่อ กอ.ลดให้เข้ากับอินเวอร์เตอร์ ลำดับที่ 2 (Second – order Filter) ตัวอย่างเช่น แหล่งจ่ายกระแสไฟฟ้าแบบต่อเนื่อง (UPS) ส่วนมากมักมีการต่อวงจรฟิลเตอร์ LC ลำดับที่ 2 อยู่ระหว่างชุดอินเวอร์เตอร์กับโหลด ซึ่งฟิลเตอร์ดังกล่าวจะส่งผลต่อการลดตอนหาร์มอนิกโดยจะแบร์ผันตามกำลังสองของลำดับหาร์มอนิก (h) ในท่านองเดียวกันสำหรับโหลดชนิดฟิลเตอร์ลำดับที่ 1 เช่น มอร์เตอร์เนื่องจากจะมีกระแสสัมภาระซึ่งจะมีอินคัคแทนซ์ที่ตัวอิมเพเดนซ์และลีคเกจ อินคัคแทนซ์เหล่านี้เปรียบเสมือนกับการลดตอนสัญญาณหาร์มอนิกโดยแบร์ผันตามลำดับของหาร์มอนิก (h) ดังนั้นในการวิเคราะห์ความผิดเพี้ยนของรูปคลื่นสัญญาณจึงใช้ค่า DF_1



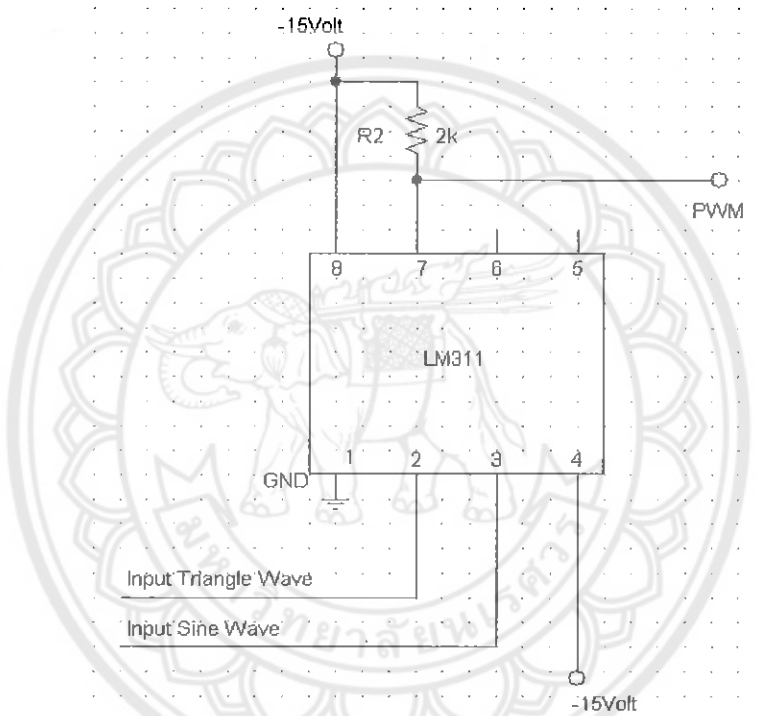
รูปที่ 3.2 วงจรที่ใช้ในการสร้างรูปคลื่นสามเหลี่ยม

จากรูปที่ 3.2 ICL8038 ทำหน้าที่ในการสร้างสัญญาณรูปคลื่นสามเหลี่ยม โดยมีค่าความต้านทาน $10\text{ k}\Omega$ ที่ใช้ในการปรับความถี่ สัญญาณ Output จะออกจากขา 3 ของ ICL8038 ก่อนจะทำการแปลงสัญญาณพัลส์ให้เป็นแบบ AC โดยใช้ op-amp เมอร์ UA741CN



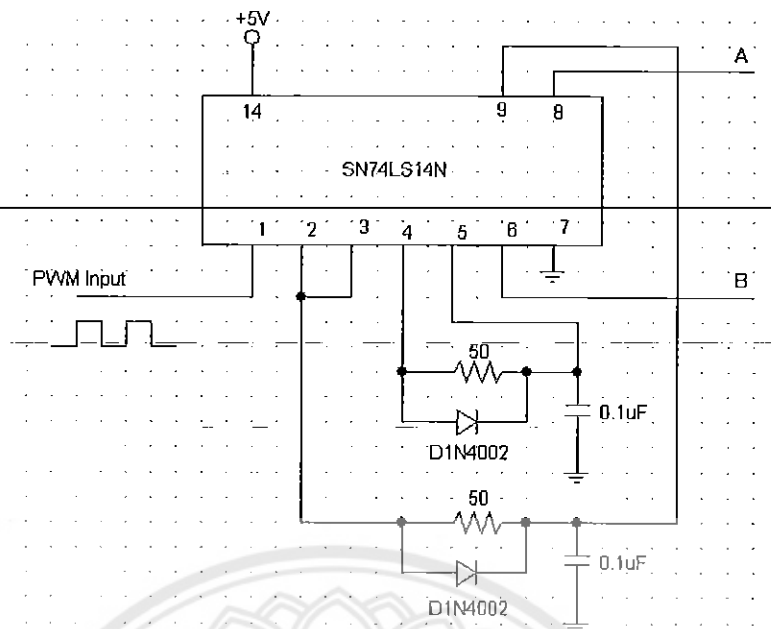
รูปที่ 3.3 วงจรที่ใช้ในการสร้างรูปคลื่นไอน์

จากรูปที่ 3.3 ICL8038 ทำหน้าที่ในการสร้างสัญญาณรูปคลื่นไอน์ โดยที่ความถี่ของสัญญาณสามารถคำนวณจาก $f = \frac{0.33}{RC}$ โดยที่ R คือค่าความต้านทานขา 4 และ 5 ต่อ C คือ ค่าตัวเก็บประจุที่ขา 10 จากรูปเราทำการต่อความต้านทานขนาด $2M\Omega$ และ ตัวเก็บประจุขนาด $3.3 nF$ เมื่อแทนค่าในสูตรจะได้ความถี่ไอน์เท่ากับ $\frac{0.33}{2 \times 10^6 \times 3.3 \times 10^{-9}} = 50Hz$. ก่อนจะนำสัญญาณที่ได้ไปเข้า Op-Amp เบอร์ UA741CN เพื่อให้สัญญาณ Output เป็นพัลส์แบบ AC และสามารถปรับค่าแอมป์จุได้



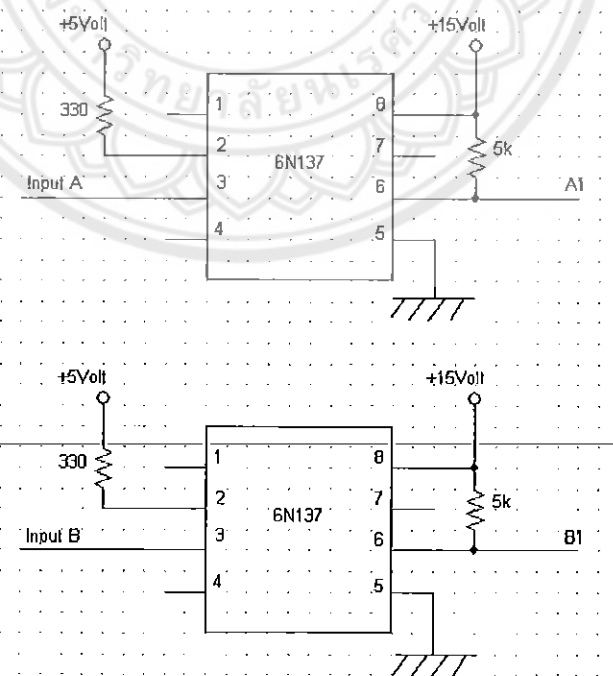
รูปที่ 3.4 วงจรที่ใช้ในการสร้างสัญญาณ PWM

จากรูปที่ 3.4 เมื่อได้สัญญาณรูปคลื่นสามเหลี่ยมและไอน์แล้ว เราจะนำสัญญาณที่ส่องมาทำการเปรียบเทียบกัน ซึ่งใช้ LM311 ในการเปรียบเทียบสัญญาณที่ส่อง ซึ่งจะได้ Output ที่ออกมากในลักษณะของพัลส์แบบ DC ที่สามารถปรับค่าความถี่และ Duty Cycle ได้ตามสัญญาณรูปคลื่นสามเหลี่ยมและไอน์ โดยที่สัญญาณ Output จะมีค่าสูงสุดประมาณ 15 Volt.

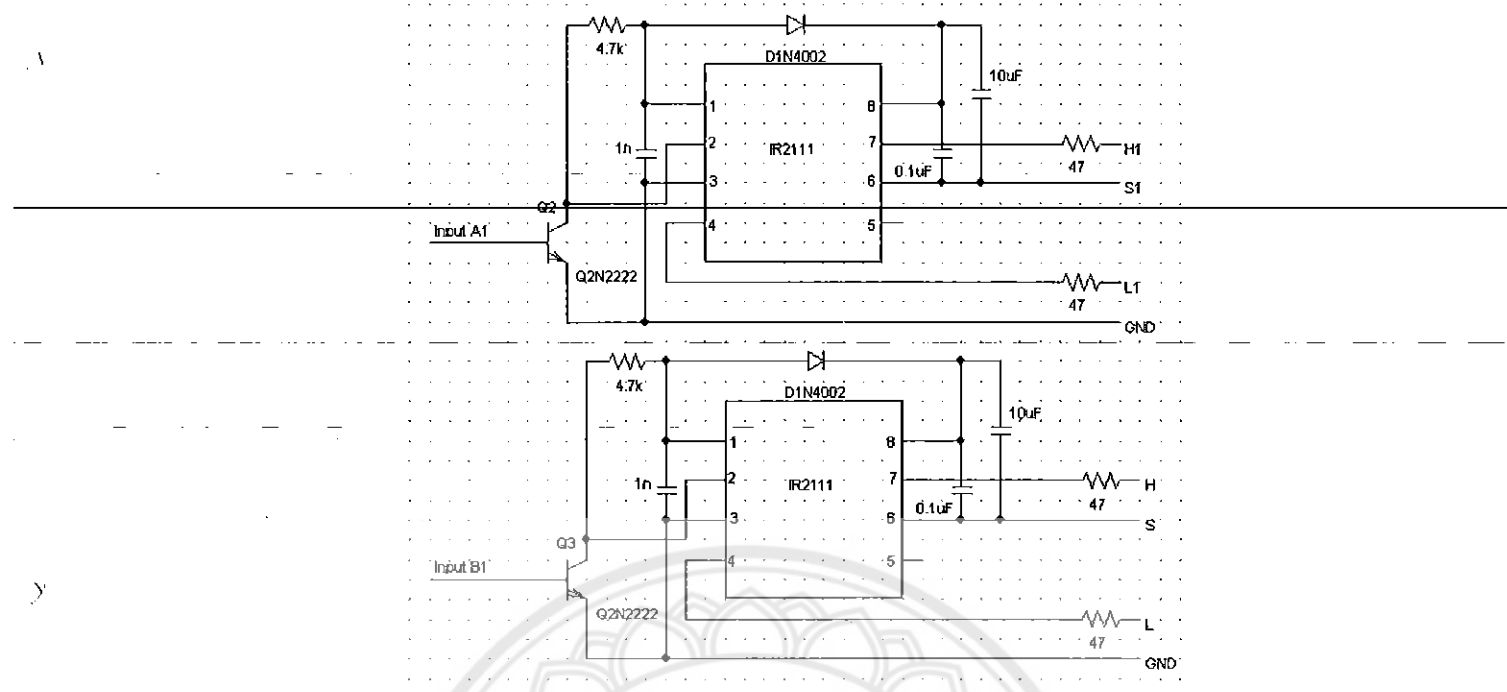


รูปที่ 3.5 วงจรที่ใช้ในการสร้างสัญญาณเดดไทม์

จากรูปที่ 3.5 ไอซีเบอร์ 7414 หน้าที่เป็นนีอทเกต คือ เมื่อสัญญาณ Input มีล็อกจิกเป็น 1 สัญญาณ Output จะมีล็อกจิกเป็น 0 และช่วงเวลาเดดไทม์สามารถคำนวณได้จากสูตร $T = RC$ จากวงจรเราทำการคำนวณเวลาที่ $T = 50 \times 0.1 \times 10^{-6} = 5\mu S$

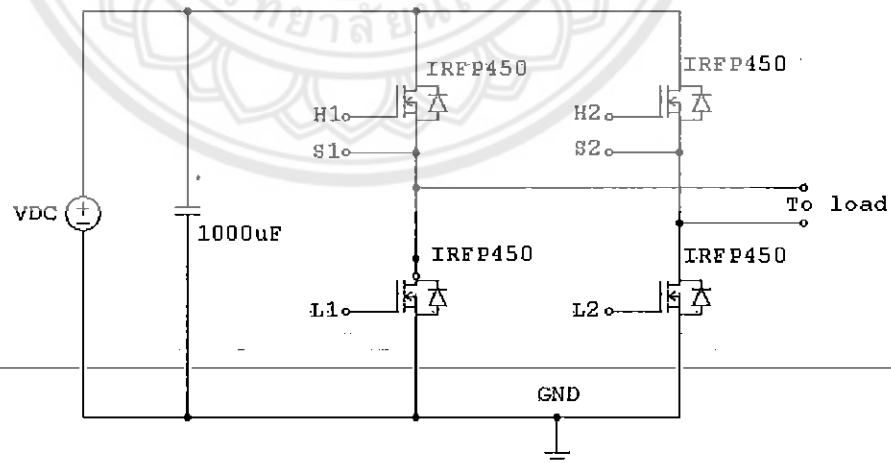


รูปที่ 3.6 วงจรที่ใช้ในการแยกกราวด์ในส่วนของวงจรควบคุมและวงจรกำลัง



รูปที่ 3.7 วงจรที่ใช้ในขั้นตอนสเพด

จากรูปที่ 3.7 IR2111 ทำหน้าในการขับเกตซึ่งลักษณะการทำงานของ IR2111 จะมีสัญญาณ Output 2 สัญญาณ ก cioè เมื่อ Input มีค่าจิกเป็น “0” IR2111 จะมีสัญญาณ Output ในฝั่งขา Low (ขา 4) และเมื่อ Input มีค่าจิกเป็น “1” IR2111 จะมีสัญญาณ Output ในฝั่งขา High (ขา 7)



รูปที่ 3.8 วงจรกำลัง

จากรูปที่ 3.8 ใช้มอสเพดเบอร์ IRFP450 เป็นสวิตช์เนื่องจากสามารถสวิตช์ที่ความถี่สูงได้และทันเรցดันได้สูงถึง 600 Vdc



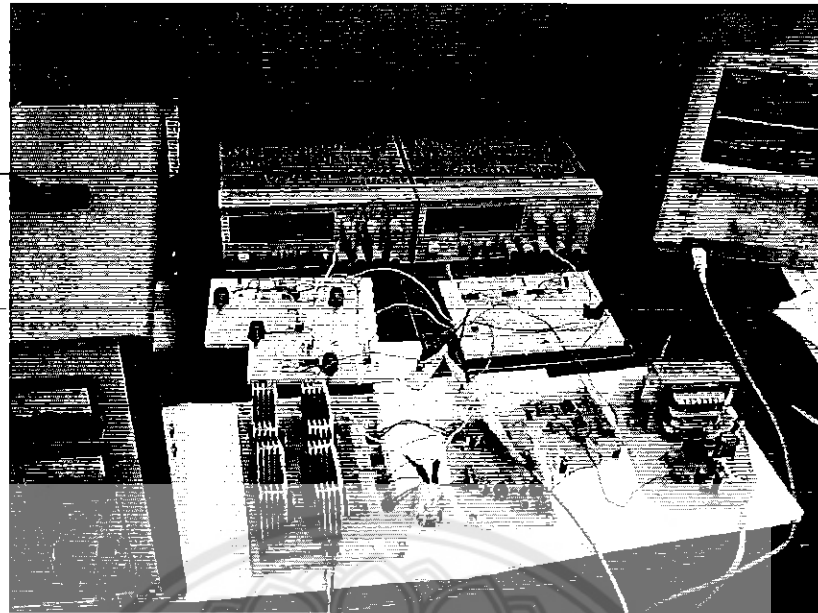
รูปที่ 3.9 วงจรกำลังจากการออกแบบจริง

รูปที่ 3.9 แสดงลักษณะของวงจรกำลังที่ได้จากการออกแบบจริง ซึ่งเป็นการต่อในลักษณะของฟลบริจน์อินเวอร์เตอร์



รูปที่ 3.10 วงจรขับเกตจากการออกแบบจริง

รูปที่ 3.10 แสดงลักษณะของวงจรขับเกตจากการออกแบบจริง ซึ่งใช้ IR2111 ในการขับเกตโดยที่ IR2111 จำนวน 1 ตัว สามารถขับมอเตอร์ได้ 2 ตัว



รูปที่ 3.11 วงจรรวมขณะทำการทดสอบ

รูปที่ 3.11 แสดงลักษณะของวงจรขณะทำการทดสอบวัดสัญญาณเพื่อวิเคราะห์รูปลีน ก่อนที่จะทำการออกแบบวงจรวงบนแผ่น PCB

บทที่ 4

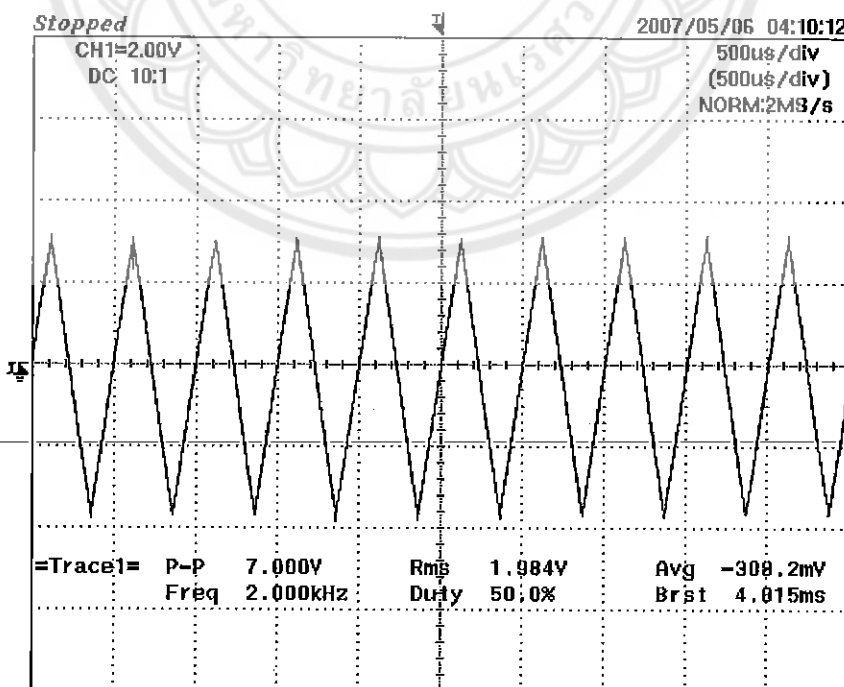
ผลการทดสอบและการวิเคราะห์สัญญาณ

จากการทดสอบ ได้ทำการวัดค่าแรงดันไฟฟ้าเอาต์พุตและกระแสไฟฟ้าเอาต์พุตโดยใช้สโคปจากนั้นนำรูปคลื่นสัญญาณที่วัดได้ไปทำการวิเคราะห์าร์มอนิกสเปกตรา นอกจานั้นยังทำการวิเคราะห์คุณภาพของสัญญาณที่วัดได้โดยการหาค่าดัชนีต่าง ๆ ซึ่งมีดังต่อไปนี้

- ค่า V_{1rms} , I_{1rms}
- ค่า THD_v , THD_i
- ค่า DF_1

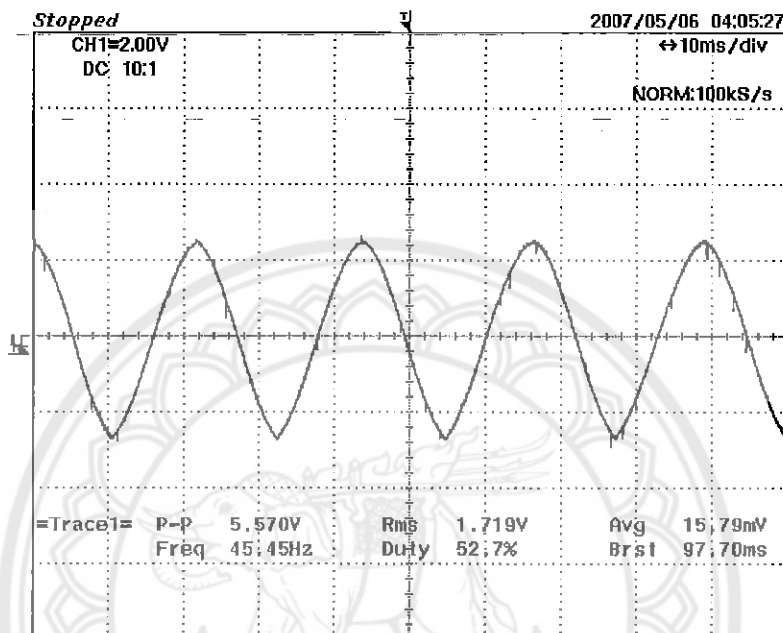
4.1 ผลการทดสอบ

ดังที่แสดงในรูปที่ 4.1 เป็นรูปคลื่นสัญญาณสามเหลี่ยมที่ได้จากการทดสอบ ที่ความถี่ 2 kHz. $V_{p-p} = 7.0$ โวลต์ จากการทดสอบของแบบวงจร เราได้ทำการออกแบบให้สามารถปรับความถี่ของรูปคลื่นสัญญาณสามเหลี่ยมได้ในช่วง 20 Hz. – 20 kHz.

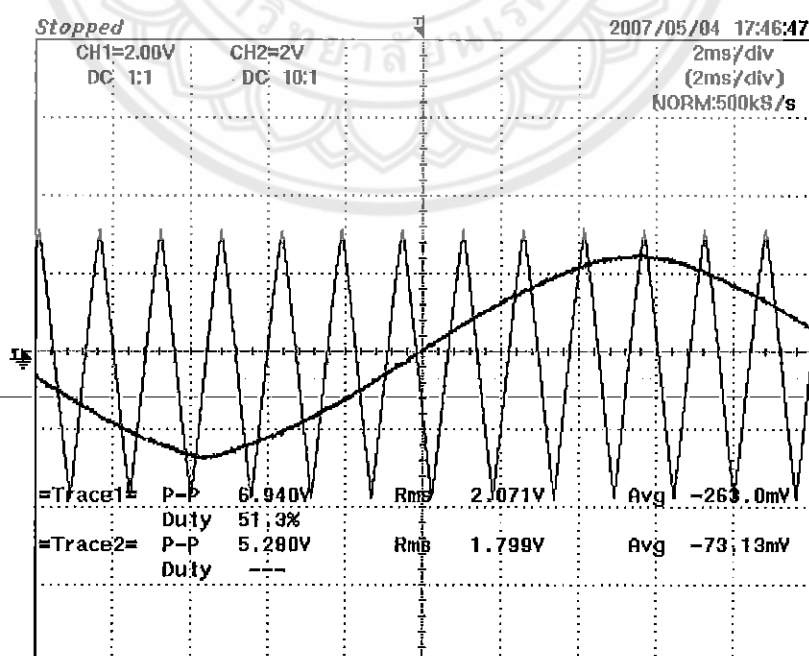


รูปที่ 4.1 แสดงรูปคลื่นสัญญาณสามเหลี่ยม

ในรูปที่ 4.2 เป็นรูปคลื่นสัญญาณไขน์ที่ได้จากการทดลอง ที่ความถี่ 50 Hz. จากการออกแบบวงจร เราทำการออกแบบให้สามารถปรับขนาดของแอม培ริจุดของสัญญาณได้ในช่วง 1-10 โวลต์ แต่ในการปรับค่าแอมเบอริจุดจะต้องรักษาอัตราการการมอคุเดตไม่ให้เกิน 1 นั้นหมายความว่า แอมเบอริจุดสัญญาณไขน์จะต้องปรับໄได้ไม่เกิน 7 โวลต์ ถ้าปรับค่าเกินจะทำให้เกิดการโอเวอร์มอคุเดตซึ่งจะมีผลกระทบจากชำรุดนิกต์เกิดขึ้น

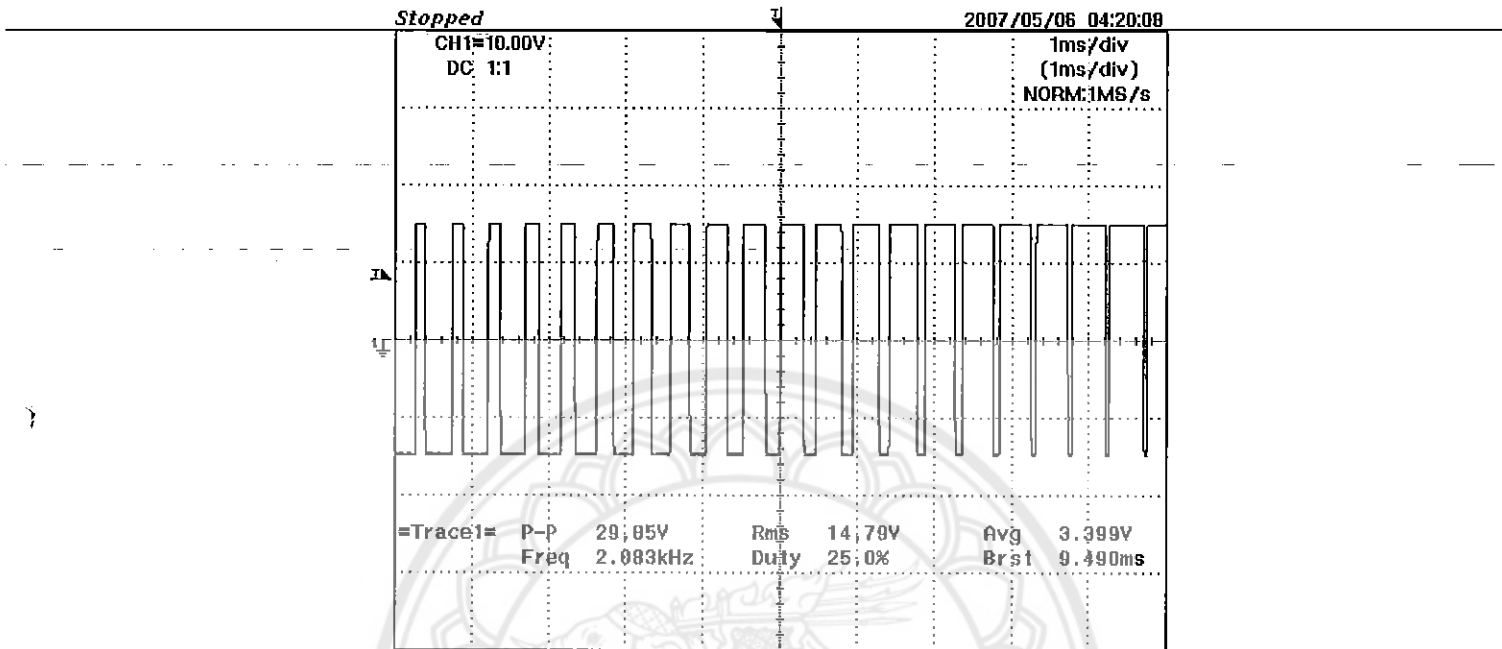


รูปที่ 4.2 แสดงรูปคลื่นสัญญาณไขน์

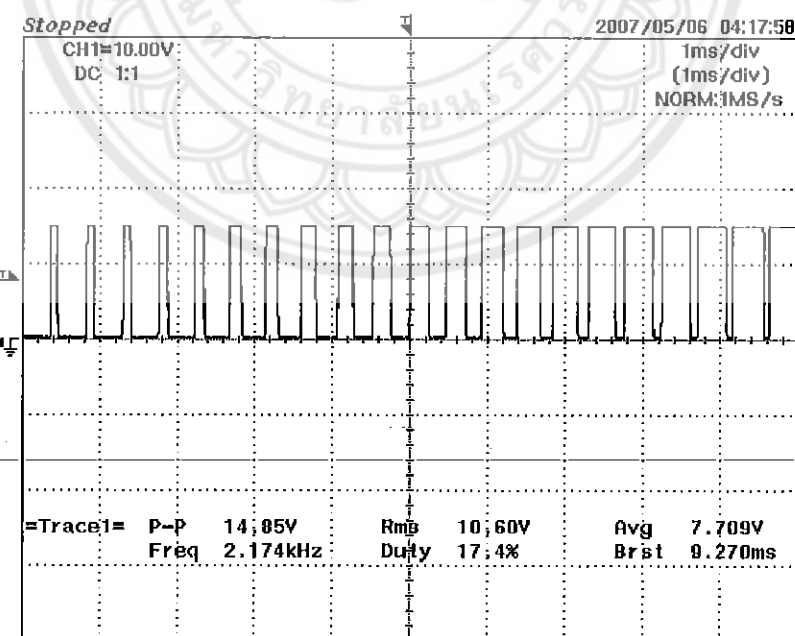


รูปที่ 4.3 แสดงการเปรียบเทียบสัญญาณรูปคลื่นไขน์กับสัญญาณคลื่นสามเหลี่ยม

จากรูปที่ 4.4 เมื่อนำสัญญาณรูปคลื่นสามเหลี่ยมที่ 2 kHz มาทำการเปรียบเทียบกับสัญญาณรูปคลื่นไอน์ โดยใช้วงจร Comparater จะทำให้เกิดสัญญาณ Pulse Width Modulation ที่เป็นสัญญาณพัลส์แบบ AC

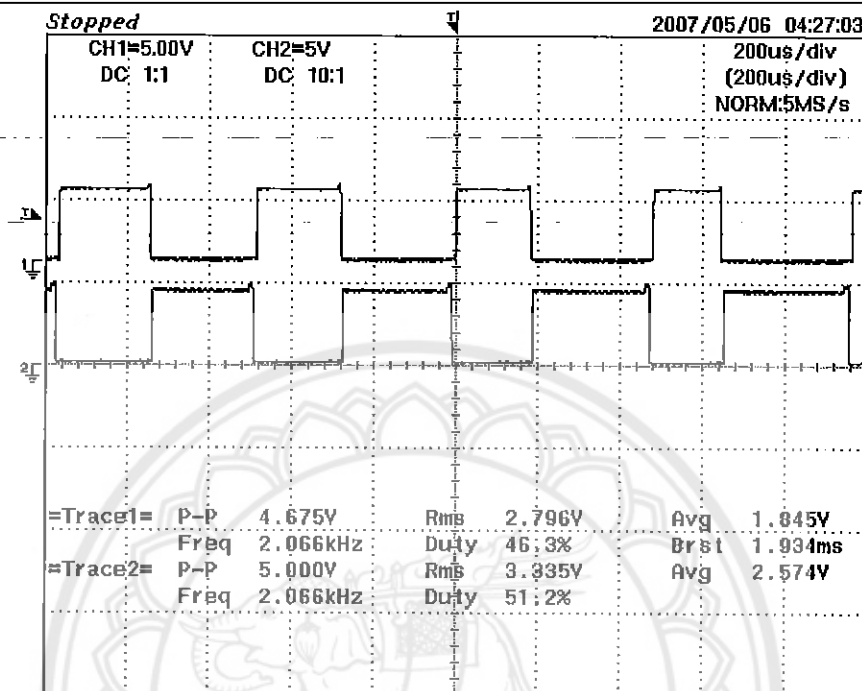


รูปที่ 4.4 แสดงสัญญาณแรงดันไฟฟ้า Pulse Width Modulation ที่ได้จากการ Compare

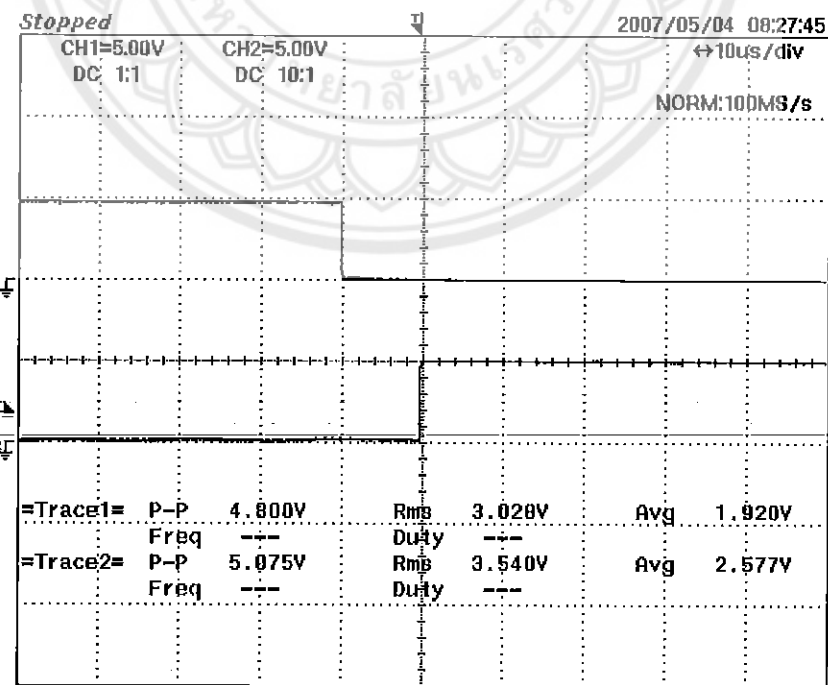


รูปที่ 4.5 แสดงสัญญาณแรงดันไฟฟ้า Pulse Width Modulation

เนื่องจากสัญญาณที่จะใช้ในการควบคุมจะต้องเป็นพัลส์แบบ DC ดังนั้นจึงต้องนำสัญญาณที่ได้มาน Compare กับ Ground อีกหนึ่งรอบ ดังรูปที่ 4.6 แสดงสัญญาณ Pulse Width Modulation ที่ผ่านการ Compare กับ Ground

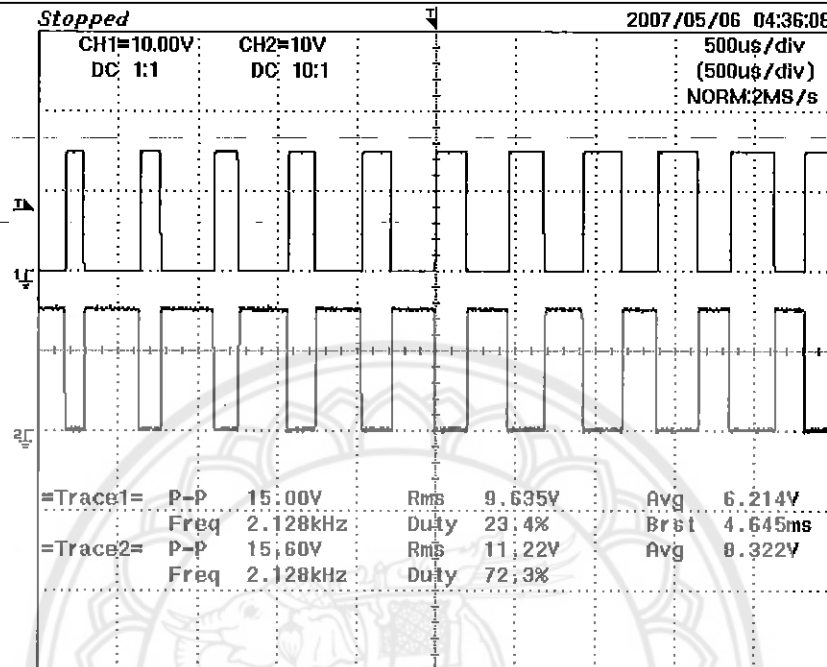


รูปที่ 4.6 แสดงสัญญาณ Dead Time ก่อนเข้าสู่วงจร Driver

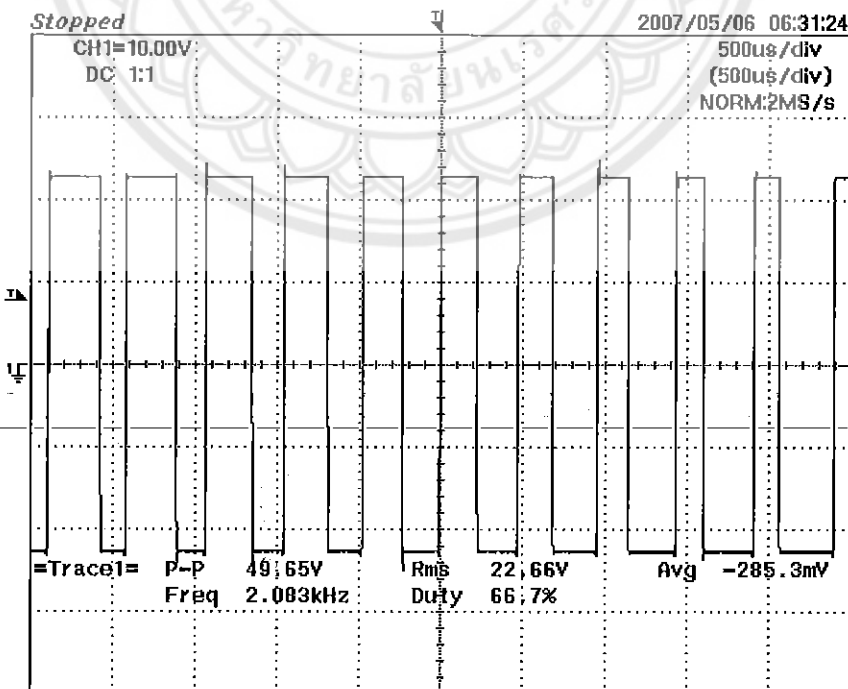


รูปที่ 4.7 แสดงสัญญาณ Dead Time ก่อนเข้าสู่วงจร Driver

จะเห็นได้ว่าสัญญาณทั้งสองจะต้องมีลอกขิกที่ตรงข้ามกันและมีเวลาเดดไทม์อยู่ที่ 10 us. ดังแสดงในรูปที่ 4.7 และรูปที่ 4.8 เพื่อป้องกันการซื้อตทรุของ mosfet ในกิ่งเดียวกัน

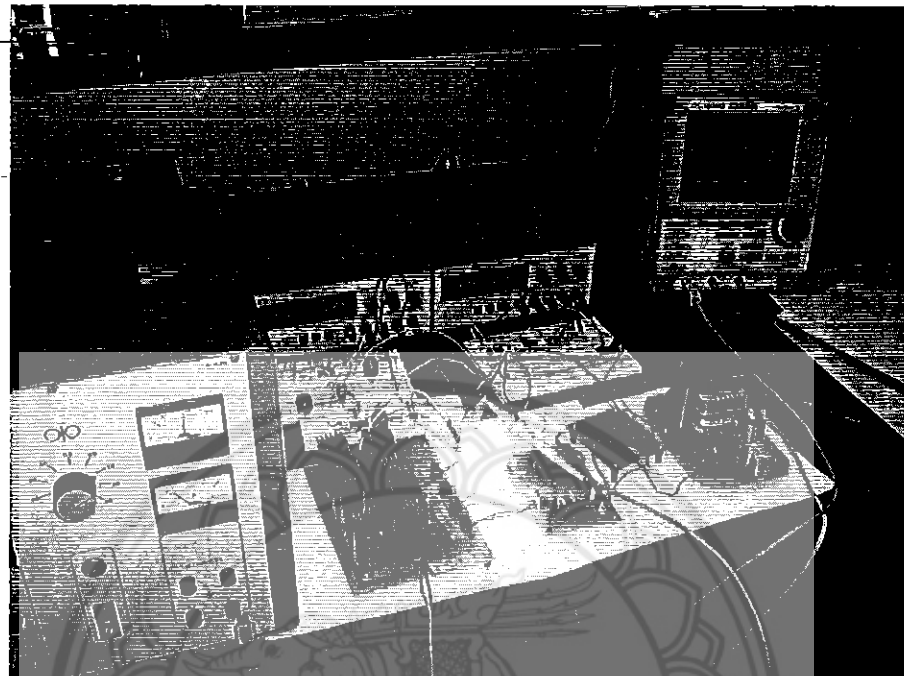


รูปที่ 4.8 แสดงสัญญาณแรงดันไฟฟ้าเอาต์พุทที่ออกจาก Driver

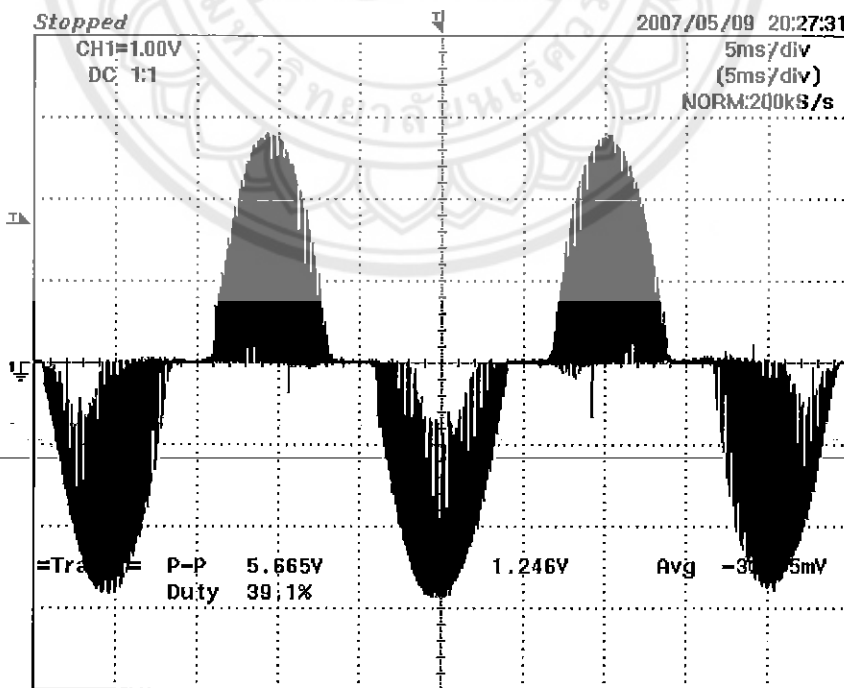


รูปที่ 4.9 แสดงสัญญาณแรงดันไฟฟ้าเอาต์พุท

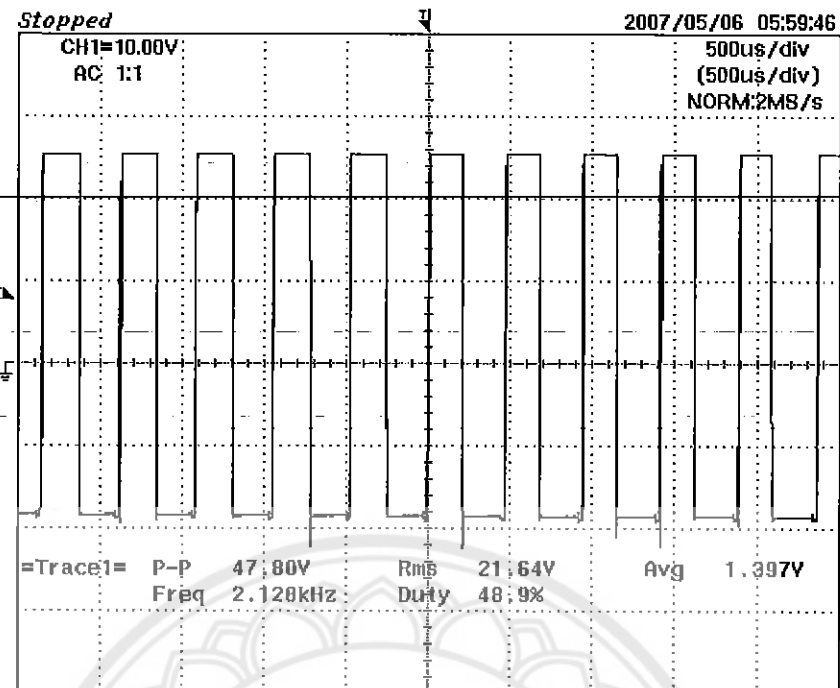
จากรูปที่ 4.9 เมื่อนำสัญญาณเอาท์พุตไปขับโหลดแสงสว่าง ที่พิกัด 50 วัตต์ สามารถขับโหลดให้สว่างได้ตามต้องการ โดยขนาดกระแสที่ไหลผ่านโหลดมีค่าประมาณ 3.7 แอมป์



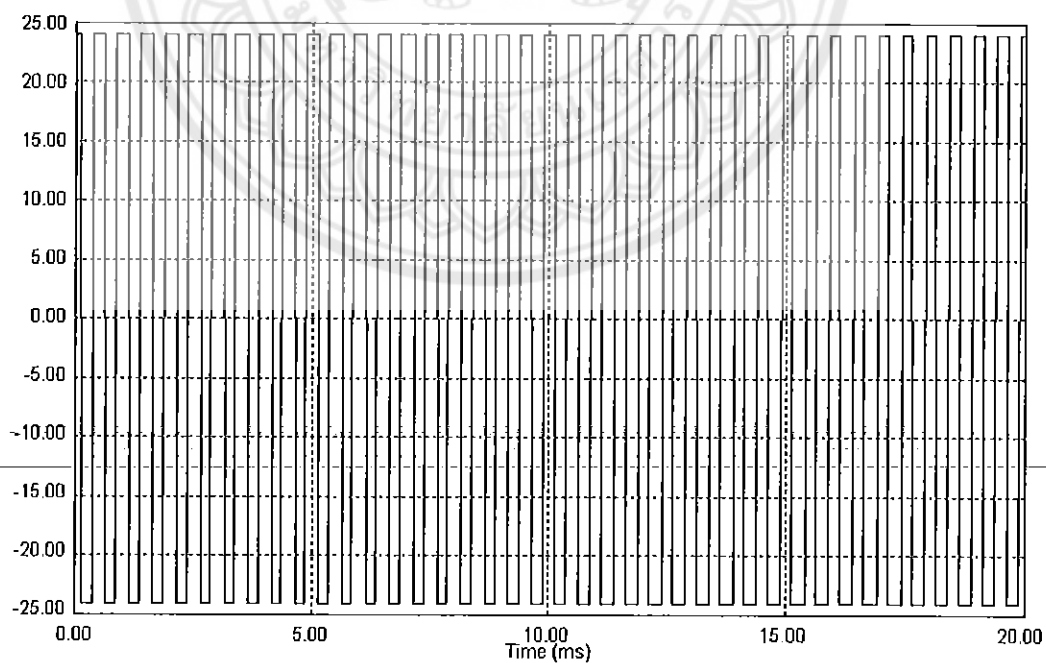
รูปที่ 4.10 วงจรขณะขับโหลดแสงสว่างที่แรงดัน 24 โวตต์



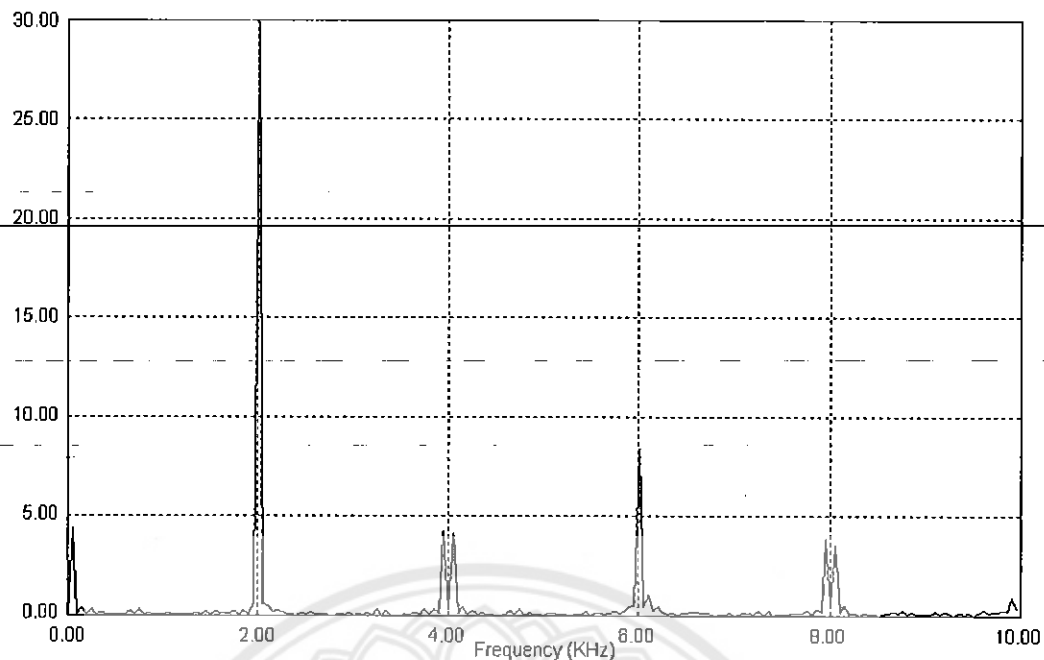
รูปที่ 4.11 แสดงรูปคลื่นกระแสจากการขับโหลดแสงสว่าง



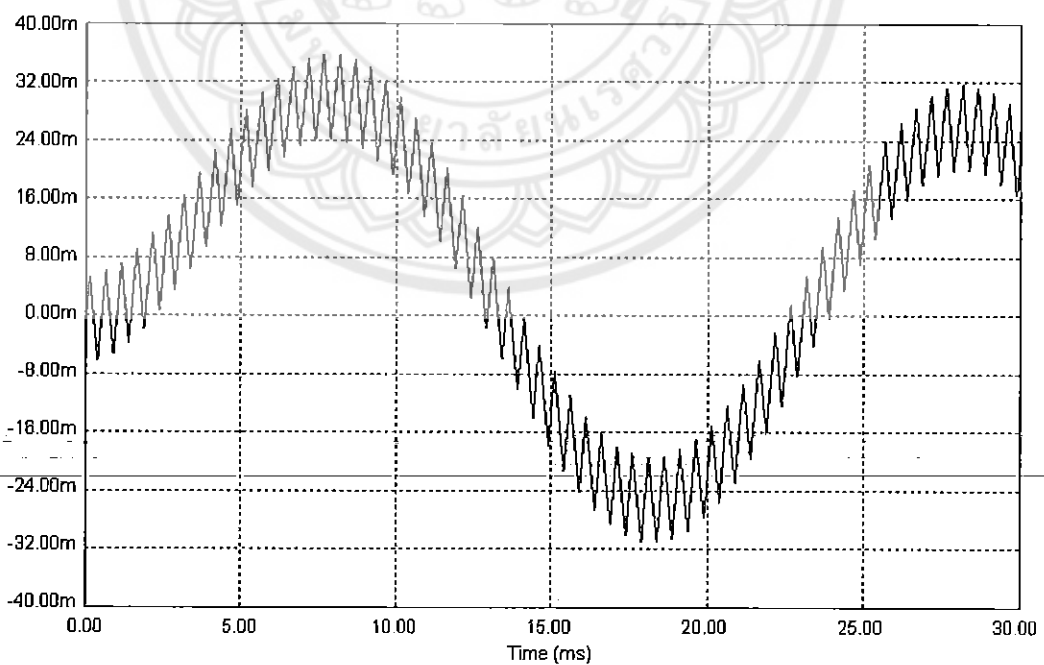
รูปที่ 4.12 แสดงสัญญาณแรงดันไฟฟ้าเอาต์พุตเมื่อ $m_a = 0.2$



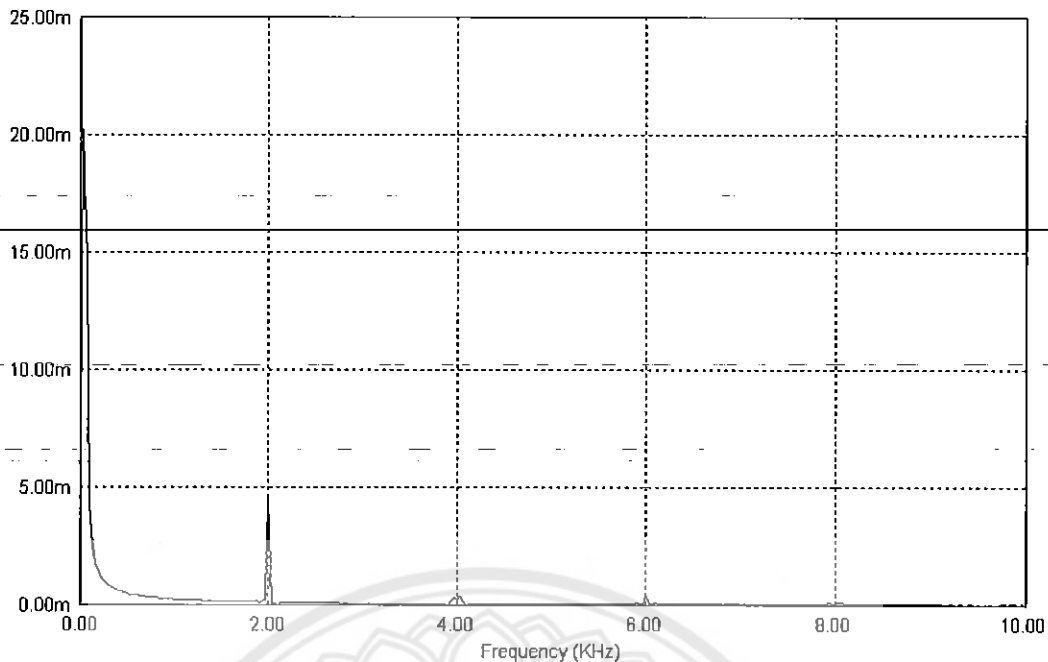
รูปที่ 4.13 แสดงสัญญาณแรงดันไฟฟ้าเอาต์พุตเมื่อ $m_a = 0.2$ โดยใช้การวิเคราะห์จากโปรแกรม PSIM



รูปที่ 4.14 แสดงกราฟอนิคสเปกตรามของสัญญาณแรงดันไฟฟ้าเอตพุทเมื่อ $m_a = 0.2$ เมื่อพิจารณา
ยาرمอนิกถึงลำดับที่ 200 โดยใช้การวิเคราะห์จากโปรแกรม PSIM



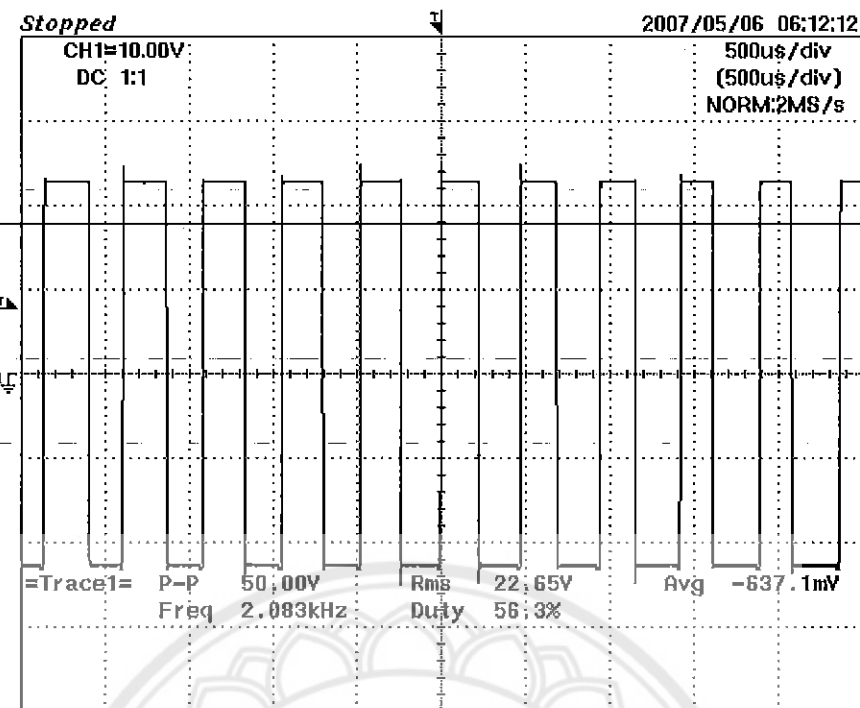
รูปที่ 4.15 แสดงสัญญาณกระแสไฟฟ้าเอตพุทเมื่อ $m_a = 0.2$ โดยใช้การวิเคราะห์จากโปรแกรม
PSIM



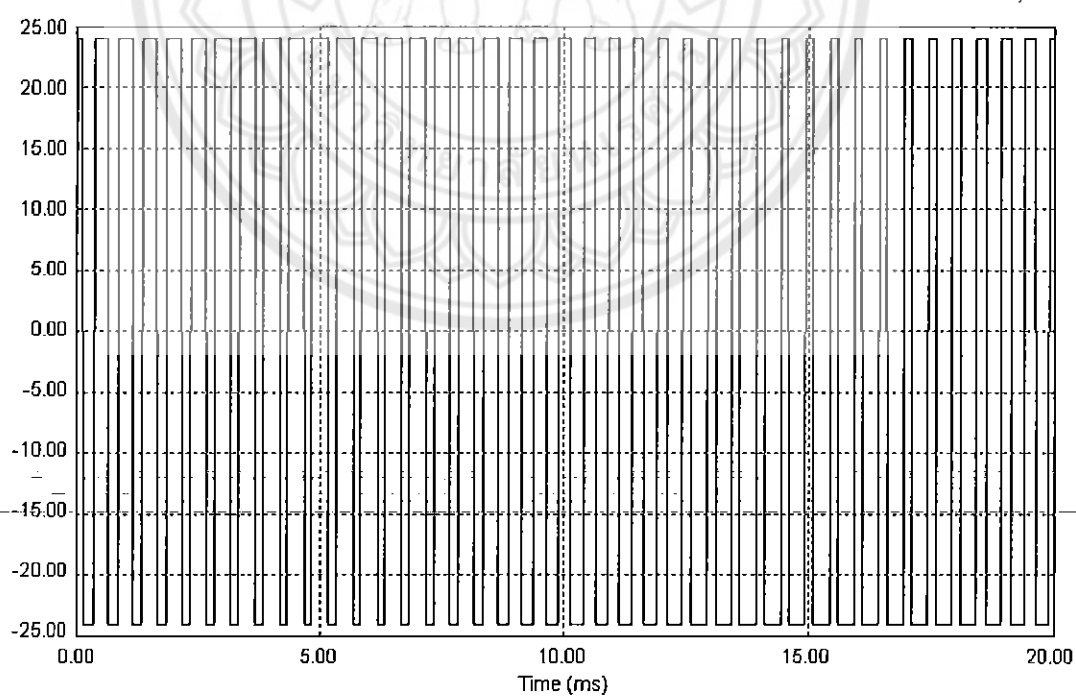
รูปที่ 4.16 แสดงการ์มอนิกสเปกตรของสัญญาณกระแสดันไฟฟ้าเอาต์พุทเมื่อ $m_a = 0.2$ เมื่อ พิจารณาการ์มอนิกถึงลำดับที่ 200 โดยใช้การวิเคราะห์จากโปรแกรม PSIM

จากรูปที่ 4.12 เป็นรูปคลื่นสัญญาณแรงดันไฟฟ้าเอาต์พุทเมื่อ $m_a = 0.4$ ที่ความถี่ 50 Hz ซึ่งเป็นสัญญาณที่วัดได้จริงจากตัวอย่างและรูปที่ 4.13 เป็นสัญญาณที่ได้จากการจำลองการทำงานโดยใช้โปรแกรม PSIM ซึ่งเมื่อนำสัญญาณแรงดันไฟฟ้าเอาต์พุทไปวิเคราะห์การ์มอนิกโดยใช้ Fast Fourier Transform ซึ่งได้ผลตามรูปที่ 4.14 จะเห็นว่าเกิดการ์มอนิกที่ความถี่มูลฐานและที่ความถี่ 2 kHz หรือ ลำดับที่ 40 ซึ่งผลการทดลองที่ได้เป็นไปตามทฤษฎี

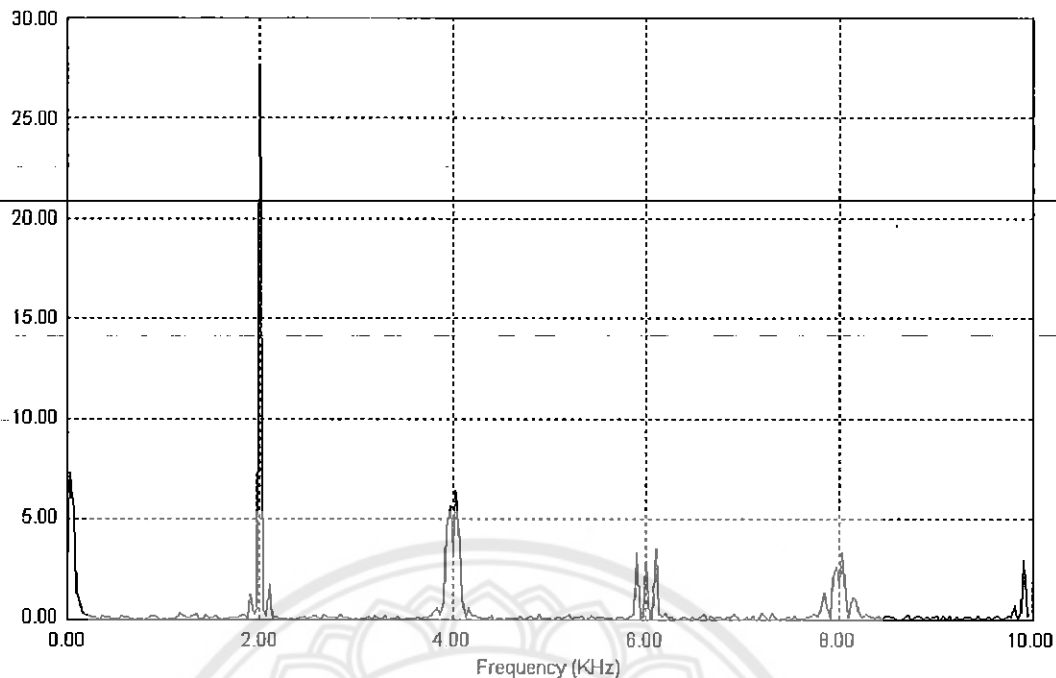
ในรูปที่ 4.15 เป็นรูปคลื่นสัญญาณกระแสไฟฟ้าเอาต์พุทที่ได้จากการจำลองการทำงานจากโปรแกรม PSIM และรูปที่ 4.16 เป็นการนำสัญญาณเอาต์พุทไปวิเคราะห์การ์มอนิกของกระแสโดยใช้ Fast Fourier Transform จะเห็นว่าการ์มอนิกเกิดที่ความถี่หลักมูลและลำดับที่ 40 ซึ่งเป็นไปตามทฤษฎี



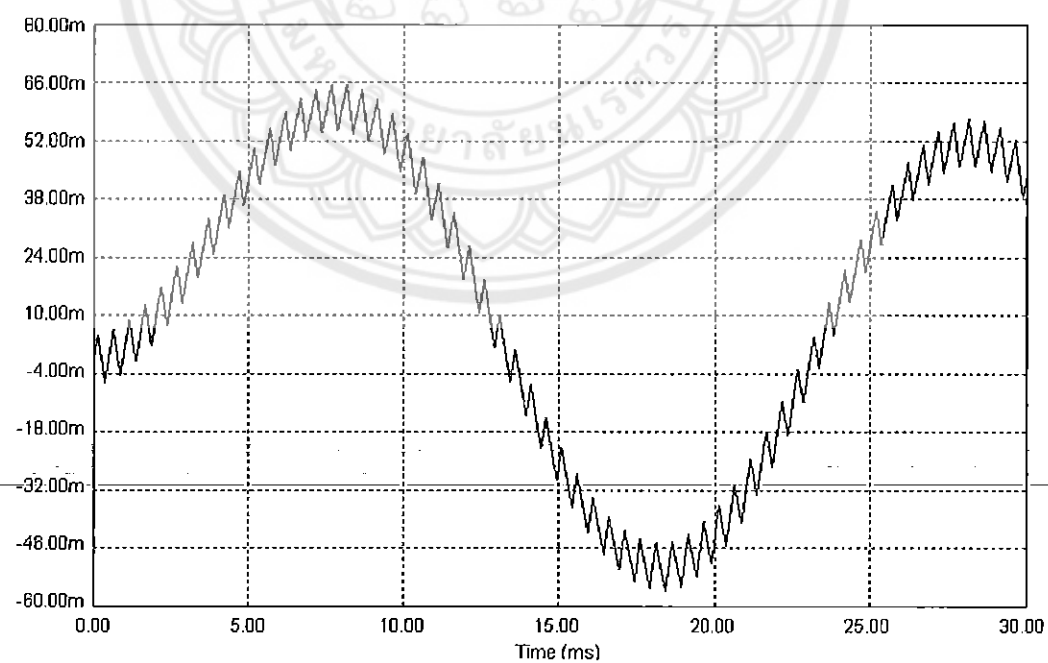
รูปที่ 4.17 แสดงสัญญาณแรงดันไฟฟ้าเอาต์พุทเมื่อ $m_a = 0.4$



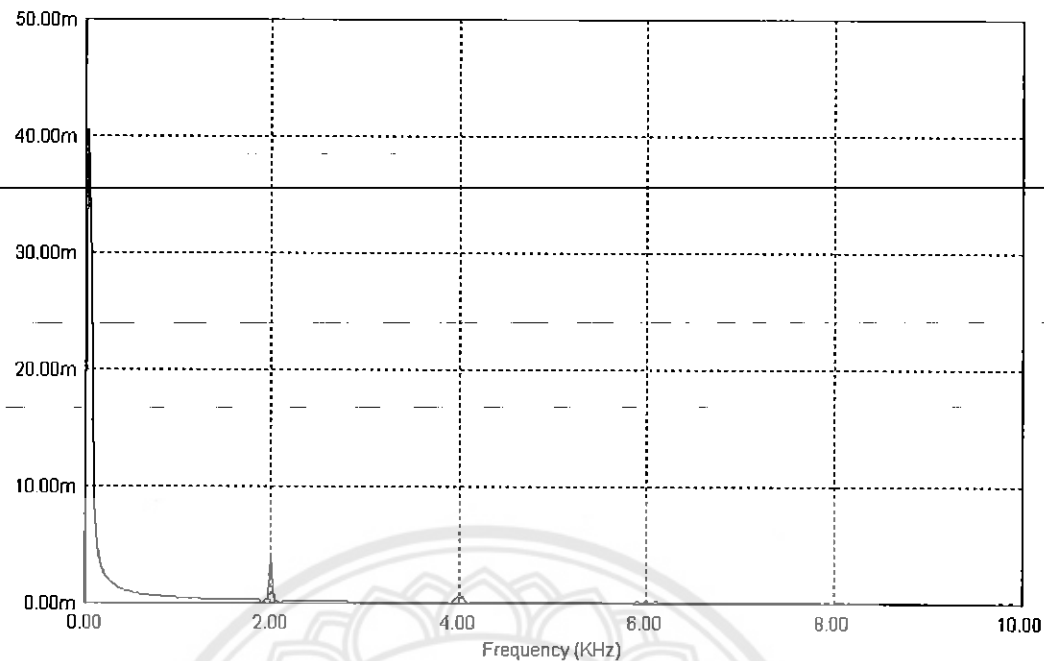
รูปที่ 4.18 แสดงสัญญาณแรงดันไฟฟ้าเอาต์พุทเมื่อ $m_a = 0.4$ โดยใช้การวิเคราะห์จากโปรแกรม PSIM



รูปที่ 4.19 แสดงชาร์มอนิกสเปกตรายของสัญญาณแรงดันไฟฟ้าอากาศพุทเมื่อ $m_a = 0.4$ เมื่อพิจารณาชาร์มนิคถึงคำนับที่ 200 โดยใช้การวิเคราะห์จากโปรแกรม PSIM



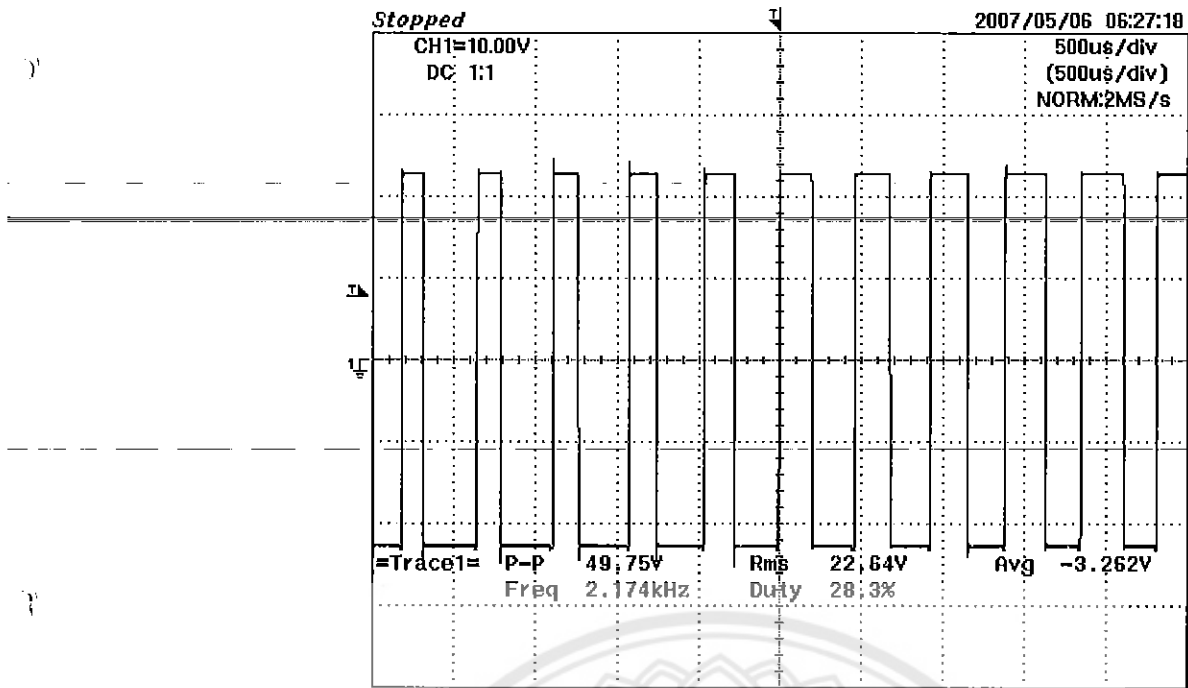
รูปที่ 4.20 แสดงสัญญาณกระแสไฟฟ้าอากาศพุทเมื่อ $m_a = 0.4$ โดยใช้การวิเคราะห์จากโปรแกรม PSIM



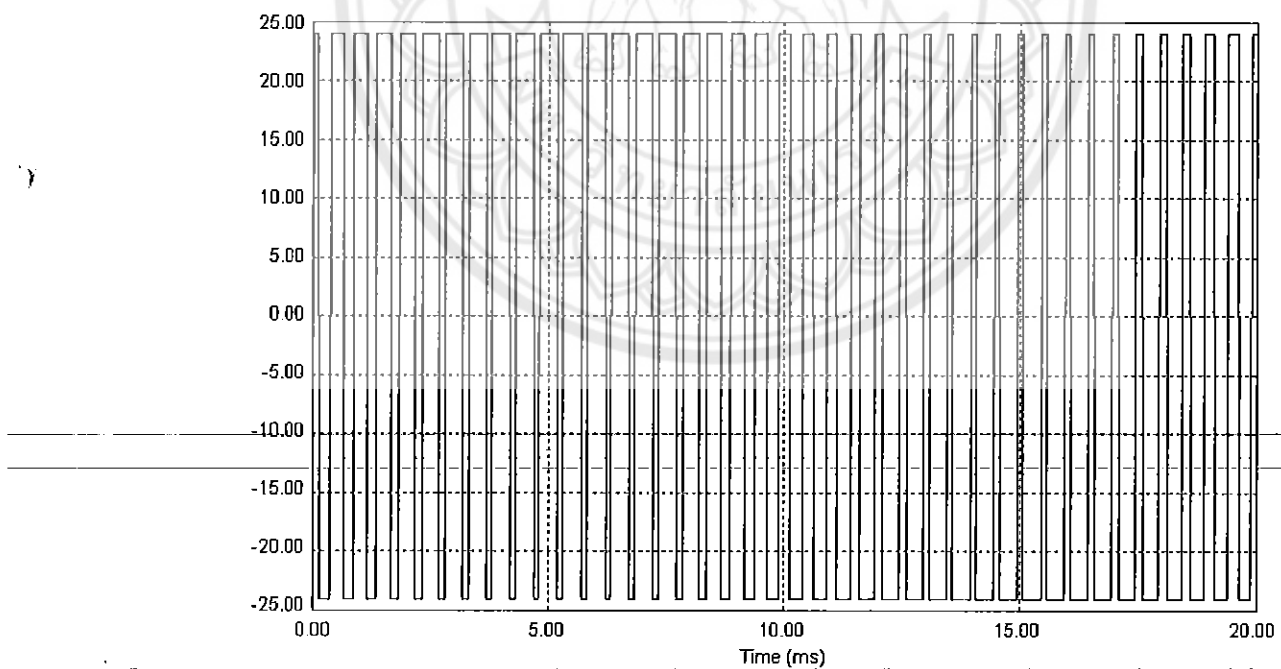
รูปที่ 4.21 แสดงชาร์มอนิกสเปกตรของสัญญาณกระแสไฟฟ้าเอตพุทเมื่อ $m_a = 0.4$ เมื่อพิจารณาชาร์มอนิกถึงลำดับที่ 200 โดยใช้การวิเคราะห์จากโปรแกรม PSIM

จากรูปที่ 4.17 เป็นรูปคลื่นสัญญาณแรงดันไฟฟ้าเอตพุทเมื่อ $m_a = 0.4$ ที่ความถี่ 50 Hz ซึ่งเป็นสัญญาณที่วัดได้จริงจากสถานีและรูปที่ 4.18 เป็นสัญญาณที่ได้จากการจำลองการทำงานโดยใช้โปรแกรม PSIM ซึ่งเมื่อนำสัญญาณแรงดันไฟฟ้าเอตพุทไปวิเคราะห์ชาร์มอนิกโดยใช้ Fast Fourier Transform ซึ่งได้ผลตามรูปที่ 4.19 จะเห็นว่าเกิดชาร์มอนิกที่ความถี่มีค่าฐานและที่ความถี่ 2 kHz หรือลำดับที่ 40 ซึ่งผลการทดลองที่ได้เป็นไปตามทฤษฎี

ในรูปที่ 4.20 เป็นรูปคลื่นสัญญาณกระแสไฟฟ้าเอตพุทที่ได้จากการจำลองการทำงานจากโปรแกรม PSIM และรูปที่ 4.21 เป็นการนำสัญญาณเอตพุทไปวิเคราะห์ชาร์มอนิกของกระแสโดยใช้ Fast Fourier Transform จะเห็นว่าชาร์มอนิกเกิดที่ความถี่หลักมูลและลำดับที่ 40 ซึ่งเป็นไปตามทฤษฎี

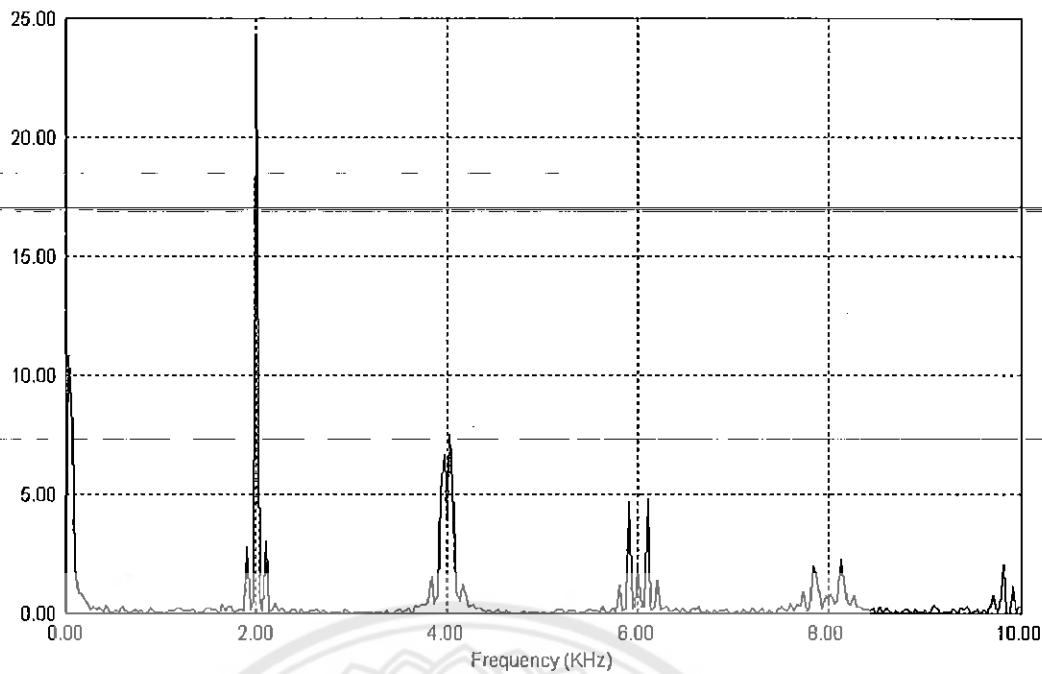


รูปที่ 4.22 แสดงสัญญาณแรงดันไฟฟ้าเอาต์พุตเมื่อ $m_a = 0.6$

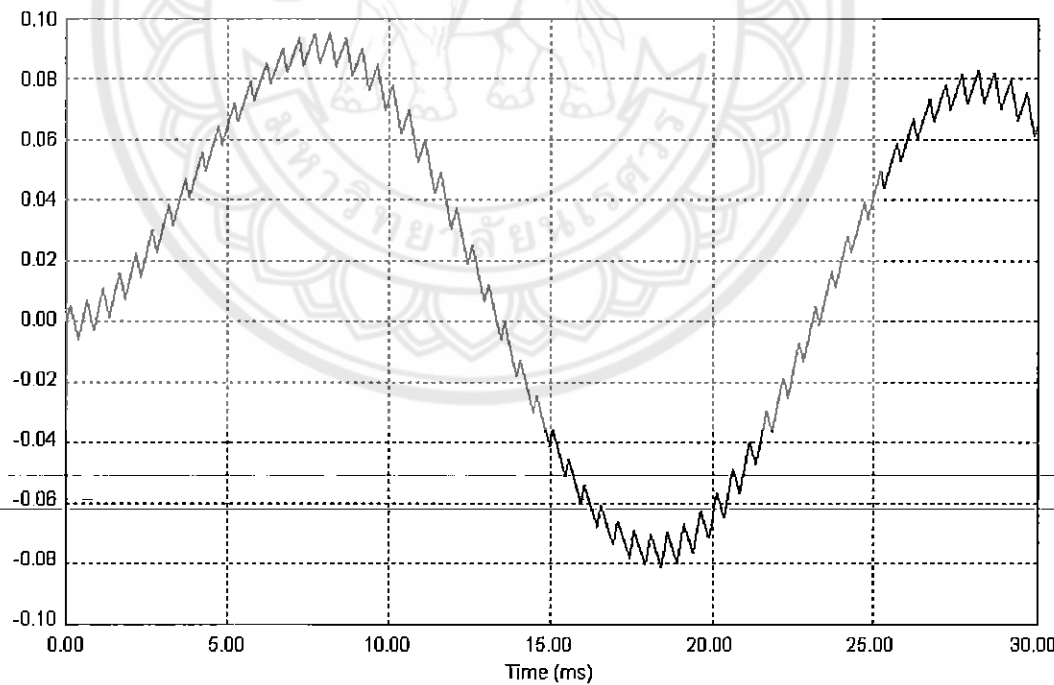


รูปที่ 4.23 แสดงสัญญาณแรงดันไฟฟ้าเอาต์พุตเมื่อ $m_a = 0.6$ โดยใช้การวิเคราะห์จากโปรแกรม

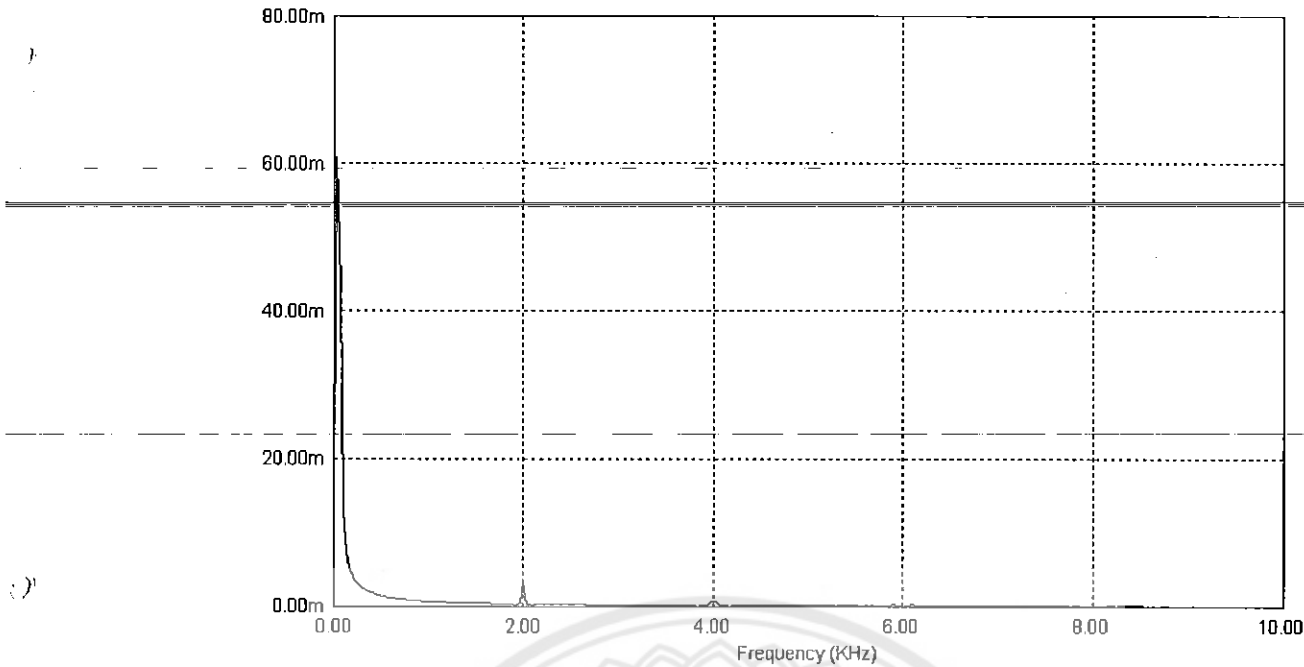
PSIM



รูปที่ 4.24 แสดงชาร์มนอนิคสเปกตรของสัญญาณแรงดันไฟฟ้าเอาต์พุทเมื่อ $m_a = 0.6$ เมื่อพิจารณาชาร์มนอนิกถึงลำดับที่ 200 โดยใช้การวิเคราะห์จากโปรแกรม PSIM



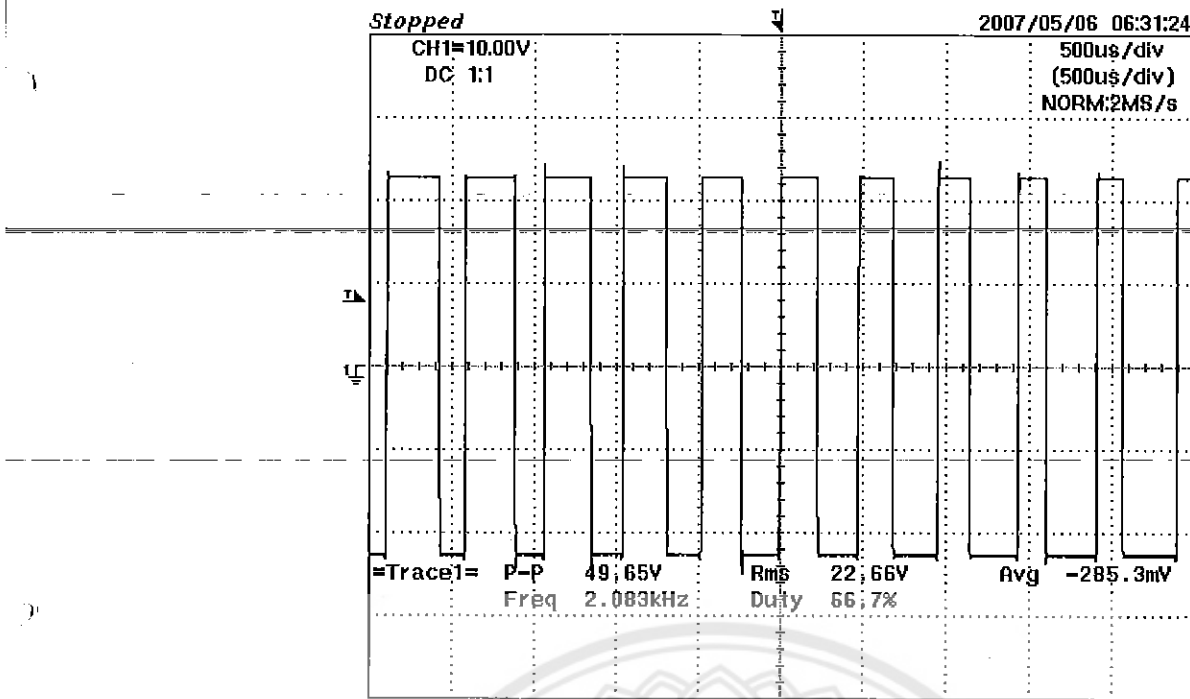
รูปที่ 4.25 แสดงสัญญาณกระแสไฟฟ้าเอาต์พุทเมื่อ $m_a = 0.6$ โดยใช้การวิเคราะห์จากโปรแกรม PSIM



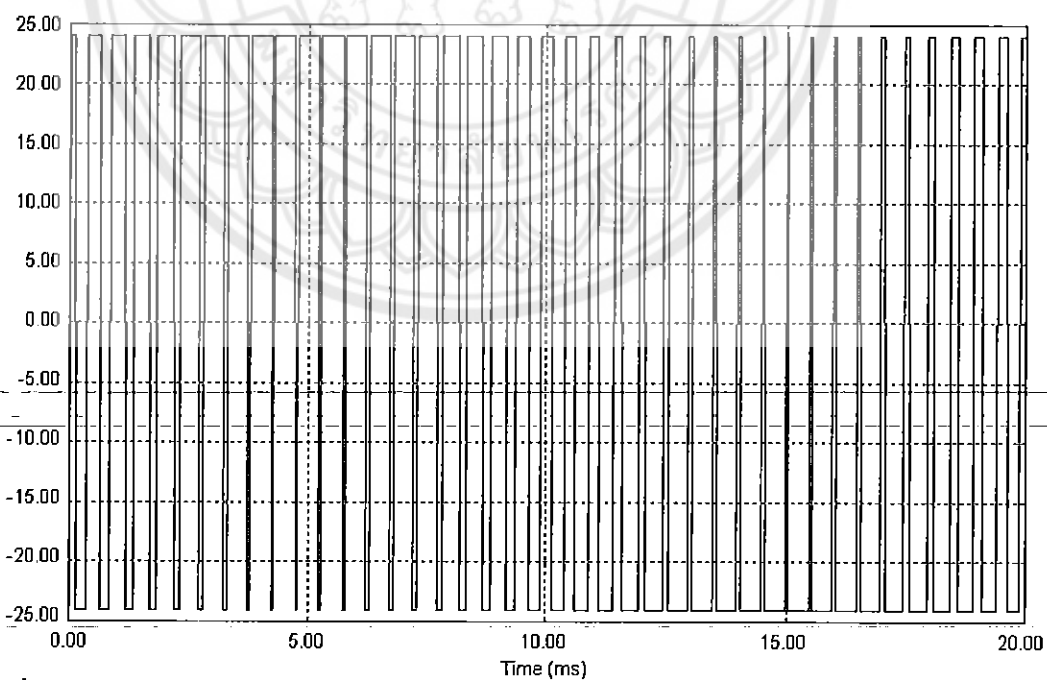
รูปที่ 4.26 แสดงขาร์มนิคสเปกตรของสัญญาณกระแสไฟฟ้าเอตพุทเมื่อ $m_a = 0.6$ เมื่อพิจารณา
ขาร์มนิคถึงลำดับที่ 200 โดยใช้การวิเคราะห์จากโปรแกรม PSIM

จากรูปที่ 4.22 เป็นรูปคลื่นสัญญาณแรงดันไฟฟ้าเอตพุทเมื่อ $m_a = 0.6$ ที่ความถี่ 50 Hz ซึ่งเป็นสัญญาณที่วัดได้จริงจากสิ่นและรูปที่ 4.23 เป็นสัญญาณที่ได้จากการจำลองการทำงานโดยใช้โปรแกรม PSIM ซึ่งเมื่อนำสัญญาณแรงดันไฟฟ้าเอตพุทไปวิเคราะห์ขาร์มนิคโดยใช้ Fast Fourier Transform ซึ่งได้ผลตามรูปที่ 4.24 จะเห็นว่าเกิดขาร์มนิคที่ความถี่มูลฐานและที่ความถี่ 2 kHz หรือ ลำดับที่ 40 ซึ่งผลการทดลองที่ได้เป็นไปตามทฤษฎี

ในรูปที่ 4.25 เป็นรูปคลื่นสัญญาณกระแสไฟฟ้าเอตพุทที่ได้จากการจำลองการทำงานจากโปรแกรม PSIM และรูปที่ 4.26 เป็นการนำสัญญาณเอตพุทไปวิเคราะห์ขาร์มนิคของกระแสโดยใช้ Fast Fourier Transform จะเห็นว่าขาร์มนิคเกิดที่ความถี่หลักมูลและลำดับที่ 40 ซึ่งเป็นไปตามทฤษฎี

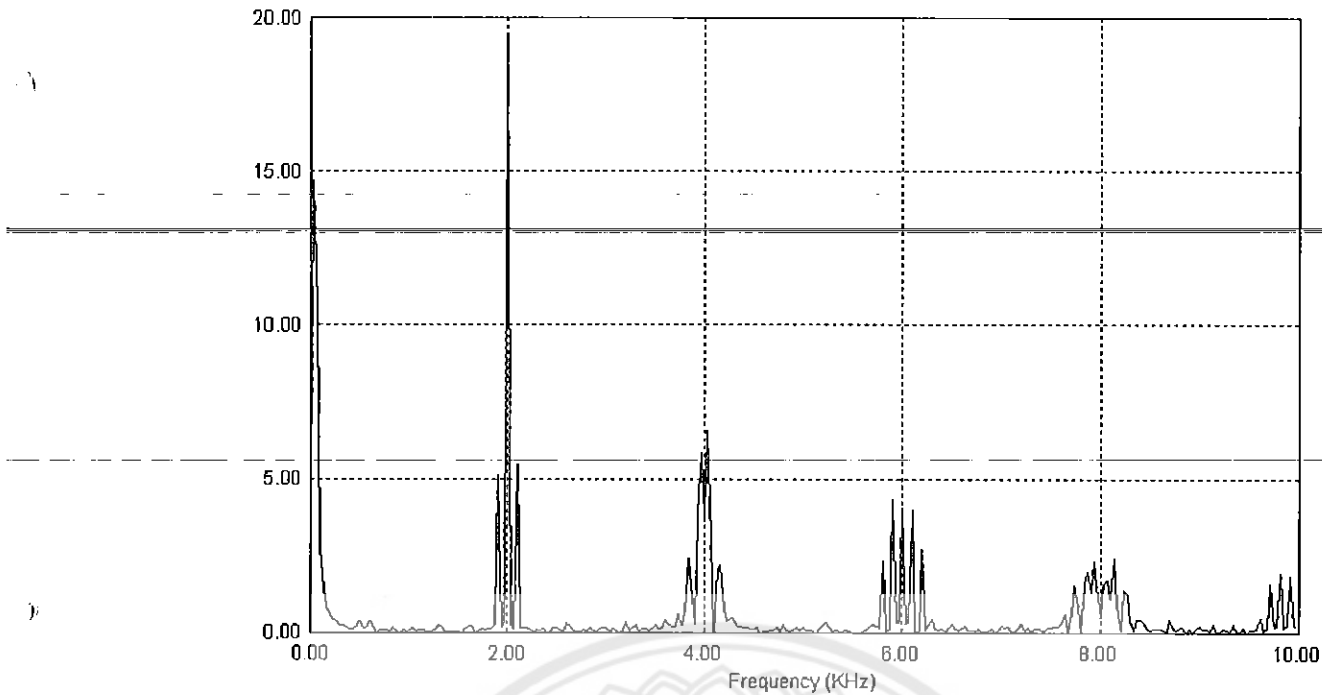


รูปที่ 4.27 แสดงสัญญาณแรงดันไฟฟ้าเอาต์พุตเมื่อ $m_a = 0.8$

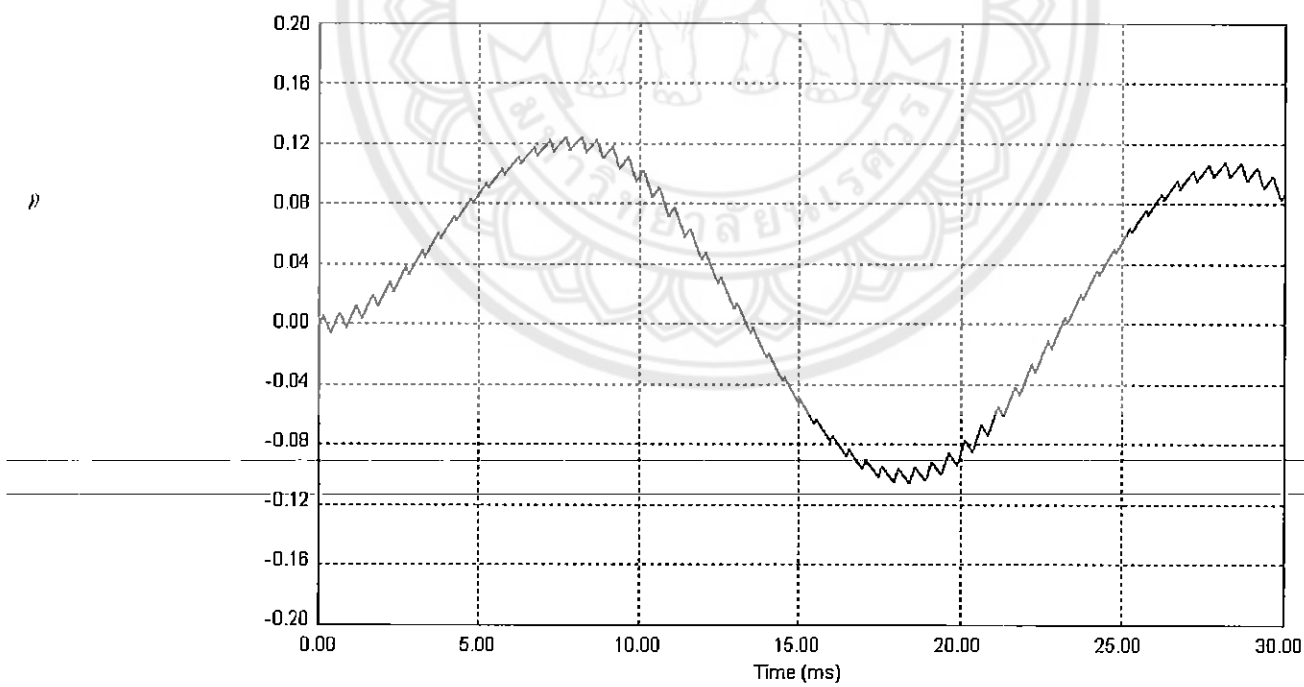


รูปที่ 4.28 แสดงสัญญาณแรงดันไฟฟ้าเอาต์พุตเมื่อ $m_a = 0.8$ โดยใช้การวิเคราะห์จากโปรแกรม PSIM

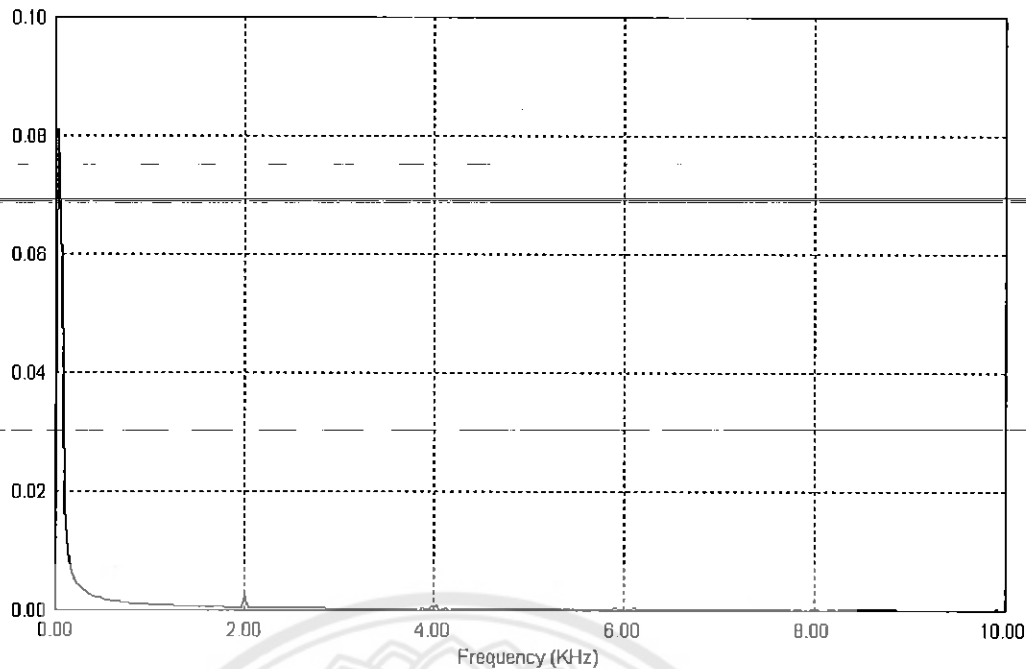
PSIM



รูปที่ 4.29 แสดงข้อมูลนิคスペกตรของสัญญาณแรงดันไฟฟ้าเอาต์พุตเมื่อ $m_a = 0.8$ เมื่อพิจารณา
สาร์มนิคถึงลำดับที่ 200 โดยใช้การวิเคราะห์จากโปรแกรม PSIM



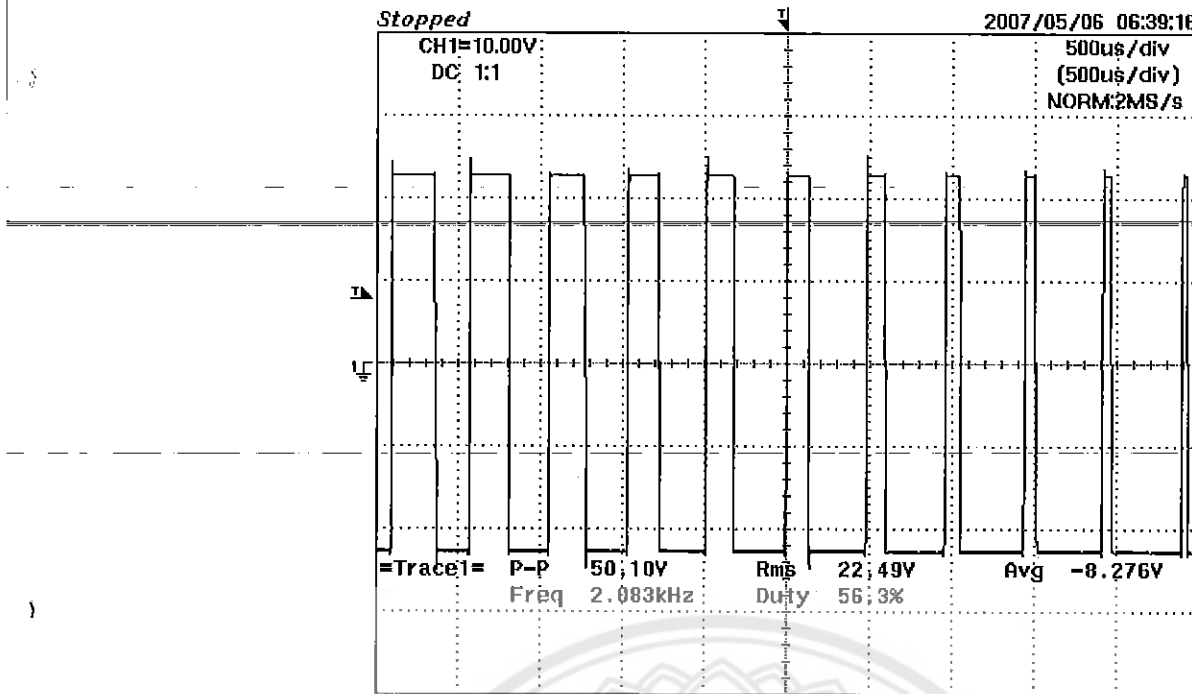
รูปที่ 4.30 แสดงสัญญาณกระแสไฟฟ้าเอาต์พุตเมื่อ $m_a = 0.8$ โดยใช้การวิเคราะห์จากโปรแกรม
PSIM



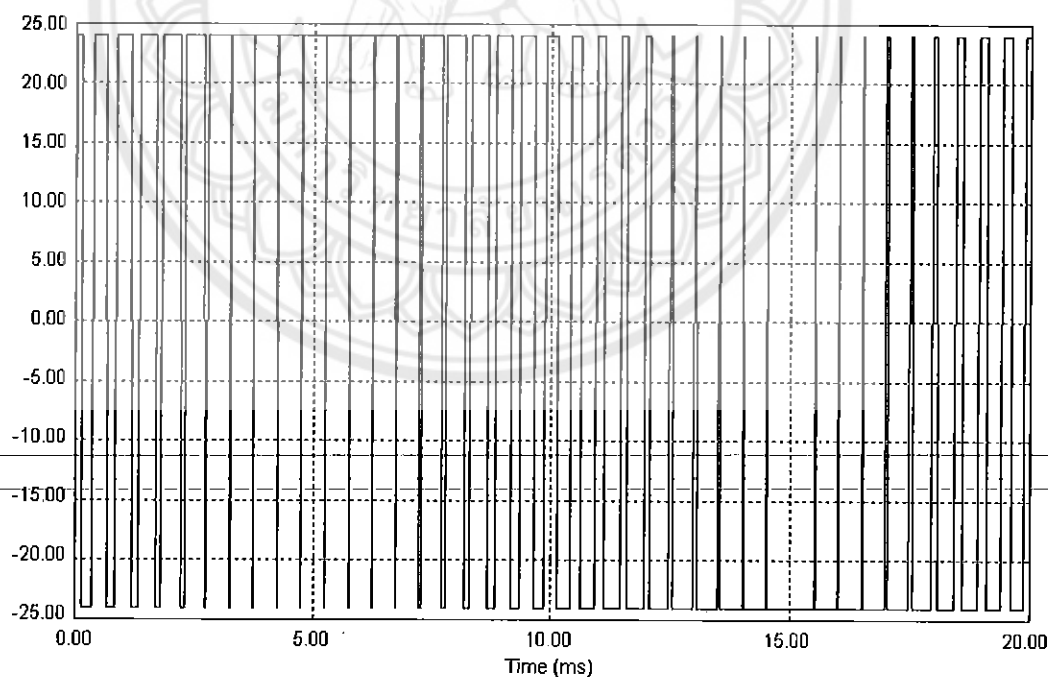
รูปที่ 4.31 แสดงขาร์มอนิคスペกตรของสัญญาณกระแสไฟฟ้าเอาต์พุทเมื่อ $m_a = 0.8$ เมื่อพิจารณา
ขาร์มอนิคถึงลำดับที่ 200 โดยใช้การวิเคราะห์จากโปรแกรม PSIM

จากรูปที่ 4.27 เป็นรูปคลื่นสัญญาณแรงดันไฟฟ้าเอาต์พุทเมื่อ $m_a = 0.8$ ที่ความถี่ 50 Hz ซึ่งเป็นสัญญาณที่วัดได้ริงจากสโคบและรูปที่ 4.28 เป็นสัญญาณที่ได้จากการจำลองการทำงานโดยใช้โปรแกรม PSIM ซึ่งเมื่อนำสัญญาณแรงดันไฟฟ้าเอาต์พุทไปวิเคราะห์ขาร์มอนิคโดยใช้ Fast Fourier Transform ซึ่งได้ผลตามรูปที่ 4.29 จะเห็นว่าเกิดขาร์มอนิคที่ความถี่มูลฐานและที่ความถี่ 2 kHz หรือ ลำดับที่ 40 ซึ่งผลการทดลองที่ได้เป็นไปตามทฤษฎี

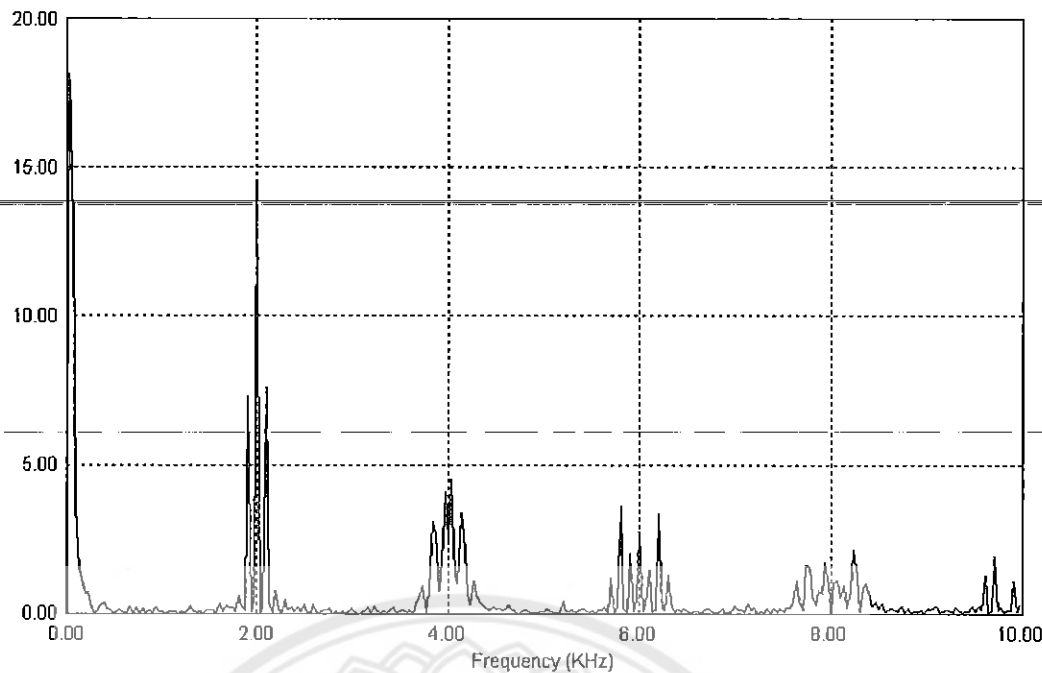
ในรูปที่ 4.30 เป็นรูปคลื่นสัญญาณกระแสไฟฟ้าเอาต์พุทที่ได้จากการจำลองการทำงานจากโปรแกรม PSIM และรูปที่ 4.31 เป็นการนำสัญญาณเอาต์พุทไปวิเคราะห์ขาร์มอนิคของกระแสโดยใช้ Fast Fourier Transform จะเห็นว่าขาร์มอนิคเกิดที่ความถี่หลักมูลและลำดับที่ 40 ซึ่งเป็นไปตามทฤษฎี



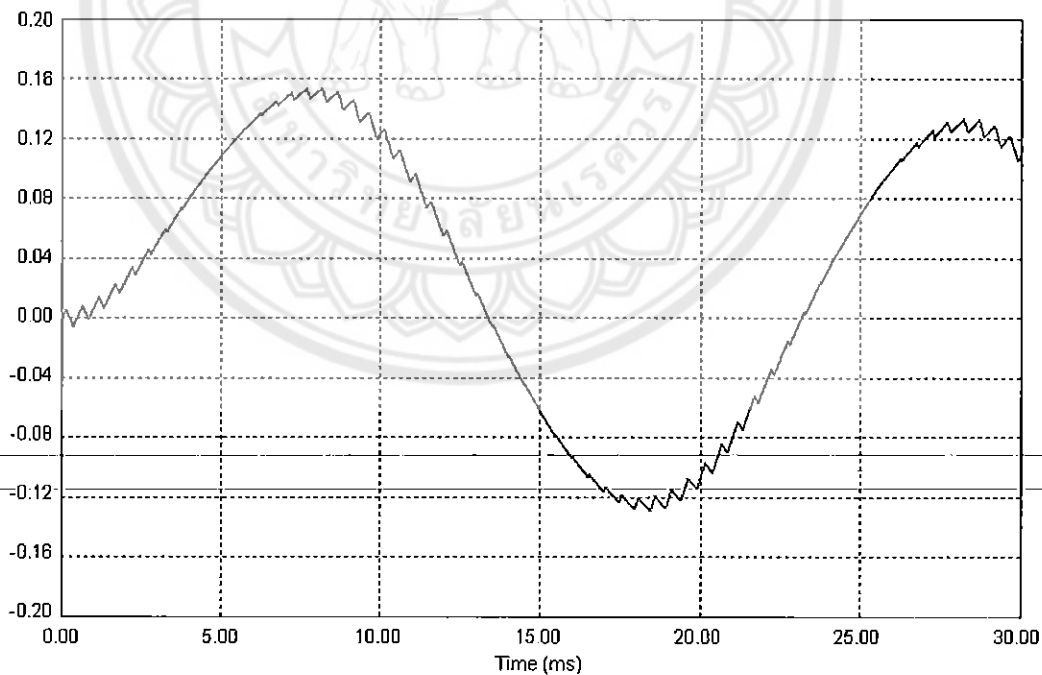
รูปที่ 4.32 แสดงสัญญาณแรงดันไฟฟ้าเอาต์พุตเมื่อ $m_a = 1.0$



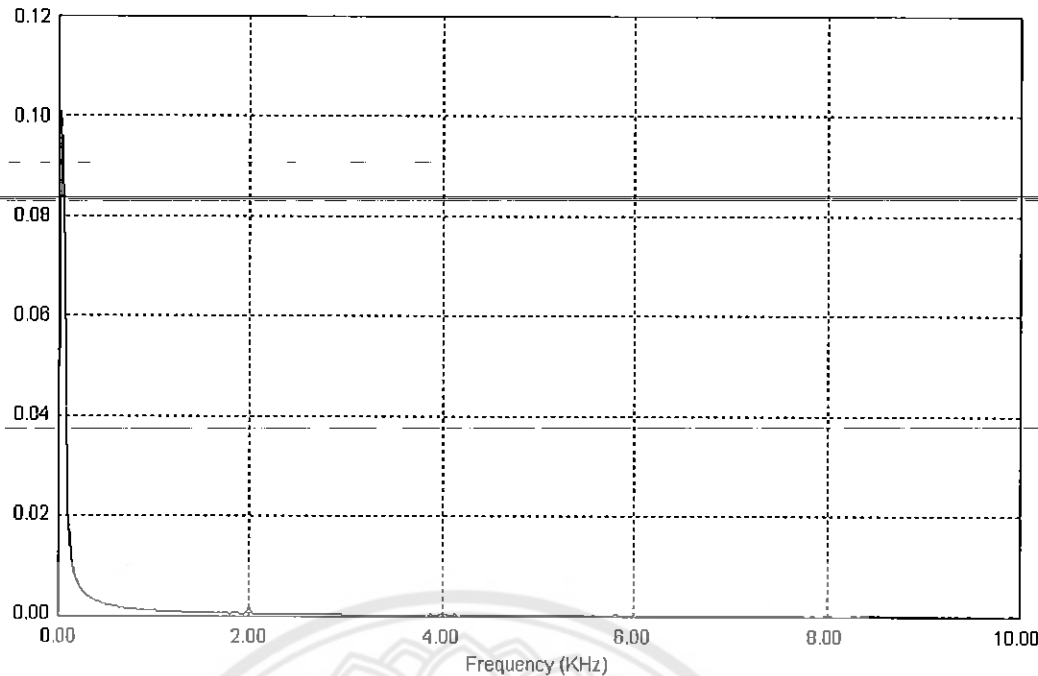
รูปที่ 4.33 แสดงสัญญาณแรงดันไฟฟ้าเอาต์พุตเมื่อ $m_a = 1.0$ โดยใช้การวิเคราะห์จากโปรแกรม PSIM



รูปที่ 4.34 แสดงขาร์มนิ่กสเปกตรของสัญญาณแรงดันไฟฟ้าเอาต์พุทเมื่อ $m_a = 1.0$ เมื่อพิจารณา
ขาร์มนิคถึงลำดับที่ 200 โดยใช้การวิเคราะห์จากโปรแกรม PSIM



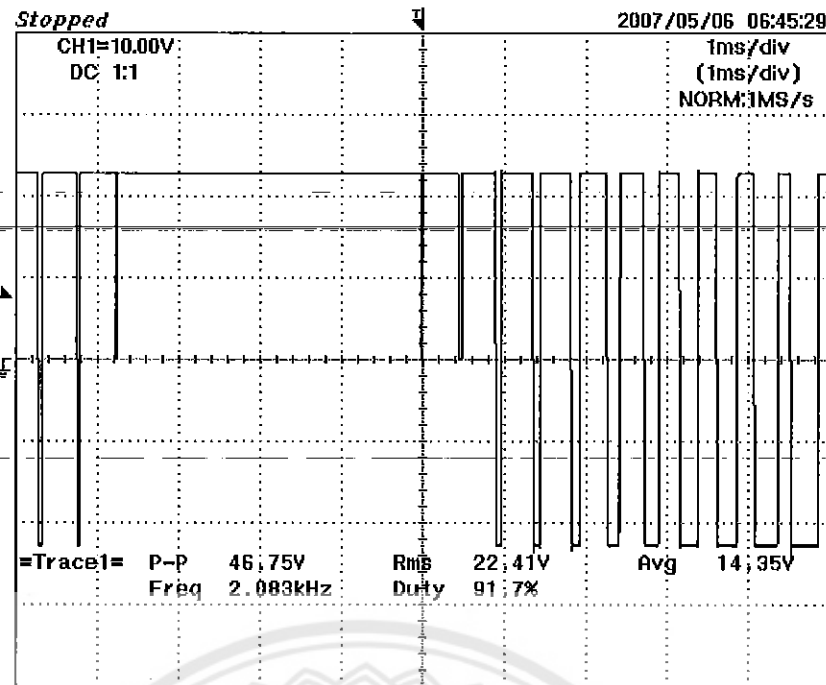
รูปที่ 4.35 แสดงสัญญาณกระแสไฟฟ้าเอาต์พุทเมื่อ $m_a = 1.0$ โดยใช้การวิเคราะห์จากโปรแกรม
PSIM



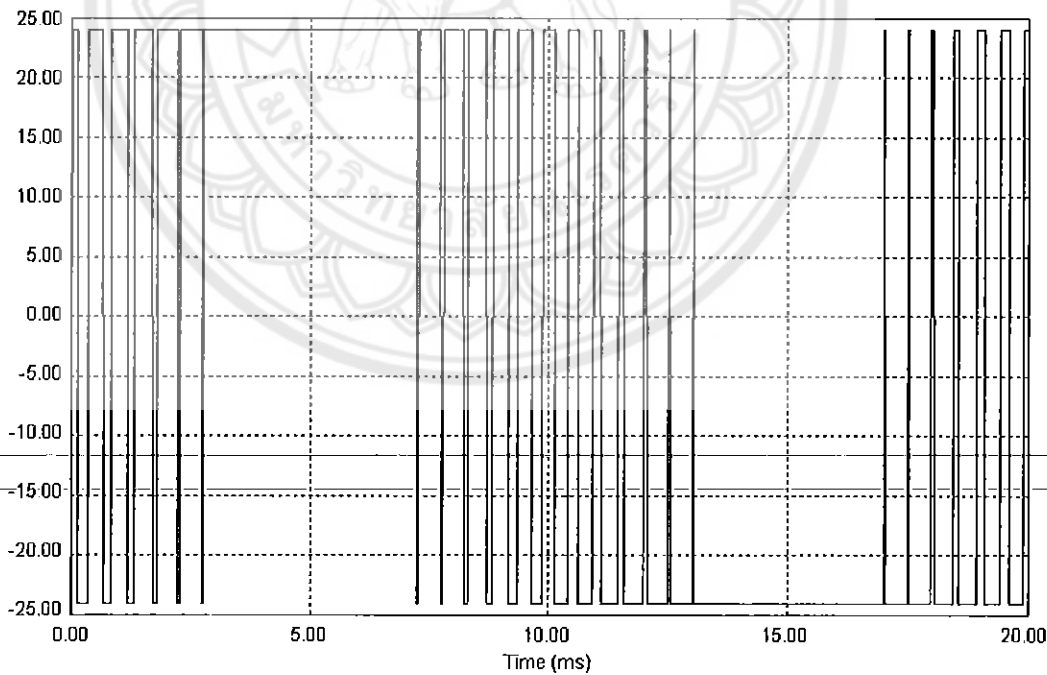
รูปที่ 4.36 แสดงขาร์มอนิกส์スペกตรของสัญญาณกระแสไฟฟ้าเอาต์พุทเมื่อ $m_a = 1.0$ เมื่อพิจารณา
ขาร์มอนิกถึงลำดับที่ 200 โดยใช้การวิเคราะห์จากโปรแกรม PSIM

จากรูปที่ 4.32 เป็นรูปคลื่นสัญญาณแรงดันไฟฟ้าเอาต์พุทเมื่อ $m_a = 1.0$ ที่ความถี่ 50 Hz ซึ่งเป็นสัญญาณที่วัดได้จริงจากโลกใบและรูปที่ 4.33 เป็นสัญญาณที่ได้จากการจำลองการทำงานโดยใช้โปรแกรม PSIM ซึ่งเมื่อนำสัญญาณแรงดันไฟฟ้าเอาต์พุทไปวิเคราะห์ขาร์มอนิก โดยใช้ Fast Fourier Transform ซึ่งได้ผลตามรูปที่ 4.34 จะเห็นว่าเกิดขาร์มอนิกที่ความถี่มูลฐานและที่ความถี่ 2 kHz หรือ ลำดับที่ 40 ซึ่งผลการทดลองที่ได้เป็นไปตามทฤษฎี

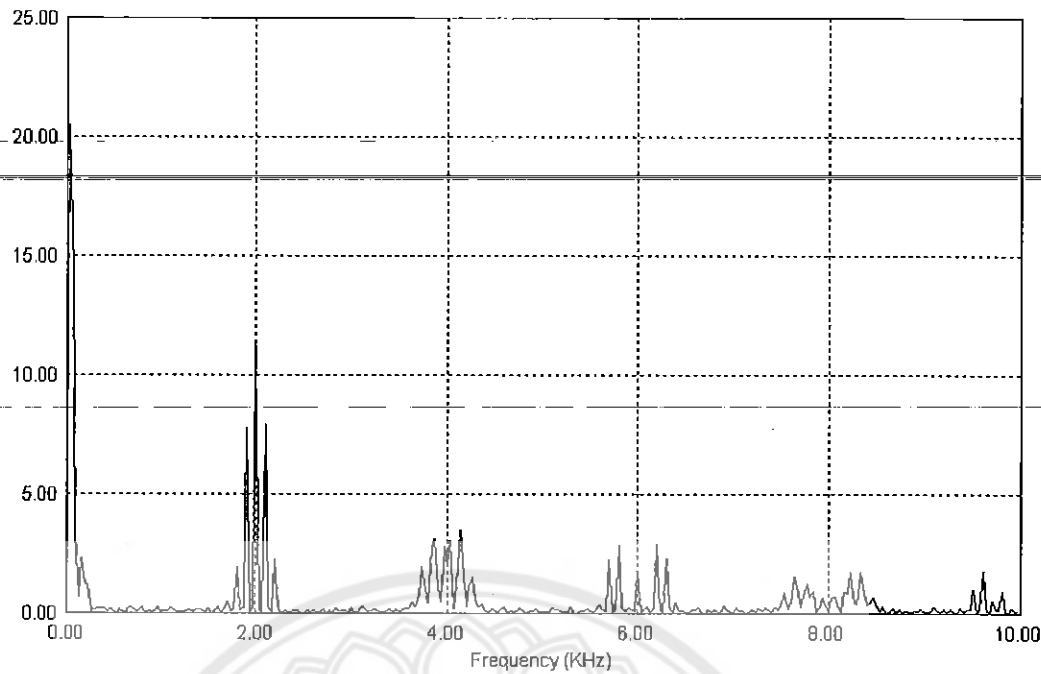
ในรูปที่ 4.35 เป็นรูปคลื่นสัญญาณกระแสไฟฟ้าเอาต์พุทที่ได้จากการจำลองการทำงานจากโปรแกรม PSIM และรูปที่ 4.36 เป็นการนำสัญญาณเอาต์พุทไปวิเคราะห์ขาร์มอนิกของกระแสโดยใช้ Fast Fourier Transform จะเห็นว่าขาร์มอนิกเกิดที่ความถี่หลักมูตและลำดับที่ 40 ซึ่งเป็นไปตามทฤษฎี



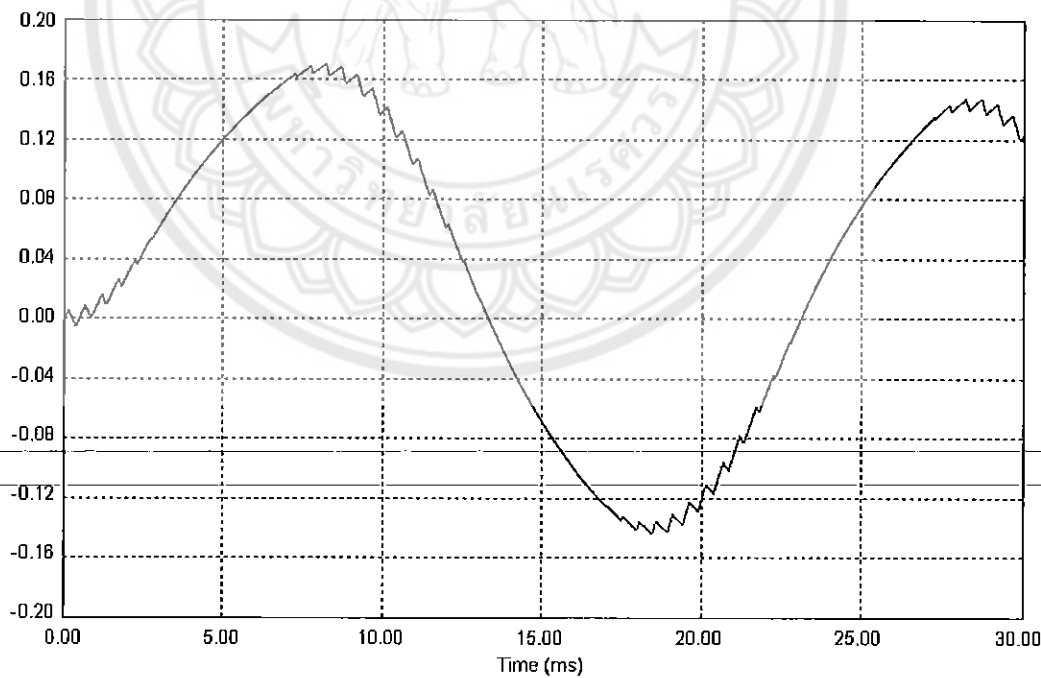
รูปที่ 4.37 แสดงสัญญาณแรงดันไฟฟ้าเอาต์พุตเมื่อ $m_a = 1.2$



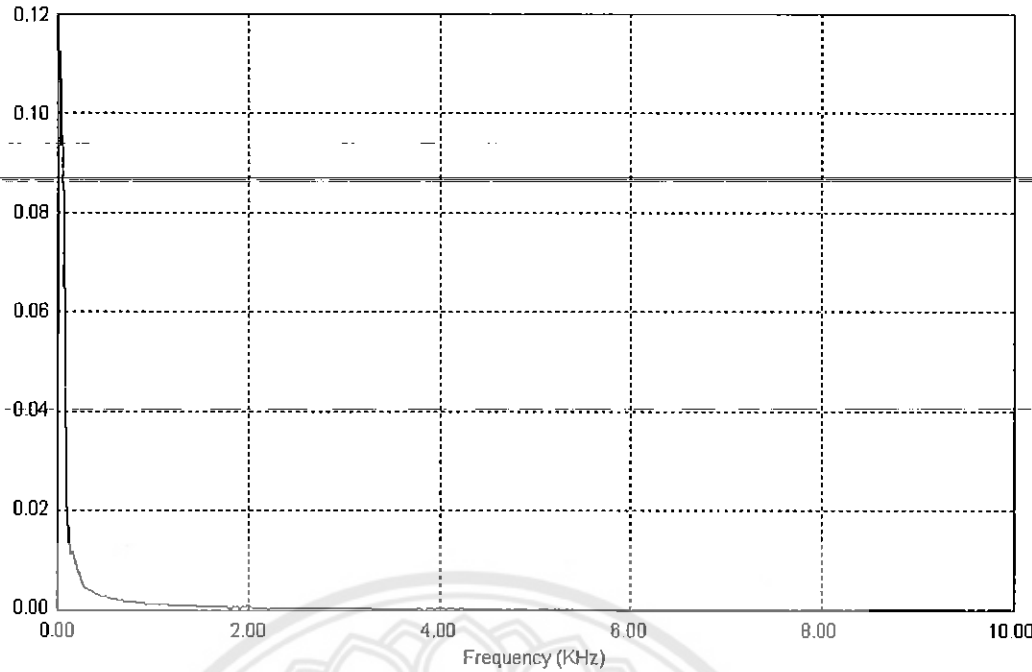
รูปที่ 4.38 แสดงสัญญาณแรงดันไฟฟ้าเอาต์พุตเมื่อ $m_a = 1.2$ โดยใช้การวิเคราะห์จากโปรแกรม PSIM



รูปที่ 4.39 แสดงชาร์มนิคสเปกตรของสัญญาณแรงดันไฟฟ้าเอาต์พุทเมื่อ $m_a = 1.2$ เมื่อพิจารณาชาร์มนิคถึงลำดับที่ 200 โดยใช้การวิเคราะห์จากโปรแกรม PSIM



รูปที่ 4.40 แสดงสัญญาณกระแสไฟฟ้าเอาต์พุทเมื่อ $m_a = 1.2$ โดยใช้การวิเคราะห์จากโปรแกรม PSIM



รูปที่ 4.41 แสดงขาร์มนิคสเปกตรของสัญญาณกระแสไฟฟ้าเอตพุทเมื่อ $m_a = 1.2$ เมื่อพิจารณา
ขาร์มนิคถึงลำดับที่ 200 โดยใช้การวิเคราะห์จากโปรแกรม PSIM

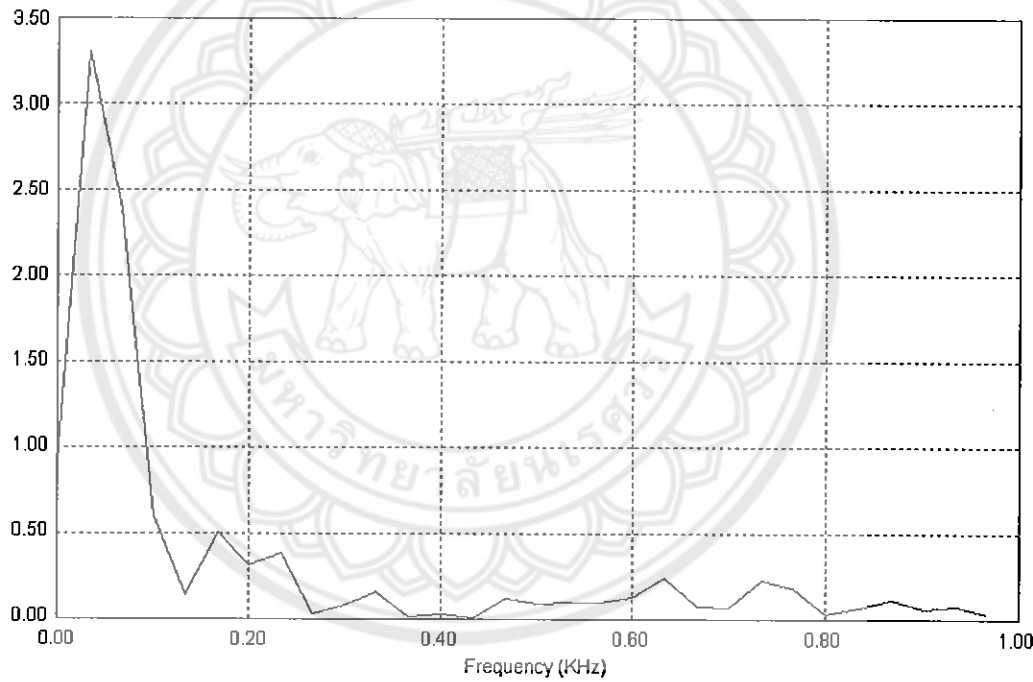
จากรูปที่ 4.37 เป็นรูปคลื่นสัญญาณแรงดันไฟฟ้าเอตพุทเมื่อ $m_a = 1.2$ ที่ความถี่ 50 Hz ซึ่งเป็นสัญญาณที่วัดได้จริงจากสโคปและรูปที่ 4.38 เป็นสัญญาณที่ได้จากการจำลองการทำงานโดยใช้โปรแกรม PSIM ซึ่งเมื่อนำสัญญาณแรงดันไฟฟ้าเอตพุทไปวิเคราะห์ขาร์มนิคโดยใช้ Fast Fourier Transform ซึ่งได้ผลตามรูปที่ 4.39 จะเห็นว่าเกิดขาร์มนิคที่ความถี่มูลฐานและที่ความถี่ 2 kHz หรือ ลำดับที่ 40 ซึ่งผลการทดลองที่ได้เป็นไปตามทฤษฎี

ในรูปที่ 4.40 เป็นรูปคลื่นสัญญาณกระแสไฟฟ้าเอตพุทที่ได้จากการจำลองการทำงานจากโปรแกรม PSIM และรูปที่ 4.41 เป็นการนำสัญญาณเอตพุทไปวิเคราะห์ขาร์มนิคของกระแสโดยใช้ Fast Fourier Transform จะเห็นว่าขาร์มนิคเกิดที่ความถี่หลักมูลและลำดับที่ 40 ซึ่งเป็นไปตามทฤษฎี

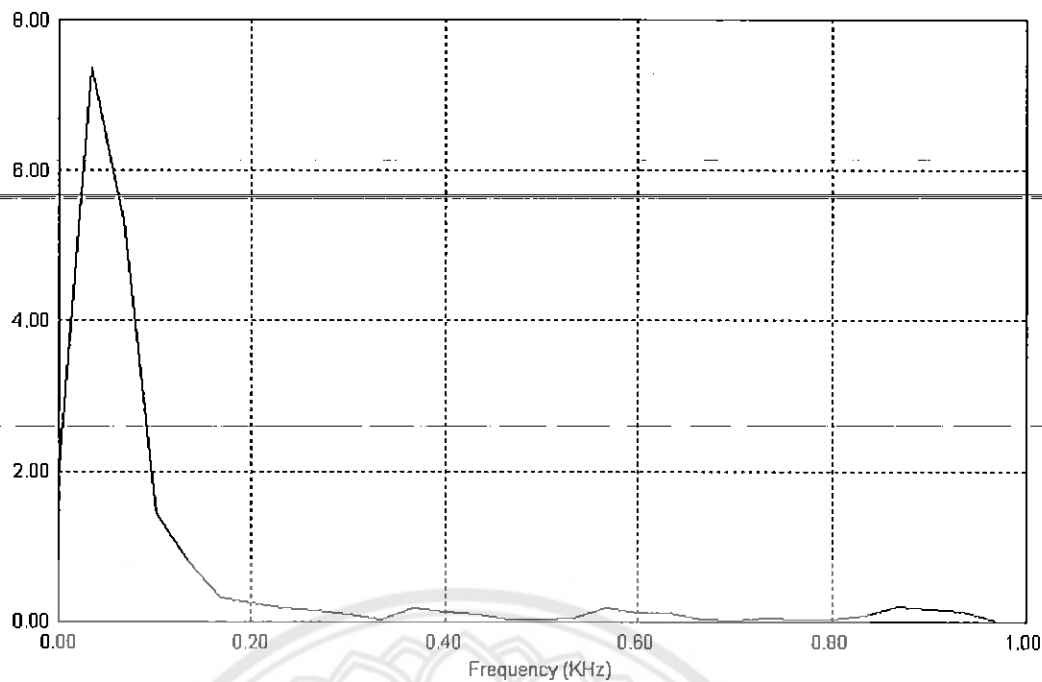
4.2 วิเคราะห์ผลการทดลอง

4.2.1 การวิเคราะห์รูปคลื่นสัญญาณแรงดันไฟฟ้าเอาต์พุท

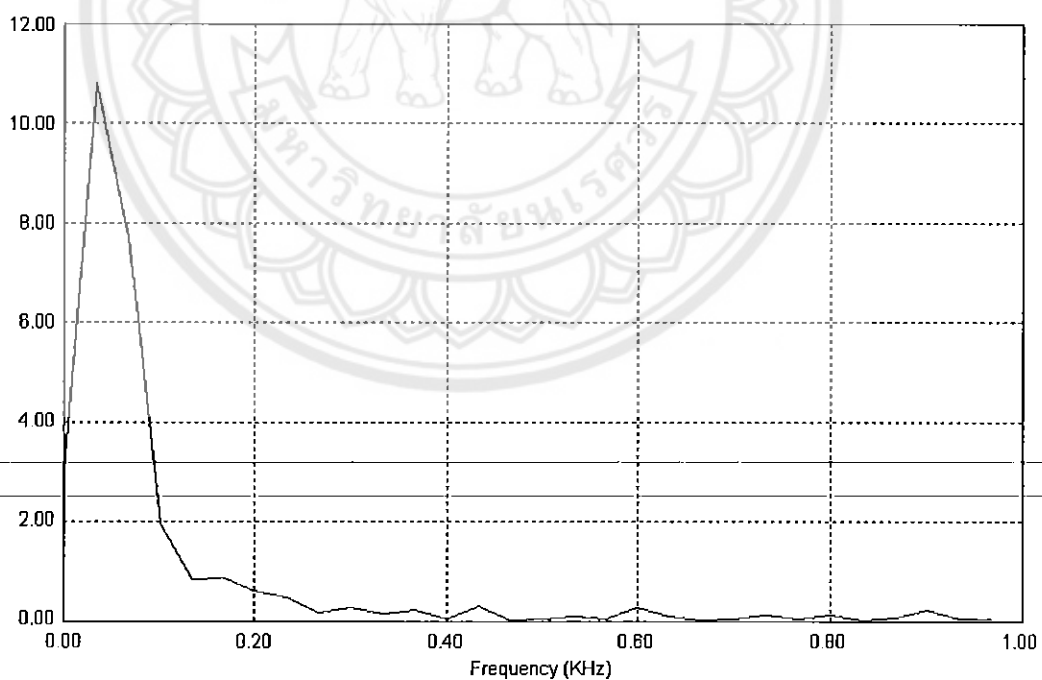
ทำการวิเคราะห์ผลการทดลองในส่วนของแรงดันไฟฟ้าเอาต์พุท โดยการนำรูปคลื่นสัญญาณในการวิเคราะห์าร์มอนิกที่ค่า m_a ตั้งแต่ 0.2 – 1.2 ตั้งแต่รูปที่ 4.42 – 4.47 มาเปรียบเทียบกันจะเห็นว่า ค่าแรงดันไฟฟ้าเอาต์พุทที่ความถี่หลักมูลจะมีค่าเปลี่ยนตามค่า m_a ที่เพิ่มขึ้นแต่ในส่วนของาร์มอนิกที่ลำดับต่อๆ ๆ จะมีค่าลดลงเมื่อค่า m_a เพิ่มขึ้นจากนั้นจะมีค่าเพิ่มขึ้นเมื่อ m_a มีค่ามากกว่า 1 หรือ ในช่วง ໂອເວັຣົມອຄູເລ່ສັນໜຶ່ງເປັນໄປຕາມທຸກໆ



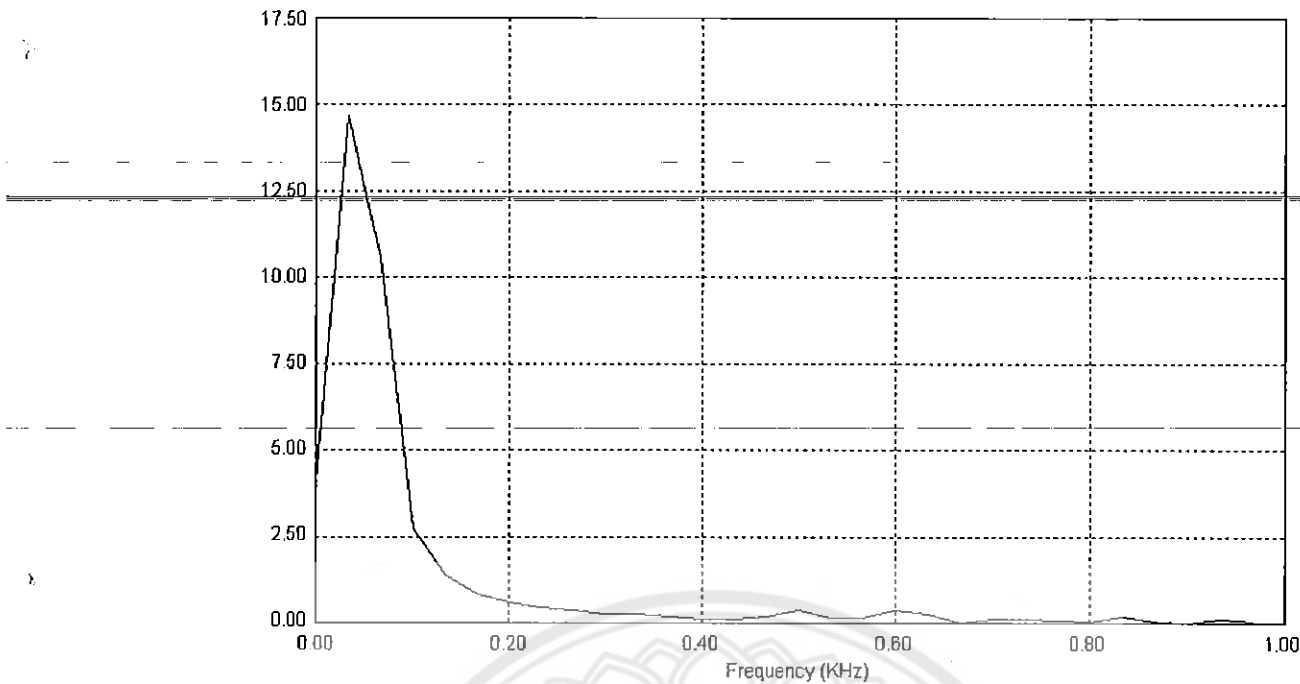
รูปที่ 4.42 เส้นขอร์มอนิกสเปกตรายของสัญญาณแรงดันไฟฟ้าเอาต์พุทเมื่อ $m_a = 0.2$ เมื่อพิจารณา
ขอร์มอนิกถึงลำดับที่ 20 โดยใช้วิเคราะห์จากໂປຣແກຣມ PSIM



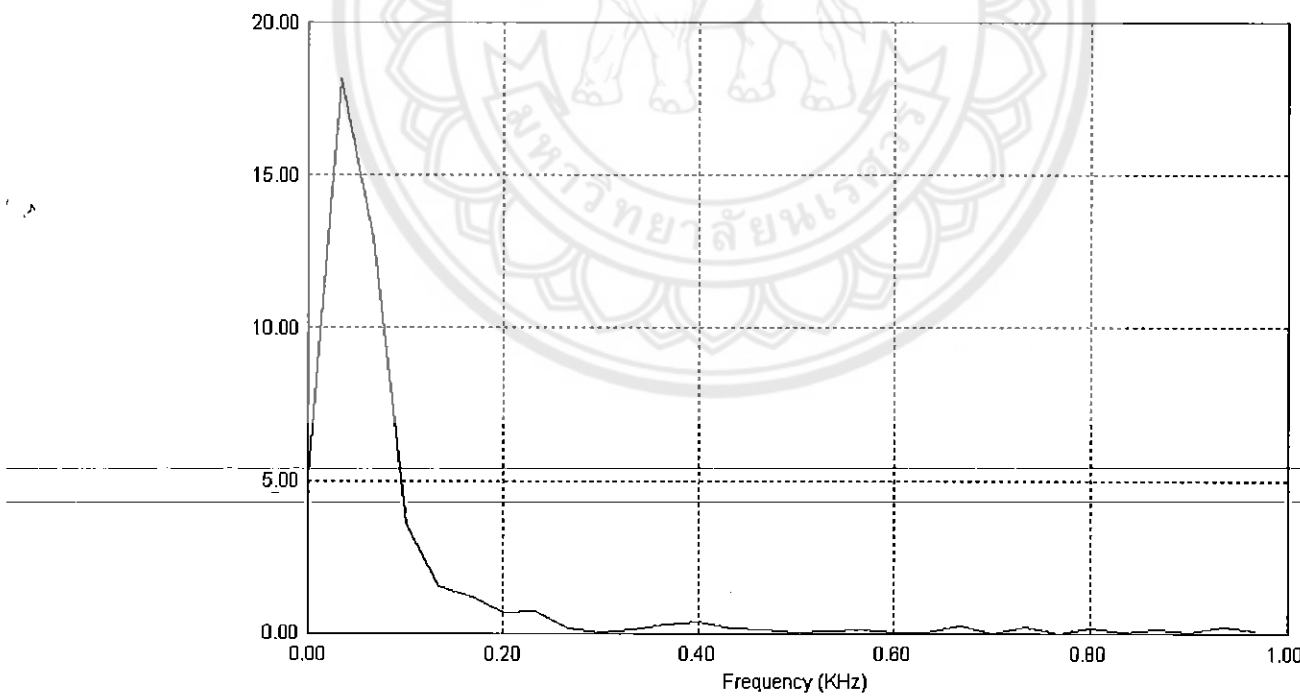
รูปที่ 4.43 แสดงชาร์มนิคสเปกตรของสัญญาณแรงดันไฟฟ้าเอาต์พุตเมื่อ $m_a = 0.4$ เมื่อพิจารณาชาร์มนิคถึงลำดับที่ 20 โดยใช้การวิเคราะห์จากโปรแกรม PSIM



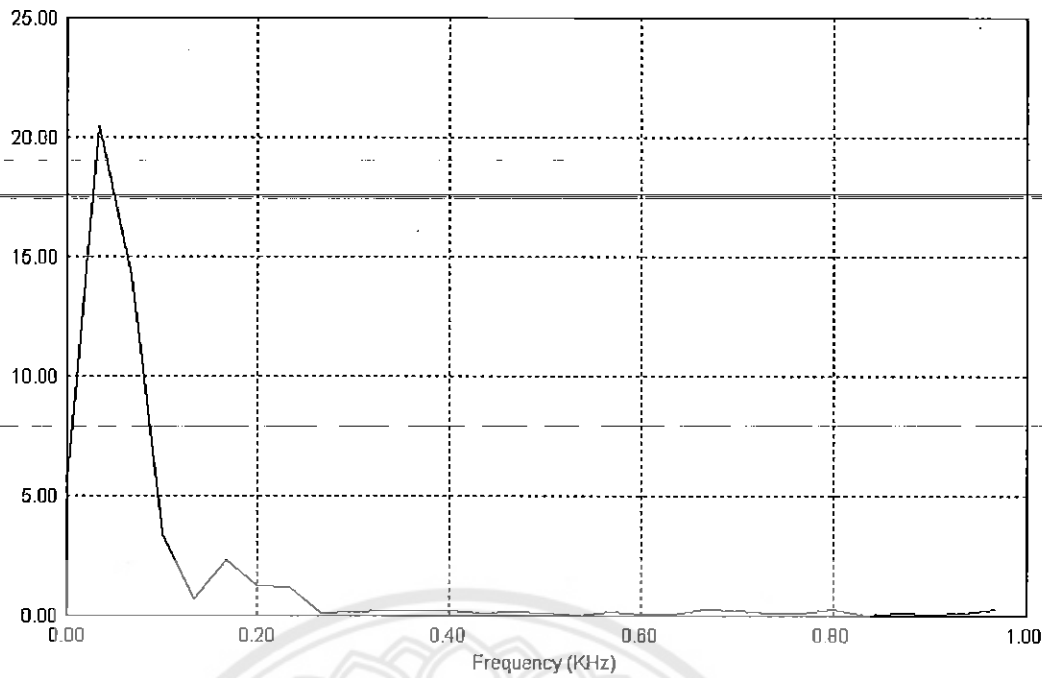
รูปที่ 4.44 แสดงชาร์มนิคสเปกตรของสัญญาณแรงดันไฟฟ้าเอาต์พุตเมื่อ $m_a = 0.6$ เมื่อพิจารณาชาร์มนิคถึงลำดับที่ 20 โดยใช้การวิเคราะห์จากโปรแกรม PSIM



รูปที่ 4.45 แสดง har'm อนิคสเปกตรายของสัญญาณแรงดันไฟฟ้าเอกสารพุทเมื่อ $m_a = 0.8$ เมื่อพิจารณา har'm อนิกถึงลำดับที่ 20 โดยใช้การวิเคราะห์จากโปรแกรม PSIM



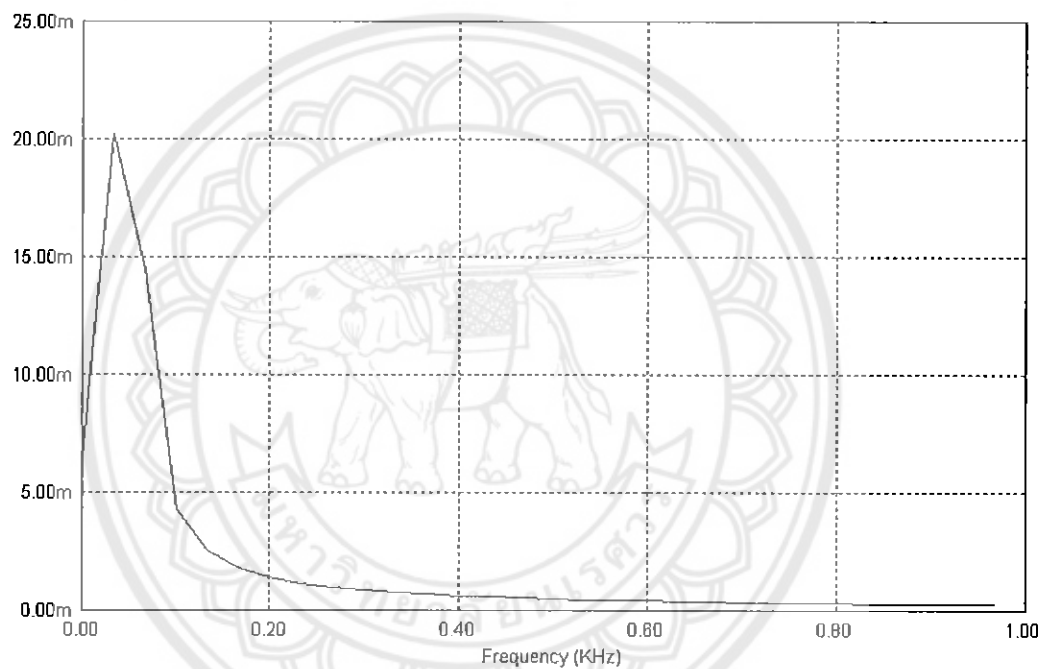
รูปที่ 4.46 แสดง har'm อนิคสเปกตรายของสัญญาณแรงดันไฟฟ้าเอกสารพุทเมื่อ $m_a = 1.0$ เมื่อพิจารณา har'm อนิกถึงลำดับที่ 20 โดยใช้การวิเคราะห์จากโปรแกรม PSIM



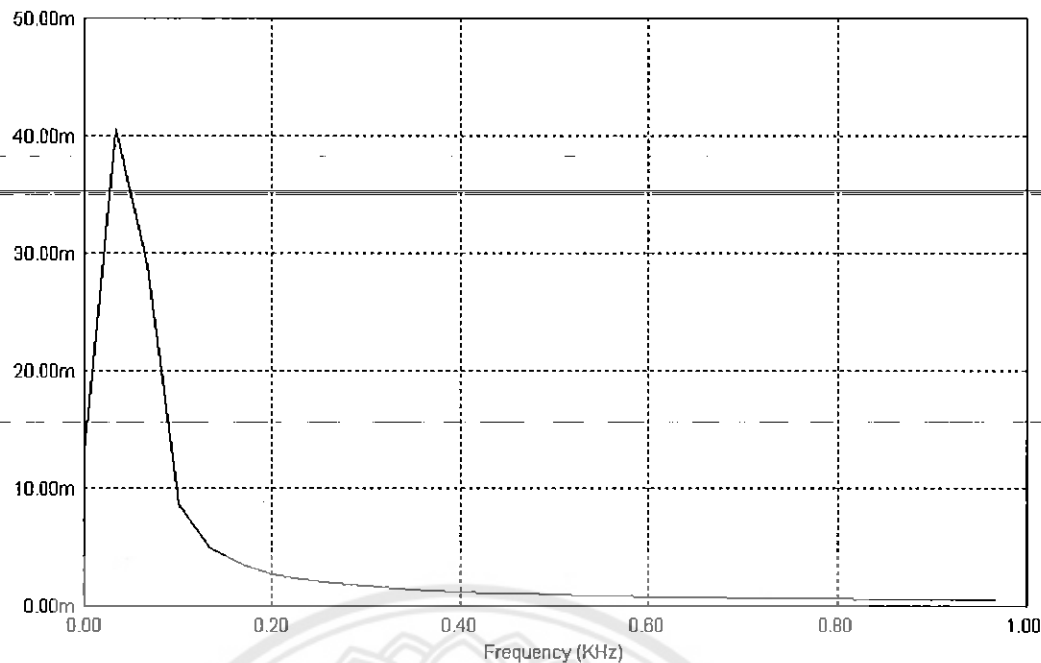
รูปที่ 4.47 แสดงขาร์มนิคสเปกตรของลำโพงแรงดันไฟฟ้าเอตพุทเมื่อ $m_a = 1.2$ เมื่อพิจารณา
ขาร์มนิคถึงลำดับที่ 20 โดยใช้การวิเคราะห์จากโปรแกรม PSIM

4.2.2 การวิเคราะห์รูปคลื่นสัญญาณกระแสไฟฟ้าเอตทุก

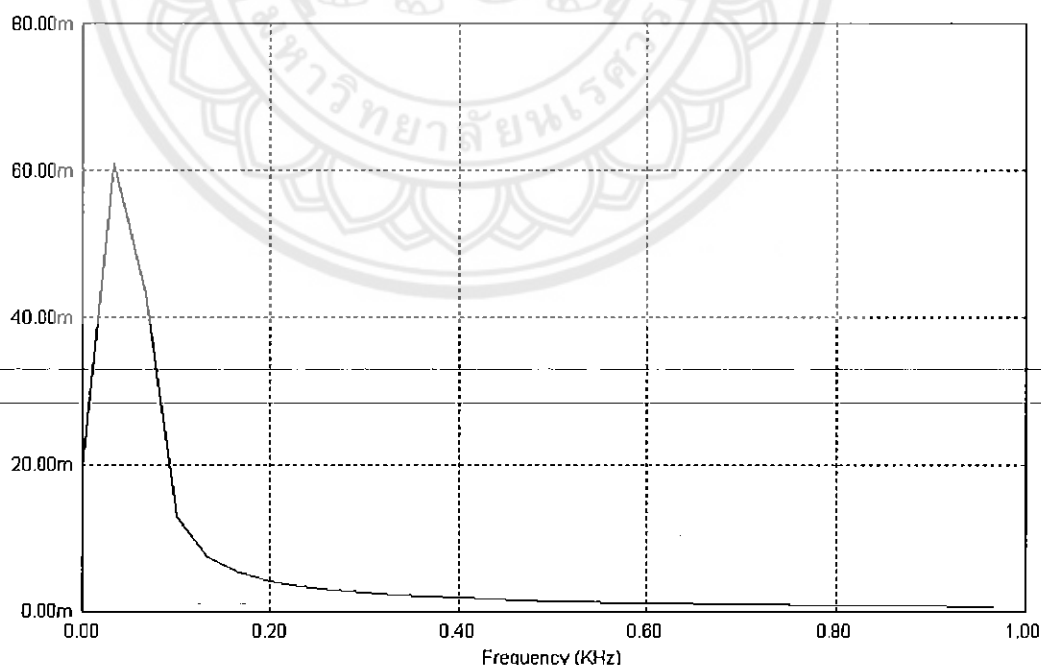
จากการเปรียบเทียบรูปคลื่นสัญญาณหาร์มนิกที่ค่า m_a ตั้งแต่ 0.2 – 1.2 ตั้งแต่รูปที่ 4.48 – 4.53 จะเห็นว่าค่ากระแสไฟฟ้าเอตพุทที่ค่า m_a ตั้งแต่ 0.2 – 1.2 จะเห็นว่าค่ากระแสไฟฟ้าเอตพุทที่ความถี่หลักจะมีค่าแปรผันตรงกันกับค่า m_a ที่เพิ่มขึ้นแต่ในส่วนของหาร์มนิกที่ลำดับต่อๆ จะมีค่าลดลงเมื่อค่า m_a เพิ่มขึ้นจากนั้นจะมีค่าเพิ่มขึ้นเมื่อ m_a มีค่ามากกว่า 1 หรือในช่วงໂວເວຣົມອຸເສ່ນໜຶ່ງເປັນໄປຕາມທѹ່ງ



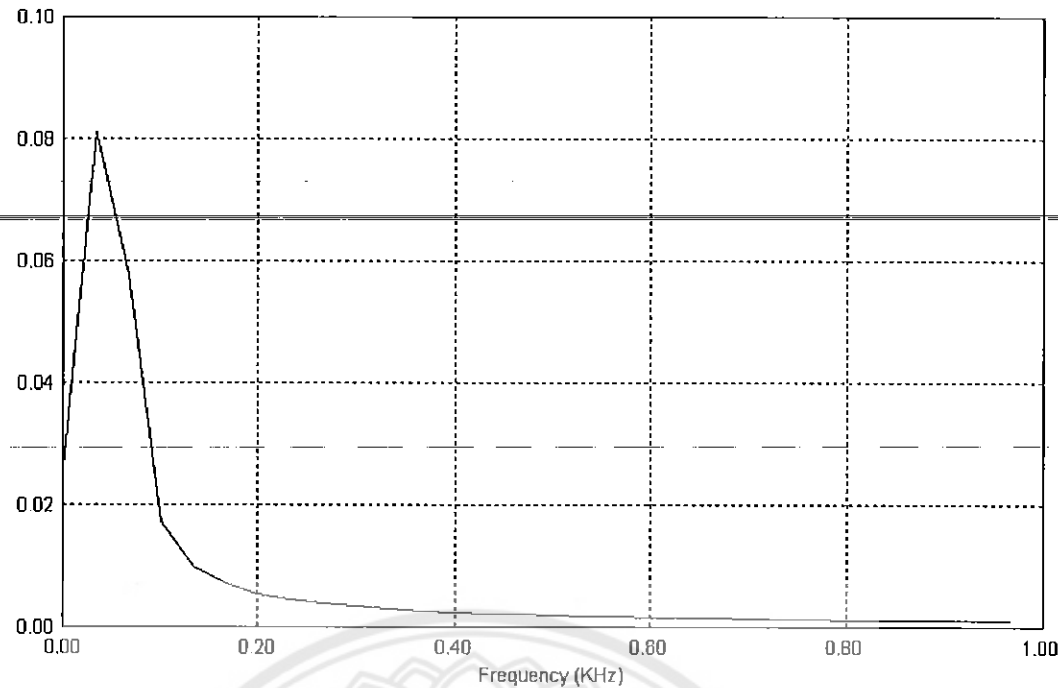
รูปที่ 4.48 แสดงหาร์มนิกスペกตรของสัญญาณกระแสไฟฟ้าเอตพุทเมื่อ $m_a = 0.2$ เมื่อพิจารณาหาร์มนิกถึงลำดับที่ 20 โดยใช้การวิเคราะห์จากໂປຣແກຣມ PSIM



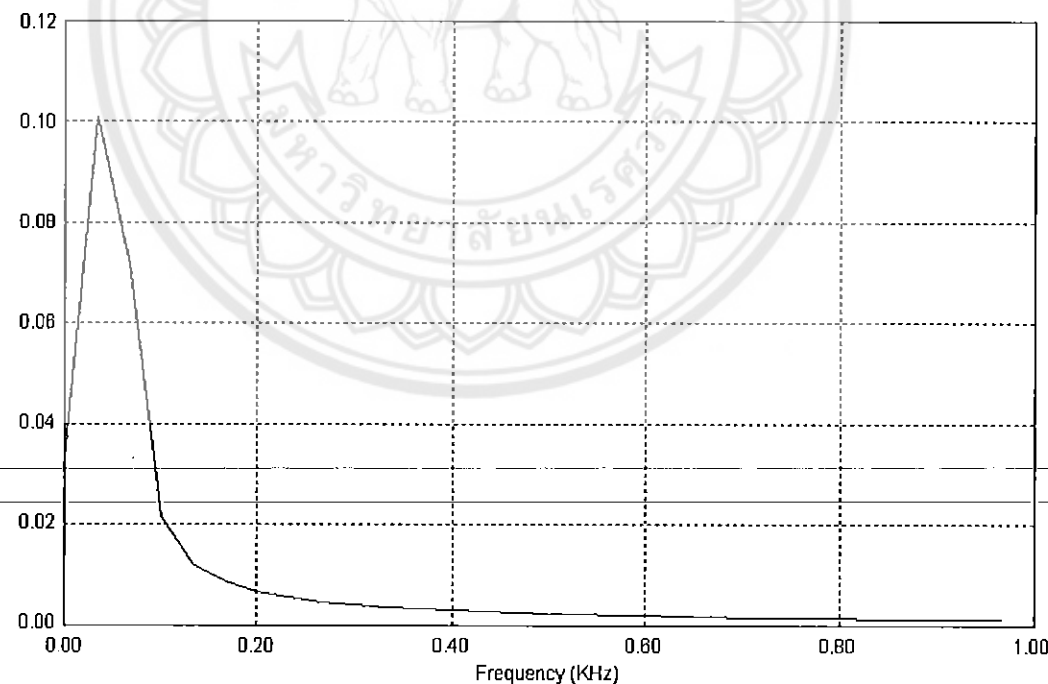
รูปที่ 4.49 แสดงchar์มนิคสเปกตรของสัญญาณกระแสไฟฟ้าเอตพุทเมื่อ $m_a = 0.4$ เมื่อพิจารณา
char์มนิคถึงลำดับที่ 20 โดยใช้การวิเคราะห์จากโปรแกรม PSIM



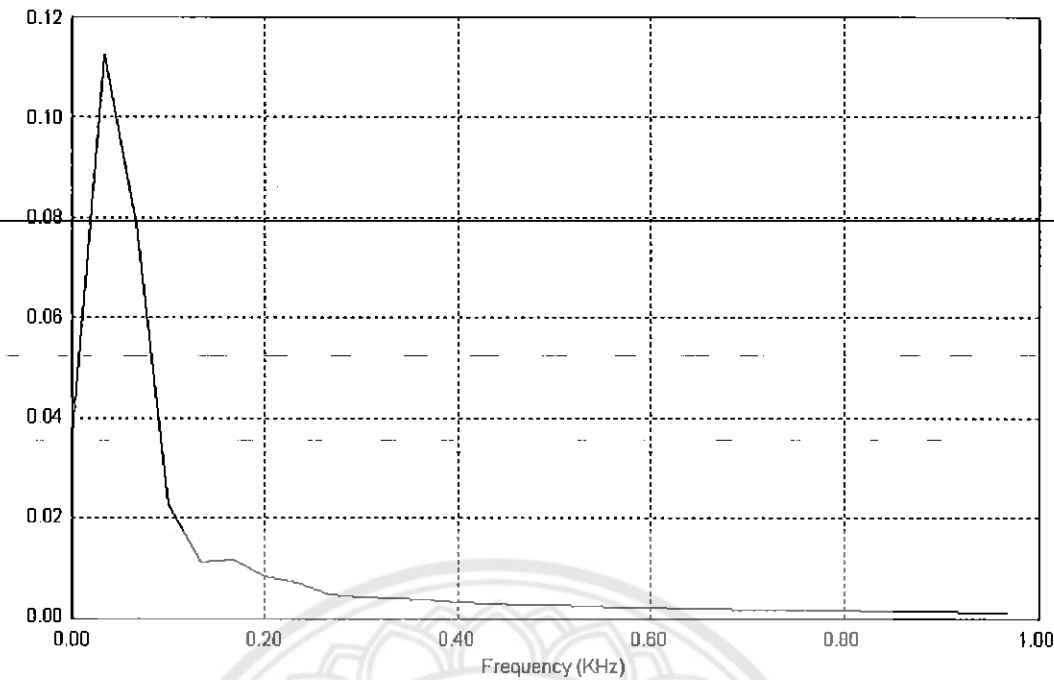
รูปที่ 4.50 แสดงchar์มนิคสเปกตรของสัญญาณกระแสไฟฟ้าเอตพุทเมื่อ $m_a = 0.6$ เมื่อพิจารณา
char์มนิคถึงลำดับที่ 20 โดยใช้การวิเคราะห์จากโปรแกรม PSIM



รูปที่ 4.51 แสดงขาร์มอนิกสเปกตรของสัญญาณกระแสไฟฟ้าเอาต์พุทเมื่อ $m_a = 0.8$ เมื่อพิจารณา
ขาร์มอนิกถึงลำดับที่ 20 โดยใช้การวิเคราะห์จากโปรแกรม PSIM



รูปที่ 4.52 แสดงขาร์มอนิกสเปกตรของสัญญาณกระแสไฟฟ้าเอาต์พุทเมื่อ $m_a = 1.0$ เมื่อพิจารณา
ขาร์มอนิกถึงลำดับที่ 20 โดยใช้การวิเคราะห์จากโปรแกรม PSIM



รูปที่ 4.53 แสดงชาร์มนอนิคスペกตรของสัญญาณกระแสไฟฟ้าเอาต์พุทเมื่อ $m_a = 1.2$ เมื่อพิจารณาชาร์มนอนิคถึงลำดับที่ 20 โดยใช้การวิเคราะห์จากโปรแกรม PSIM

ตารางเปรียบเทียบค่าดัชนีคุณภาพของรูปคลื่นสัญญาณแรงดันไฟฟ้าเอาต์พุทและรูปคลื่นสัญญาณกระแสไฟฟ้าเอาต์พุทที่ได้จากการทำงานในการใช้เทคนิคการสวิตชิ่งแบบ SPWM เมื่อทำการเปลี่ยนแปลงค่า m_a ตั้งแต่ 0.2 – 1.2

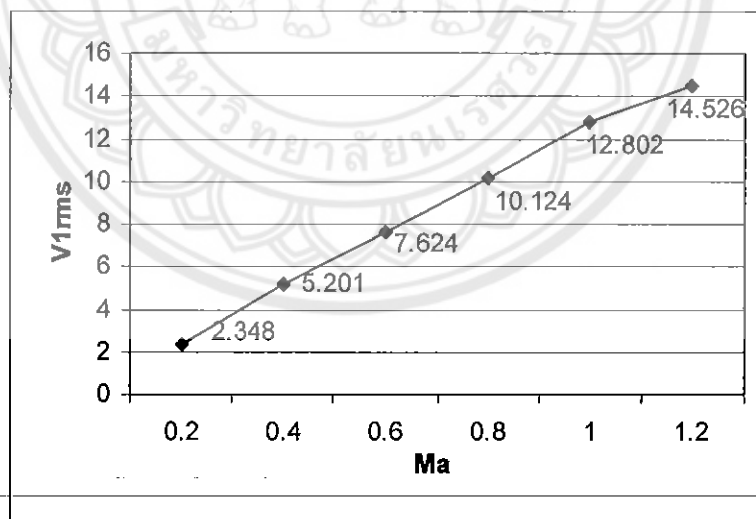
ตารางที่ 4.1 ค่าดัชนีคุณภาพของรูปคลื่นสัญญาณแรงดันไฟฟ้าเอาต์พุทจากการจำลองการทำงาน

เทคนิค	m_a	ค่าดัชนีคุณภาพของรูปคลื่นสัญญาณแรงดันไฟฟ้าเอาต์พุท		
		$V_{1rms} (V)$	THD_v	DF_1
SPWM	0.2	2.348	12.744	0.353
	0.4	5.201	5.311	0.199
	0.6	7.624	3.184	0.162
	0.8	10.124	1.973	0.159
	1.0	12.802	1.315	0.157
	1.2	14.526	1.613	0.160

ตารางที่ 4.2 ค่าดัชนีคุณภาพของรูปคลื่นสัญญาณกระแสไฟฟ้าเอาต์พุทจากการทดลองการทำงาน

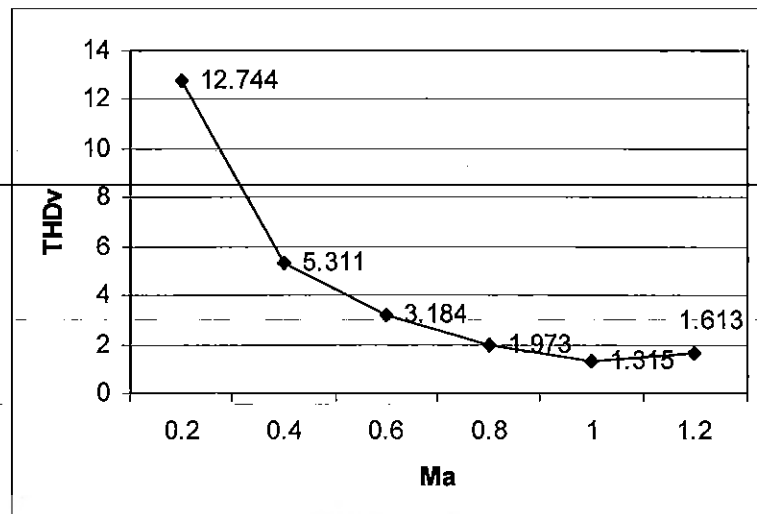
เทคนิค	m_a	ค่าดัชนีคุณภาพของรูปคลื่นสัญญาณแรงดันไฟฟ้าเอาต์พุท	
		$I_{1rms} (A)$	THD_v
SPWM	0.2	0.014	0.540
	0.4	0.029	0.407
	0.6	0.043	0.405
	0.8	0.059	0.383
	1.0	0.074	0.381
	1.2	0.081	0.388

รูปที่ 4.54 แสดงค่าแรงดันไฟฟ้าเอาต์พุทที่ค่า m_a ตั้งแต่ 0.2 – 1.2 จะเห็นว่าผลที่ได้มีค่ามากขึ้นตามลำดับซึ่งเป็นไปตามทฤษฎี



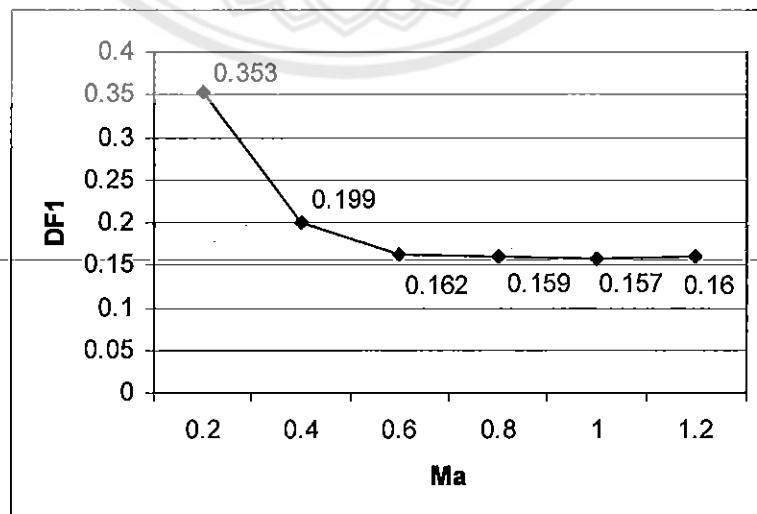
รูปที่ 4.54 แสดงการเปรียบเทียบค่า V_{1rms} ที่ค่า m_a ตั้งแต่ 0.2 – 1.2

รูปที่ 4.55 แสดงความสัมพันธ์ของค่า THD_v และค่า m_a จากผลการทดลองค่า THD_v จะมีค่าลดลงอย่างต่อเนื่องและมีค่าต่ำที่สุดเมื่อค่า m_a มีค่าเท่ากับ 1.0 จากเมื่อค่า m_a มีค่ามากกว่า 1.0 นั้นค่า THD_v จะเพิ่มขึ้นซึ่งผลที่ได้เป็นไปตามทฤษฎี



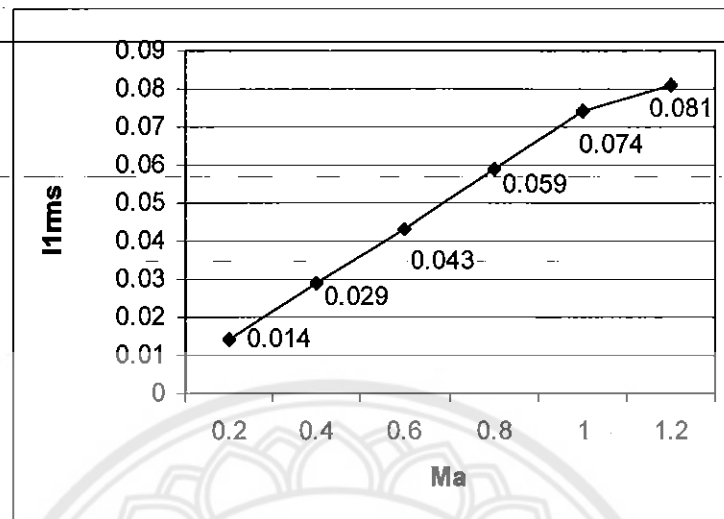
รูปที่ 4.55 แสดงการเปรียบเทียบค่า THD_v ที่ค่า m_a ตั้งแต่ 0.2 – 1.2

รูปที่ 4.56 แสดงความสัมพันธ์ของค่า DF_1 และค่า m_a จากผลการทดลองค่า DF_1 จะมีค่าลดลงอย่างต่อเนื่องและมีค่าต่ำที่สุดเมื่อค่า m_a มีค่าเท่ากับ 1.0 จากเมื่อค่า m_a มีค่ามากกว่า 1.0 นั้นค่า DF_1 จะเพิ่มขึ้นซึ่งผลที่ได้เป็นไปตามทฤษฎี



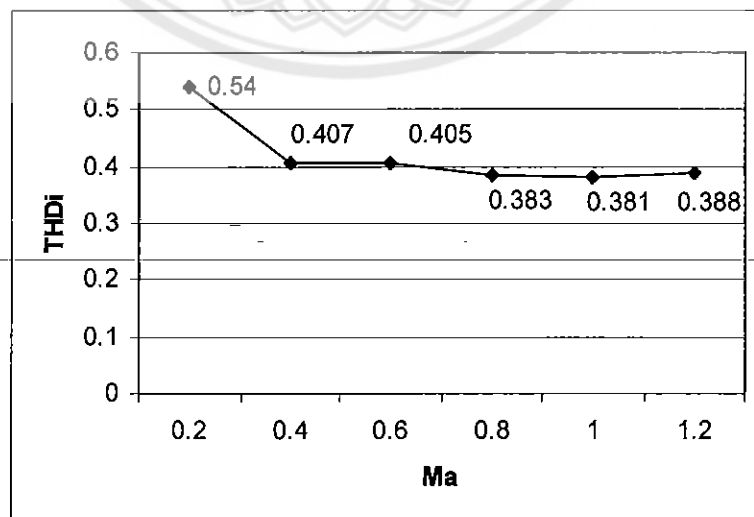
รูปที่ 4.56 แสดงการเปรียบเทียบค่า DF_1 ที่ค่า m_a ตั้งแต่ 0.2 – 1.2

รูปที่ 4.57 แสดงค่ากระแสไฟฟ้าเอาต์พุทที่ค่า m_a ตั้งแต่ 0.2 – 1.2 จะเห็นว่าผลที่ได้มีค่ามากขึ้นตามลำดับซึ่งเป็นไปตามทฤษฎี



รูปที่ 4.57 แสดงการเปรียบเทียบค่า I_{1rms} ที่ค่า m_a ตั้งแต่ 0.2 – 1.2

รูปที่ 4.58 แสดงความสัมพันธ์ของค่า THD_i และค่า m_a จากผลการทดลองค่า THD_i จะมีค่าลดลงอย่างต่อเนื่องและมีค่าต่ำที่สุดเมื่อค่า m_a มีค่าเท่ากับ 1.0 จากเมื่อค่า m_a มีค่ามากกว่า 1.0 นั้นค่า THD_i จะเพิ่มขึ้นซึ่งผลที่ได้เป็นไปตามทฤษฎี



รูปที่ 4.58 แสดงการเปรียบเทียบค่า THD_i ที่ค่า m_a ตั้งแต่ 0.2 – 1.2

บทที่ 5

สรุปและวิจารณ์ผลการทดลอง

ผลที่ได้จากการวิเคราะห์และการทดลองในโครงการเรื่องอินเวอร์เตอร์ 1 เฟสนี้ ได้มีการวิเคราะห์รูปคลื่นสัญญาณด้วยโปรแกรม Mat lab และ PSIM เมื่อยเทียบกับรูปคลื่นสัญญาณที่ได้จากการทดลองจริง ซึ่งสามารถสรุปได้ดังนี้ คือ

5.1 สรุปผลการทดลอง

- สามารถออกแบบและสร้างวงจรอินเวอร์เตอร์ 1 เฟส ขนาดแรงดัน 24 โวลต์ ที่สามารถปรับความถี่และแรงดันเอาท์พุตได้ จากชุดควบคุม PWM และสามารถนำอินเวอร์เตอร์ไปจ่ายโหลดไฟฟ้ากระแสสลับได้
- ผลการวิเคราะห์หาค่าดัชนีบ่งชี้คุณภาพทางไฟฟ้า พบว่าเมื่อค่ามอตคูเลชันอินเด็กซ์เพิ่มขึ้น ค่า THD_V , THD_i , และ DF จะมีค่าลดลง ซึ่งผลจากการทดลองเป็นไปตามทฤษฎี
- จากการวิเคราะห์โดยใช้ฟ้าต์ฟูเรียร์ทرانฟอร์ม พบว่ามีฮาร์монิกส์เกิดขึ้นในลำดับสูง ซึ่งแสดงให้เห็นถึงประสิทธิภาพที่ดีของสัญญาณเอาท์พุต

5.2 ปัญหาที่เกิดขึ้นในระหว่างการทำโครงการ

- รูปคลื่นสัญญาณของวงจรควบคุมที่ใช้ในการสร้าง PWM มีความผิดเพี้ยนเกิดขึ้นเนื่องจากกรณี อิเล็กทรอนิกส์มีค่าคาดคะเนต่ำ เช่น ตัวต้านทาน, แหล่งจ่ายไฟ เป็นต้น จึงทำให้ผลการทดลองมีความคลาดเคลื่อนเกิดขึ้น
- วงจรที่ใช้ในการขับเกตไม่สามารถขับนำเกตได้ เมื่อจากแรงดันมีค่าไม่สูงพอ จึงควรศึกษาและเลือกใช้วงจรขับที่สามารถทำงานที่แรงดันสวิตช์ชั่งสูงๆ ได้

5.3 แนวทางในการพัฒนาโครงการต่อไป

- การทดลองในโครงการนี้สามารถขับแรงดันเอาท์พุตได้ 24 โวลต์ ดังนั้นหากจะนำไปใช้งาน กับโหลดที่แรงดันสูงขึ้น จะต้องนำแรงดันเอาท์พุตไปผ่านหม้อแปลงแบบ Step - up เพื่อให้ได้ แรงดันไฟฟ้ากระแสสลับ 220 โวลต์ จึงสามารถใช้กับโหลดที่แรงดันสูงขึ้นได้
- การทดลองในโครงการนี้ ได้ทำการออกแบบวงจรอินเวอร์เตอร์ที่มีขนาดใหญ่เกินไป จึงไม่ 适合กับที่จะนำไปใช้งานจริง ดังนั้นหากต้องการนำไปใช้งานจริง จะต้องทำการออกแบบวงจรให้มี ขนาดเล็กลง เพื่อความสะดวกในการนำไปใช้งาน

เอกสารอ้างอิง

-
- [1] Ned M., Undeland T.M. and Robbins W.P. **Power Electronics Converters, Applications, and Design.** 2nd Ed. New York : John Wiley & Sons. 1995.
 - [2] มงคล ทองส่งราม. **อิเล็กทรอนิกส์กำลัง.** กรุงเทพมหานคร : รามาการพิมพ์. 2541.
 - [3] วีระเดชย์ ขันเงิน. วุฒิพล ขาวารีศรีย์. **อิเล็กทรอนิกส์กำลัง.** กรุงเทพมหานคร : ห้างหุ้นส่วนจำกัด วี.จ. พรีนติ้ง. 2547.
 - [4] Narong A., Sanjiva R.B. and Kittiphan T.. **“Implementation of a Single-phase Unipolar Inverter Using DSP TMS320F241.”** AU Journal of Technology. 4, 8, April 2005. pp. 191-195.



ประวัติผู้จัดทำโครงการ

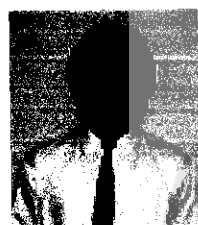


ชื่อ นายกานยพันธุ์ อินทะสุรัช
ภูมิลำเนา 399/4 หมู่ 16 ถ. พุทธชาติ ต.ชุมแพ อ.ชุมแพ จ.ขอนแก่น

ประวัติการศึกษา

- จบระดับมัธยมศึกษาจากโรงเรียนชุมแพศึกษา
- ปัจจุบันกำลังศึกษาในระดับปริญญาตรีชั้นปีที่ 4
สาขาวิชาวิศวกรรมไฟฟ้า คณะวิศวกรรมศาสตร์
มหาวิทยาลัยนเรศวร

E-mail : hoylet@hotmail.com



ชื่อ นายชนพล สนธิวัฒน์ตระกูล
ภูมิลำเนา 120 หมู่ 1 ต.หนองบัว อ.ภูรี จ.เลย

ประวัติการศึกษา

- จบระดับมัธยมศึกษาจากโรงเรียนสารรักษ์อนันต์วิทยา
- ปัจจุบันกำลังศึกษาในระดับปริญญาตรีชั้นปีที่ 4
สาขาวิชาวิศวกรรมไฟฟ้า คณะวิศวกรรมศาสตร์
มหาวิทยาลัยนเรศวร

E-mail : NoName_GearX@hotmail.com



ชื่อ นายมนู เกคุกรุษ
ภูมิลำเนา 35 หมู่ 5 ต.ท่าเส้า อ.เมือง จ.อุตรดิตถ์

ประวัติการศึกษา

- จบระดับมัธยมศึกษาจากโรงเรียนอุตรดิตถ์
- ปัจจุบันกำลังศึกษาในระดับปริญญาตรีชั้นปีที่ 4
สาขาวิชาวิศวกรรมไฟฟ้า คณะวิศวกรรมศาสตร์
มหาวิทยาลัยนเรศวร

E-mail : ppit496@hotmail.com